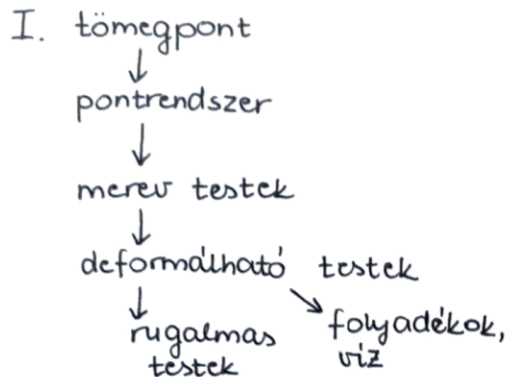


KÍSÉRLETI FIZIKA 1.

Félév menete:



II. rezgések hullámok

Kinematika : mozgás leírása

Dinamika: mozgás oka, Newton-törvények, erők

Megmaradási törvények

TÖMEGPONT KINEMATIKA'3A

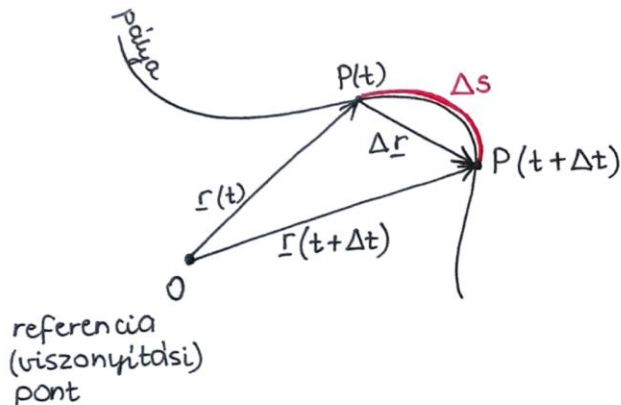
~ A pontszerű test mikor, hol található?

Tömegpont: kiterjedése sokkal kisebb, mint a mozgásának pályája, ill. a mozgásra jellemző távolságok.

A kérdésre adott válasz: $\underline{r}(t)$ függvény: test helyzetét adja meg az idő függvényében tetszőleges vonatkozatához tartozó ponthoz viszonyítva

vektor
 skalár,
 független változó

Az $\underline{r}(t)$ vektor helyvektor: O vonatkoztatási pontból a test helyéhez mutat



SEBESSEG

átlagsabesség definíciója: $\underline{v}_{\text{átl}} = \frac{\Delta \underline{r}}{\Delta t} = \frac{\underline{r}(t+\Delta t) - \underline{r}(t)}{\Delta t}$ differenciálhányados

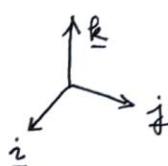
páratnyi sebesség: Δt csökkenésével határozták meg a sebességet definíljuk:

$$\underline{v}(t) = \lim_{\Delta t \rightarrow 0} \frac{\Delta \underline{r}}{\Delta t} = \lim_{\Delta t \rightarrow 0} \frac{\underline{r}(t+\Delta t) - \underline{r}(t)}{\Delta t} = \lim_{\Delta t \rightarrow 0} \underline{v}_{\text{átl}}$$

$$\underline{v}(t) = \lim_{\Delta t \rightarrow 0} \frac{\Delta \underline{r}}{\Delta t} = \frac{d \underline{r}}{dt} \quad \text{differenciálhányados}$$

\Rightarrow Az $\underline{r}(t)$ függvényhez $\underline{v}(t)$ függvény rendelhető, mely megadja $\underline{r}(t)$ sebességét.

Descartes-féle koordinata-rendszerben:



$$\underline{r}(t) = x(t) \underline{i} + y(t) \underline{j} + z(t) \underline{k}$$

$x(t), y(t), z(t)$ skalár függvények

$$\underline{v}(t) = \frac{d \underline{r}}{dt} = \frac{dx}{dt} \underline{i} + \frac{dy}{dt} \underline{j} + \frac{dz}{dt} \underline{k} = v_x \underline{i} + v_y \underline{j} + v_z \underline{k}$$

$\frac{dx(t)}{dt}, \frac{dy(t)}{dt}, \frac{dz(t)}{dt}$ skalár fu-ek deriváltja

$$v_x(t) = \frac{dx(t)}{dt}, \dots \text{ sebességek komponensek}$$

$$\text{Sebesség nagysága: } v = |\underline{v}| = \sqrt{v_x^2 + v_y^2 + v_z^2}$$

Sebességvektor irányába:

A'ltalánosan igaz: $|\Delta \underline{r}| \leq \Delta s$. Ha $\Delta t \rightarrow 0$: $|\Delta \underline{r}| \rightarrow \Delta s$, azaz $|d \underline{r}| = ds$.

Ekkor $d \underline{r} = ds \cdot \underline{u}_T$, ahol \underline{u}_T : tangenciális (érintőirányú) egységvektor.

$$\underline{v} = \frac{d \underline{r}}{dt} = \frac{ds}{dt} \cdot \frac{d \underline{r}}{ds} = \underline{v}(t) \cdot \underline{u}_T, \text{ azaz } \underline{v}(t) \text{ érintőirányú.}$$

$\frac{ds}{dt}$ - elérőlítés

skalar seb.

(pálya érintőjének irányába mutat)

GYORSULÁS - sebességektor $\underline{v}(t)$ változósi sebessége

$$\underline{a}(t) = \frac{d\underline{v}}{dt} = \frac{d^2\underline{r}}{dt^2} = \frac{d^2x}{dt^2} \hat{i} + \frac{d^2y}{dt^2} \hat{j} + \frac{d^2z}{dt^2} \hat{k} = a_x(t) \hat{i} + a_y(t) \hat{j} + a_z(t) \hat{k}$$

helyvektor idő szerinti második deriváltja

$$\text{gyorsulásvektor komponensei: } a_x(t) = \frac{d^2x(t)}{dt^2}, \dots$$

$$\text{nagysága: } a = |\underline{a}| = \sqrt{a_x^2 + a_y^2 + a_z^2}$$

gyorsulásvektor irányára:

$$\text{korábban volt: } \underline{v}(t) = \underline{v}(t) \cdot \underline{u}_T(t)$$

($\underline{u}_T(t)$: érintőirányú egységektor - függhet az időtől!)

Ezzel a gyorsulás:

$$\underline{a}(t) = \frac{d\underline{v}(t)}{dt} = \frac{d(\underline{v}(t) \cdot \underline{u}_T(t))}{dt} = \underbrace{\frac{d\underline{v}(t)}{dt} \cdot \underline{u}_T(t)}_{\text{szorzat deriválása}} + \underline{v}(t) \cdot \underbrace{\frac{d\underline{u}_T(t)}{dt}}_{(1)(2)}$$

① pálya érintőjének irányába ($\underline{u}_T(t)$) mutat

nagysága: sebesség nagyságának időderiváltja

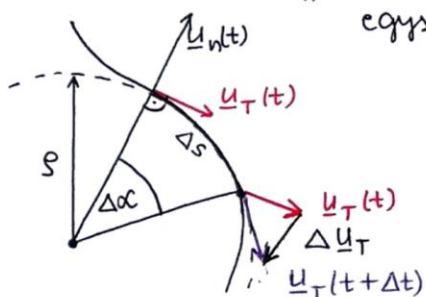
② Ha a pálya nem egyenes, akkor \underline{u}_T iránya változik az idő függvényében $\Rightarrow \underline{u}_T(t)$ időderiváltja nem nulla

Számoljuk ki $\frac{d\underline{u}_T(t)}{dt}$ -t!

\underline{u}_T kicsi megváltozása: $\Delta \underline{u}_T \approx -\Delta \alpha \underline{u}_n$

$\Delta \alpha$: \underline{u}_T elfordulása Δt alatt

\underline{u}_n : pálya simulációjában lévő, pályaerintőre merőleges egységektor



Δt alatt megtett út: $\Delta s \approx r \cdot \Delta \alpha \rightarrow \Delta \alpha = \frac{\Delta s}{r}$

r : pikkantnyi simuláció sugara

$$\Rightarrow \Delta \underline{u}_T \approx -\Delta \alpha \underline{u}_n \approx -\frac{\Delta s}{r} \underline{u}_n$$

$$\text{Ezzel } \frac{d\underline{u}_T(t)}{dt} = \lim_{\Delta t \rightarrow 0} \frac{\Delta \underline{u}_T}{\Delta t} = - \lim_{\Delta t \rightarrow 0} \frac{\Delta s}{\Delta t} \frac{1}{r} \underline{u}_n = -\frac{v}{r} \underline{u}_n$$

Ezt visszahelyettesítve (1)-be:

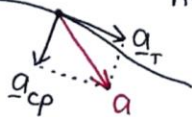
$$\underline{a}(t) = \frac{d\underline{v}}{dt} \underline{u}_T - \frac{v^2}{r} \underline{u}_n = a_T \underline{u}_T + a_n \underline{u}_n$$

tangenciális komponens: $a_T = \frac{dv}{dt}$ (pálya érintő irányú)

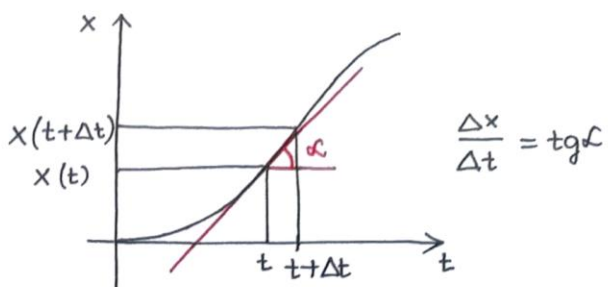
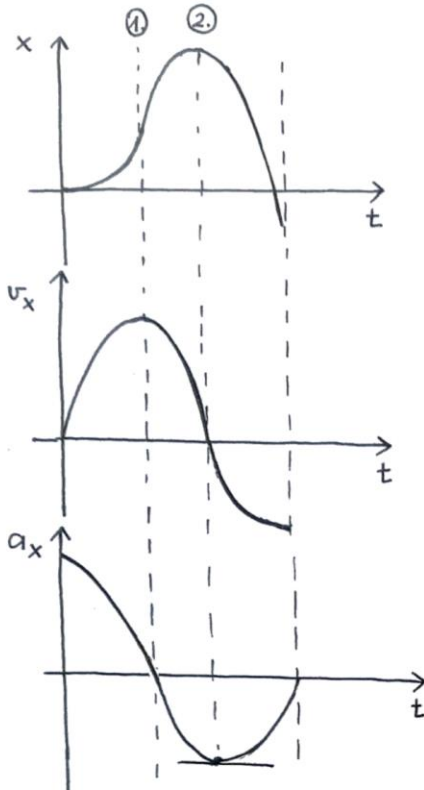
normális komponens: $a_n = -\frac{v^2}{r}$

(pályára merőleges komponens)

($a_n = a_{cp}$ centripetális gyorsulás)

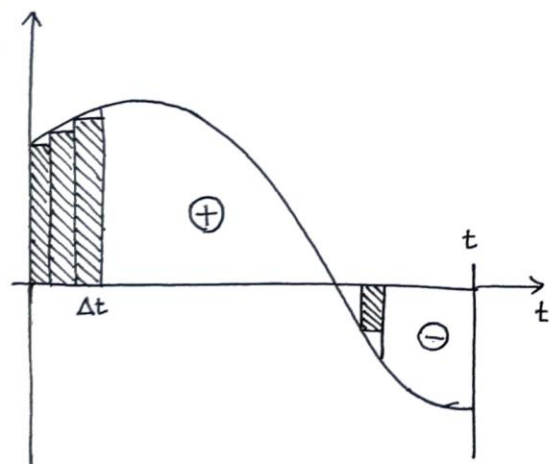


Függvény, deriváltfüggvény kapcsolata



- ① $x(t)$ inflexiós pontja $\rightarrow v_x(t)$ maximuma
 $\rightarrow a_x(t)$ ott vált előjelet
- ② $x(t)$ maximuma $\rightarrow v_x(t)$ előjelet vált
 $\rightarrow a_x(t)$ minimuma: v_x itt a legmeredekebb

INTEGRÁLSZA'MITÁS



$$\text{Közelítően: } x(t) \approx \sum_0^t v_x(\tau) \cdot \Delta t$$

Finomítás: $\Delta t \rightarrow 0$ egyre kisebbre veszem: $\Delta t \rightarrow 0$

$$x(t) = \lim_{\Delta t \rightarrow 0} \sum_0^t v(\tau) \cdot \Delta t = \int_0^t v(\tau) d\tau$$

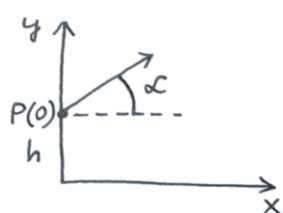
határozott integrál

$$I = \int_a^b f(x) dx = \lim_{\Delta x \rightarrow 0} \sum_a^b f(x) \Delta x$$

$$I = F(b) - F(a), \text{ ahol } F(x) \text{ az } f(x) \text{ primitív függvénye: } F'(x) = f(x)$$

PÉLDA'K KÜLÖNBÖZŐ MOZGÁSOKRA - KINEMATIKAI LEÍRÁS

FERDE HAJÍTÁS



$$P(0) = (0; h)$$

$$v(0) = v_0$$

$$\underline{a} = -g \hat{j}$$

$$x(0) = 0, y(0) = h$$

$$v_x(0) = v_0 \cdot \cos \alpha_0, \quad v_y(0) = v_0 \cdot \sin \alpha_0$$

$$a_x(t) = 0$$

$$a_y(t) = -g$$

$$v_x(t) = v_x(0) + \int_0^t 0 \cdot dt = v_0 \cdot \cos \alpha_0$$

\uparrow
 $a_x(t) = 0$

$$v_y(t) = v_y(0) + \int_0^t -g dt = v_0 \cdot \sin \alpha_0 - g \cdot t$$

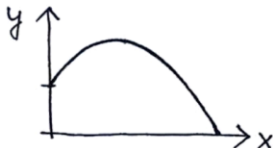
$$x(t) = x(0) + \int_0^t v_x dt = v_0 \cos \alpha_0 \cdot t \quad (2)$$

$$y(t) = y(0) + \int_0^t v_y dt = h + \int_0^t -gt dt + \int_0^t v_0 \sin \alpha_0 dt = -g \frac{1}{2} t^2 + v_0 \sin \alpha_0 t + h$$

pályaequáns: $y(t)$ -be behelyettesítjük a t-re kifejezett (2) egyenletet

$$y(x) = -\frac{g}{2} \frac{x^2}{v_0^2 \cos^2 \alpha_0} + x \cdot t_0 \tan \alpha_0 + h \quad \text{lefelé nyitott parabola}$$

\uparrow
 $t = \frac{x}{v_0 \cos \alpha_0}$



Hikor lesz a legmagasabb ponton? Ha $v_y(t_f) = 0 \rightarrow t_f$ tétőpont kifejezheto'

$$v_0 \sin \alpha_0 - gt_f = 0 \rightarrow t_f = \frac{v_0 \sin \alpha_0}{g}$$

Milyen magassra emelkedik?

$$y_{max} = y(t_f) = h + \frac{v_0^2 \sin^2 \alpha_0}{2g}$$

Hikor ér földet? $y(t) = 0$

$$h + v_0 \sin \alpha_0 t_f - \frac{g}{2} t_f^2 = 0 \rightarrow t_f = \frac{v_0 \sin \alpha_0 + \sqrt{v_0^2 \sin^2 \alpha_0 + 2gh}}{g}$$

Hol ér földet? $x_f = x(t_f) = \frac{2v_0^2 \sin \alpha_0 \cos \alpha_0}{g}$

↳ Ez rögz. v esetén $\alpha = 45^\circ$ esetén maximális.

KÖRMOZGÁS

- pálya: kör

φ : előjel nélküli forgószög, [radian]

mozgás leírása: $\varphi(t)$ függvényel

$$\Delta(t) = \varphi(t) \cdot r$$

Szögsebesség: $\omega(t) = \frac{d\varphi}{dt}$ időegység alatt mennyit fordul el

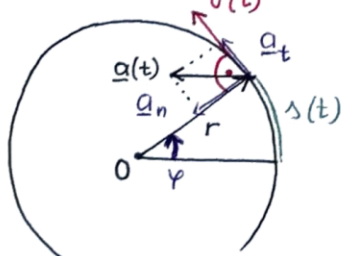
$$v(t) = \frac{ds}{dt} = \frac{d\varphi}{dt} \cdot r = \omega(t) \cdot r \quad \text{mindig előirányú!}$$

$$\text{Szöggysorulás: } \beta(t) = \frac{d\omega}{dt}$$

Gyorsulás: Tangenciális gyors.: $a_t(t) = \frac{dv}{dt} = \frac{d\omega}{dt} \cdot r = \beta(t) \cdot r$

$$\text{Centripetalis gyors. : } a_n(t) = \frac{v^2}{r} = \omega^2 \cdot r = v \cdot \omega$$

$$\hookrightarrow \text{eredő: } a = \sqrt{\beta^2 r^2 + \omega^4 r^2}$$



A DINAMIKA ALAPELÉS

dinamika: test mozgása és a testet érő hatások kapcsolata vizsgálja
 ÓKOR: erő kell a test mozgásához, alaphelyzet: nyugalom

KÍSÉRLET: leghamarabban sűrűbbben

\rightarrow sűrűddal nincs mozgás

- MA:
- egy test megtartja mozgásállapotát, egyenes vonalú egyenletes mozgását
 - a nyugalom minden valamihez viszonyítva létezik
 - erő kell a mozgásállapot megváltoztatásához

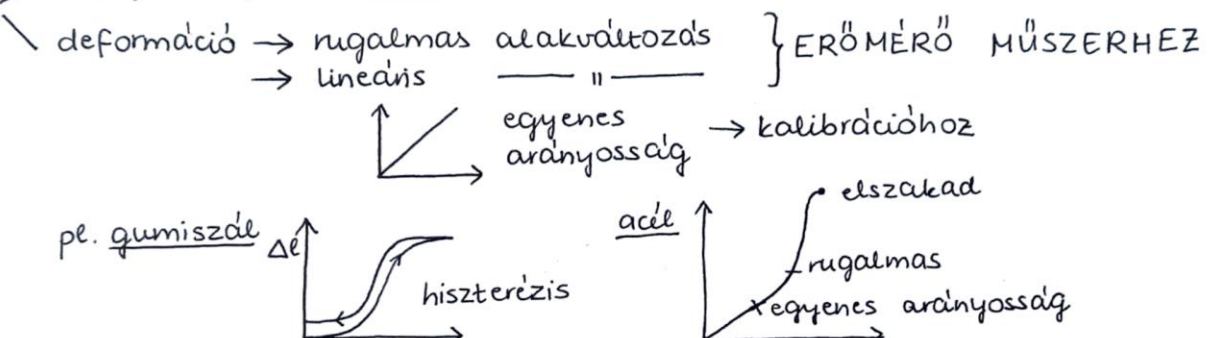
ERŐ

A testek közötti kölcsönhatásokat írja le

Vektorialis mennyiségek (nagysága, irányára is van)

Hogyan mérjük a kerekezetet új mennyiséget?

erő → mozgásállapot - változás



NEWTON - TÖRVÉNYEK

Tapasztalat: $a \sim F$ vektorok \Rightarrow irányuk is megegyezik

\hookrightarrow hánnyadosuk: $\frac{F}{a}$ egységnyi a gyorsuláshoz mekkora F erőre van szükség! teste jellemző mennyiségek!

$$\frac{F}{a} = m \quad \text{tehetetlen tömeg}$$

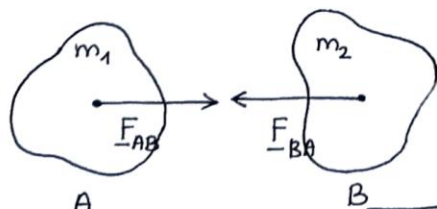
Newton II törvénye:

$$F = m \cdot a$$

↑
test tulajdonsága

mozgásállapot - változásra jellemző

Az erő párok kölcsönhatás:



Newton III törvénye (hatás - ellenhatás):

$$F_{AB} = -F_{BA}$$

$$F_{AB} = m_1 a_1$$

$$F_{BA} = m_2 a_2$$

Hegyj.:
 kiürve: kétny szererő
 \downarrow
 nem valódi erő,
 segédfogalom
 (gyorsuló koord. r.)
 "nincs párja"

Ha a két test csak egymásra hat:

$$m_1 \underline{a}_1 = \underline{F}_{AB} = -\underline{F}_{BA} = -m_2 \underline{a}_2$$

$$m_1 \underline{a}_1 + m_2 \underline{a}_2 = 0$$

$$m_1 \frac{d \underline{v}_1}{dt} + m_2 \frac{d \underline{v}_2}{dt} = 0$$

$$\frac{d(m_1 \underline{v}_1)}{dt} + \frac{d(m_2 \underline{v}_2)}{dt} = 0 \quad \text{ha } m \text{ nem változik!} \rightarrow \text{relativisztikus sebesség}$$

$$\frac{d(m_1 \underline{v}_1 + m_2 \underline{v}_2)}{dt} = 0 \quad \text{Ha valaminek idő szerinti deriváltja } 0, \text{ akkor az időben állandó}$$

$$\Rightarrow m_1 \underline{v}_1 + m_2 \underline{v}_2 = \text{állandó} \quad (\Rightarrow \text{ezt az erőhatás nem változtatja meg})$$

Def IMPULZUS: $\underline{p} = m \underline{v}$ jele: \underline{p} (\vec{p}) (rendszer, mozgás mennyisége) vektorialis mennyisége

$\underline{p}_1 + \underline{p}_2 = \text{áll.}$ impulzusmegmaradás törvénye 2 testre

\hookrightarrow feltétel: ha a két test csak egymásra hat

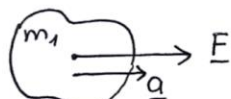
Newton II alternatív felírás: $\underline{F} = m \underline{a} = m \cdot \frac{d \underline{v}}{dt} = \frac{d(m \underline{v})}{dt} = \frac{d \underline{p}}{dt}$

\hookrightarrow Newton ezt jegyezte le

\hookrightarrow eszenint: a testre ható erő = test impulzus változási sebessége

\hookrightarrow spec. relativitáselméletben is igaz szemben az $\underline{F} = m \underline{a}$ - val

Eddig egy erő:



Ha egy testre több erő is hat:

$$\begin{aligned} & \text{Object } m_1 \text{ with forces } F_1 \text{ and } F_2 \\ & \text{Object } m_2 \text{ with force } F_2 \\ & \quad \left. \begin{aligned} \underline{a}_1 &= \frac{\underline{F}_1}{m} \\ \underline{a}_2 &= \frac{\underline{F}_2}{m} \end{aligned} \right\} \quad \underline{a} = \underline{a}_1 + \underline{a}_2 + \dots = \sum_{i=1}^n \underline{a}_i = \sum_{i=1}^n \frac{\underline{F}_i}{m} = \frac{1}{m} \left(\sum_{i=1}^n \underline{F}_i \right) \end{aligned}$$

Newton IV törvénye: erőhatások függetlenségenek elve

Szuperpozíció elve (lineáris rendszerek esetén)

$$\underline{F}_e \quad \text{eredő erő}$$

INERCIARENDSZER, NEWTON I:

Newton I törvénye: $\sum \underline{F} = 0 \Leftrightarrow \underline{v} = \text{állandó}$

$\hookrightarrow \underline{v} = 0$ áll a test

$\hookrightarrow \underline{v} \neq 0$ egyenes vonalú egyenletes mozgás

Azaz: ha a testre ható erők eredője nulla, akkor a test nyugalomban marad vagy egyenes vonalú egyenletes mozgást végez.

Azok a rendszerek, melyben ez a törvény teljesül, speciális rendszerek: ezek az inerciarendszerek.

\Rightarrow Newton I \equiv inerciarendszer definíciója

Ha egy rendszer inerciar., akkor érvényes a többi Newton törvény is.

Ha nem inerciar., akkor nem minden N-törvény érvényes \Rightarrow új segédfogalmak

biztosítására van szükség

Eddig láttuk: $\sum F \sim a$
 $\sum F \sim m_t$
 $\sum F \sim m_t \cdot a$

} tapasztalat alapján

$F \sim a$

$\sum F = k_t m_t \cdot a$ $\rightarrow m_t: a$ tehetsélen tömeg, a test tehetsélese
 ↑
 mértékegységektől függő konstans

GRAVITÁCIÓS KÖLCSÖNHATA'S

Elbízmények

Ptolemaiosi tábl.

- Földközpontú világkép

↓ - bonyolult leírás \rightarrow hajduszhoz fontos volt

Kopernikusz

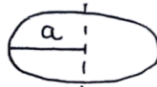
- Napközéppontú világkép

- körpálya \rightarrow pontatlan

Kepler

- ellipszis pálya

- I., II., III. törvények



$$\hookrightarrow \frac{a^3}{T^2} = \text{állandó} \quad (T: \text{keringési idő})$$

Tárcsó felfedezése

Galilei \downarrow - 4 Jupiterhold felfedezése

Newton - $F \sim \frac{1}{r^2}$ kísérleti tapasztalat alapján

Altalános tömegszabály

$$F \sim \frac{1}{r^2}, F \sim m_{1s}, F \sim m_{2s}$$

$\rightarrow m_s: a$ test gravitáció képessége,
 a test sűrűsége, súlyos tömeg

$$F_g = k_s \cdot \frac{m_{1s} m_{2s}}{r^2}$$

$$F_g = -k_s \frac{m_{1s} m_{2s}}{r^2} \frac{r}{r}$$

Newton gravitációs törvénye

\hookrightarrow az ebből mindenkor vonzó

SÚLYOS ÉS TEHETETLEN TÖMEG

Newton II: $F = k_1 m_t \cdot a$

Grau. tv.: $F = k_2 \frac{m_{1s} m_{2s}}{r^2}$

k_1, k_2 : mértékegységektől függő konstans

Tapasztalat: $m_t \sim m_s$

\downarrow Szabadesés: csak a Föld gravitációs ereje hat a testre, és tapasztalati tény, hogy adott helyen minden test ugyanakkora g -vel gyorsul

$$\text{Felírva: } k_1 m_t a = F = k_2 m_s \frac{m_{Fs}}{R_F^2}$$

$$a = \frac{m_s}{m_t} \frac{k_2 m_{Fs}}{k_1 \cdot R_F^2} = g$$

↑
tap.

Mivel \otimes állandó $\Rightarrow \frac{m_s}{m_t}$ is állandó $\Rightarrow m_t \sim m_s$

A kettő arányosságát pontosan igazolja az Eötös-inga.

MÉRTEKEGYSEG RENDSZER

2019-ben elfogadott új SI rendszer alapja:

A mértekegyiségeket uniwerszális állandókra vezeti vissza

↓
Ezek: c - fénysebesség
k_B - Boltzmann - állandó
e - elemi töltés
N_A - Avogadro - szám
h - Planck - állandó

$$\Delta\nu_{133\text{Cs}} = 9192631770 \frac{1}{\text{s}}$$

$$K_{cd} = 683 \text{ s}^3 \text{m}^{-2} \text{kg}^{-1} \text{cd} \cdot \text{sr}$$

- hagyományos mértekegyiség: természeti jelenségek alapján pl. nap
 ↳ nap hossza kicsit változik → a 24 óra az átlagos nap (két délelőtt
 délelőt ± 15 percet közötti idők átlaga)
 ingadozik

• másodperc definíciója:

$\Delta\nu \equiv$ alapárapotú Cs 133 izotóp hyperfinom átmenetének $\frac{1}{9192631770}$ része
 $\Delta\nu_{\text{Cs}} = 9192631770 \text{ Hz} \rightarrow$ atomórákkal mérhető

TA'VOLSA'G:

- régen: Földhöz (annak paramétereihez) kötött etalon
- ma: fénysebesség $c = 299792458 \frac{\text{m}}{\text{s}}$ rögzítésével a másodperc
 definíciójával adható meg a méter.

TÖMEG:

- régi SI: $1 \text{ kg} \equiv \text{Pt-Ir etalon tömege (Pdrizs)}$ (ez egyenlő $1 \text{ dm}^3 4^\circ\text{C}$ viz tömegével)
- új SI: Planck - állandó rögzítésével $h = 6,62507015 \cdot 10^{-34} \frac{\text{J}}{\text{s}}$

További mértekegyiségek az alábbi állandók rögzítésével:

e elemi töltés $e = 1,60217 \cdot 10^{-19} \text{ C}$ → A (amper)

k_B Boltzmann - állandó → K (kelvin)

N_A Avogadro - szám → mol

K_{cd} → cd

$$\sum F = m \ddot{a}$$

$\hookrightarrow k_t \stackrel{!}{=} 1$ definíció

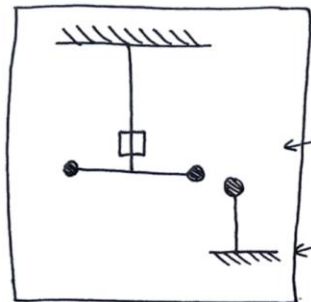
$m_t = m_s$ így választjuk meg: $\frac{m_s}{m_t} = 1$ - nek választjuk az arányossági tényezőt

\Rightarrow Ekkor a k_s állandó mérni kell!

$$F_g = -\gamma \frac{m_1 m_2}{r^2} \cdot \frac{r}{r} \quad r-t \text{ mérni kell}$$

↓
Cavendish

Cavendish



elcsavarható platinaszálon Pb golyók, tükör

ismert táv van a két gömb között

lezárt helyen

A két gömb elkezdi egymást vonzani \rightarrow elcsavarodik a szál
A tükör miatt a fénysugár elmozdul, elmozdulás mérhető

$$\gamma \approx 6,67 \cdot 10^{-11} \frac{\text{Nm}^2}{\text{kg}^2}$$

Föld tömegének kiszámítása:

$$F_g = m \cdot g$$

$$F_g = \gamma \cdot \frac{M_F}{R_F^2} \cdot m$$

$\approx g$

meg-mértük

Föld sugarát megmértük

M_F kiszámítható (- nem direkt mérés)

KÖLCSÖNHATA'SOK ÁTTEKINTÉSE

Nehézségi erő: szabad erő (= irány, nagysága más erőktől nem függ)

- Föld gravitációs vonzásától a Föld forgása miatt kissé elter
- nagysága: mg
- irány: függőlegesen lefelé
- térfogati erő: térfogat minden pontjára hat

Nyomóerő: kényszererő \rightarrow kényszer: két test nem hatolhat egymásba, nem léphetik át a felületet

- irány: merőleges a felületre
- nagysága: testre ható egyéb erők határozzák meg a kényszer-feltetelnek megfelelően (\Rightarrow kényszererő)
- csak nyomni tud
- felületi erő: teljes érintkerű felületen elosztva hat

Kötél erő: kényszererő \rightarrow Kényszerfeltétel: a kötel nyíjthatatlan

- irány: párhuzamos a kötelkel
- csak húzni tud

Súrlódás

- súr. erő irány: felülettel párhuzamos
- OKA: felületek közti adhézió; felületek egyenetlensége
- kétfélé súr. erő:
 1. nyugalmi / tapaddasi súr. erő: kényszererő
 - irány, nagysága pont akkora, hogy a két test egymáshoz képesti nyugalmat lehetőleg fenntartsa
 - $0 \leq F_s \leq \mu_0 \cdot F_N$ F_s : súr. erő, F_N : felületek közti nyomberő
 - μ_0 : tapaddasi súrlódási együttható

2. Mozgási / csúszási súr. erő: szabaderő

- két test egymáshoz képest mozog
- irány: olyan, hogy a két test egymáshoz képesti mozgását akadályozza
- nagysága: $F_s = \mu F_N$ μ : csúszási súrlódási együttható
- általában $\mu \leq \mu_0$

Közegellenállási erő

- mozgást akadályozza
- kis sebességeknél: OKA: közeg viszkozitása (első súrlódás)
 - Ekkor: $F \sim v$
- nagy — " — : OKA: turbulencia (áramlással övezetek)
 - Ekkor: $F \sim v^2$
- minden esetben irány: közeghez viszonyított sebességgel ellentétes

Rugberő

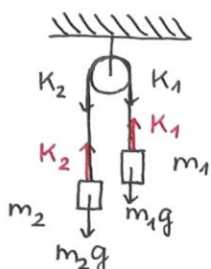
- deformációval ellentétes irányú
- $F_r = -Dx$ F_r : rugberő
- D : rugdállandó $[D] = N/m$
- x : rugd deformációja

gyorsuló rendszerekben további erők lépnek fel

FELADATMEGOLDÁS

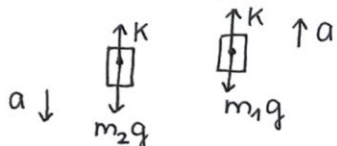
Menete: erők felvételle $\rightarrow \sum F \rightarrow \underline{a} \rightarrow \underline{v}(t) \rightarrow \underline{r}(t)$

① Két test csügan átvetett kötélen



- könnyű, súrlódásmentes csiga $\Rightarrow K_1 = K_2 = K$
- könnyű, nyújthatatlan kötel $\Rightarrow m_L = 0$
- $\Rightarrow |\Delta x_1| = |\Delta x_2|$
- \downarrow
- $|v_1| = |v_2|$
- $|a_1| = |a_2| = a$

két test külön:



Newton törvény a két testre:

$$\begin{aligned} m_2 g - K &= m_2 a \\ K - m_1 g &= m_1 a \\ (m_2 - m_1)g &= (m_2 + m_1)a \\ a &= \frac{m_2 - m_1}{m_2 + m_1} \cdot g \quad /K \text{ hasonlidan kapható}/ \end{aligned}$$

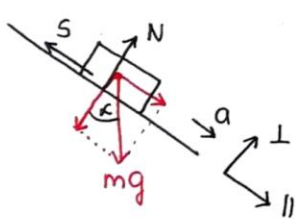
② Lejtő súrlódással



$$K.F.: N(0) = 0$$

Tf. a test elindul.

két dimenziós probléma!



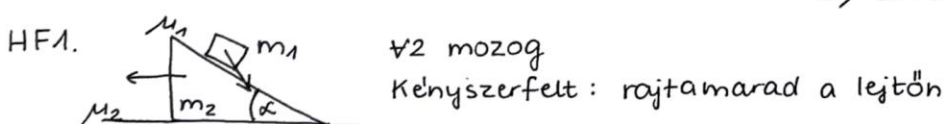
$$\begin{aligned} \sum F &= m \underline{a} \\ \sum F_{\parallel} &= m \cdot a_{\parallel} = m \cdot a \\ \sum F_{\perp} &= m \cdot a_{\perp} = 0 \end{aligned}$$

$$\begin{aligned} -S + mg \sin \alpha &= m \cdot a \\ -mg \cos \alpha + N &= 0 \rightarrow N \\ S = \mu \cdot N &\leftarrow \text{mozg. súrl. erő} \\ \hline \end{aligned}$$

$$a = g \cdot (\sin \alpha - \mu \cos \alpha)$$

nagysága ismert

$$\begin{aligned} \tan \alpha &\geq \mu \rightarrow a \geq 0 \\ \tan \alpha &< \mu \rightarrow a < 0 \text{ nem lehet!} \Rightarrow \text{rossz a felteve's:} \\ &\text{nem indul el} \\ &\Rightarrow a = 0 \rightarrow S \text{ kiszámolható} \end{aligned}$$



v2 mozog

Kényeszerfelt: rojtamarad a lejtőn

③ Esés közegellenállással

$$\begin{array}{c} \bullet m \\ F_k \uparrow \\ \vdots \\ \underline{v} \\ \downarrow x \\ mg \end{array} \quad \begin{array}{l} N(0)=0, x(0)=0 \\ F_k = -k \underline{v} \\ \hline \end{array}$$

$$m \underline{a} = m \underline{g} - k \underline{v}$$

$$\underline{a}(t) = g - \frac{k}{m} \underline{v}(t)$$

$$\frac{d\underline{v}(t)}{dt} = g - \frac{k}{m} \underline{v}(t) \quad \begin{array}{l} \text{differenciál. egyenlet} \\ \hookrightarrow \text{megoldása egy függvény} \end{array}$$

$$\frac{dv}{dt} = g - \frac{k}{m} v \quad \text{változók szeparálása}$$

$$\begin{aligned} \frac{1}{g - \frac{k}{m} v} dv &= dt \\ \int_{v(0)=0}^{v(t)=v} \frac{dv}{g - \frac{k}{m} v} &= \int_0^t dt \end{aligned}$$

$$\left[-\frac{m}{k} \ln \left(q - \frac{k}{m} v \right) \right]_0^v = t$$

$$t = -\frac{m}{k} \left(\ln \left(q - \frac{k}{m} v \right) - \ln \left(q - \frac{k}{m} \cdot 0 \right) \right)$$

$$t = -\frac{m}{k} \ln \left(1 - \frac{k}{mg} v \right)$$

$$-\frac{k}{m} t = \ln \left(1 - \frac{k}{m} v \right)$$

$$e^{-\frac{k}{m} t} = 1 - \frac{k}{mg} v$$

$$\frac{k}{mg} v = 1 - e^{-\frac{k}{m} t}$$

$$v(t) = \frac{mg}{k} \left(1 - e^{-\frac{k}{m} t} \right)$$

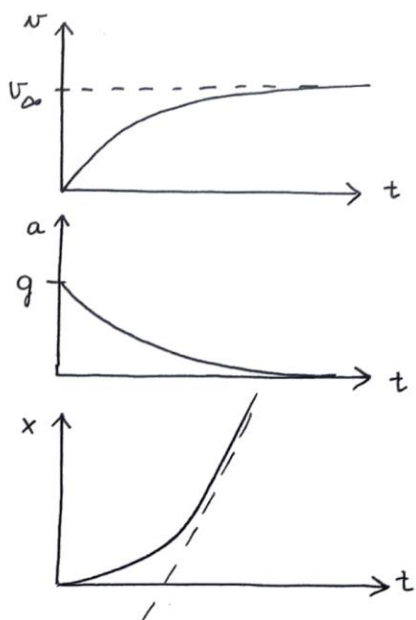
$$v(t) = v_{\infty} \left(1 - e^{-\frac{t}{\tau}} \right)$$

$$v_{\infty} = \frac{mg}{k}$$

$$\tau = \frac{m}{k}$$

$$a(t) = \frac{mg}{k} \cdot \frac{k}{m} e^{-\frac{t}{\tau}} = g \cdot e^{-\frac{t}{\tau}}$$

$$x(t) = \int_0^t v(t) dt = \frac{mg}{k} t + \frac{m^2 g}{k^2} e^{-\frac{t}{\tau}}$$

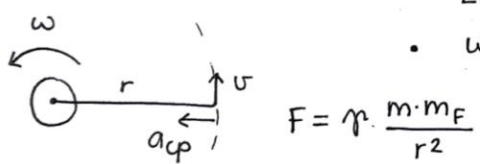


$$HF2. F_k = -k v^2 \quad \dots$$

④ Geostacionárius műhold : forgó földhöz képest áll, nyugalomban van

- Egyenlítő köríű körpálya
- $\omega_F = \omega_{\text{műhold}}$

$$\omega = \frac{2\pi}{T}$$



$$F = \gamma \cdot \frac{m \cdot m_F}{r^2}$$

$$m \cdot a_{cp} = \gamma \frac{m \cdot m_F}{r^2}$$

$$\gamma \cdot \omega^2 r = \gamma \frac{m \cdot m_F}{r^2}$$

$$r^3 = \gamma m_F \frac{1}{\omega^2}$$

$$r = \sqrt[3]{\gamma m_F \frac{1}{\omega^2}} = 4,2 \cdot 10^7 \text{ m} = 42 \text{ ezer km}$$

Mekkora a γm_F konstans?

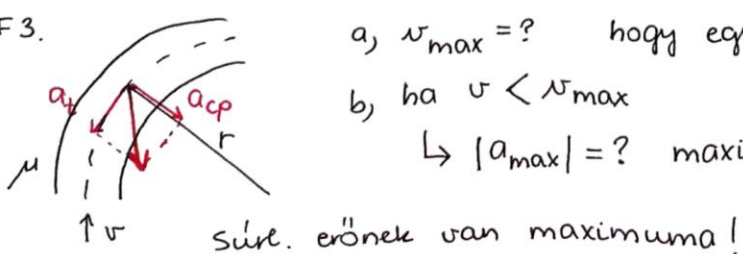
$$(1) R_F \quad \gamma g \approx \gamma \frac{m \cdot m_F}{R_F^2}$$

$$\gamma m_F = g \cdot R_F^2 = 10 \cdot \left(\frac{4 \cdot 10^7}{2\pi} \right)^2$$

$$R_F = \frac{4 \cdot 10^7}{2\pi} \text{ km}$$

$$T = 24 \cdot 3600 \text{ s} \rightarrow h = r - R_F \approx 36 \text{ ezer km}$$

HF3.



a) $v_{\max} = ?$ hogy egyenletes sebességgel végigérjen

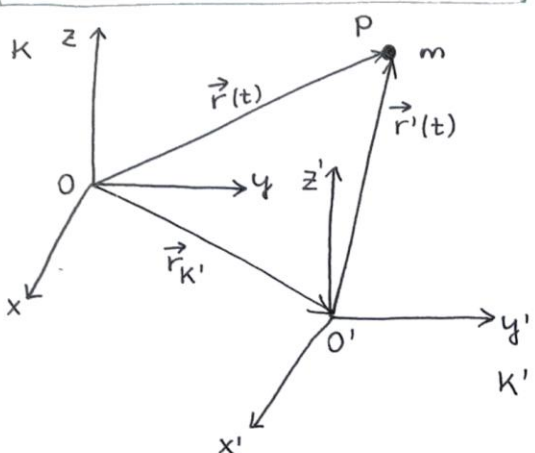
b) ha $v < v_{\max}$

$\hookrightarrow |a_{\max}| = ?$ maximális lassulás

Súr. erőnek van maximum!

MOZGA'SOK LE'I RA'SA KÜLÖNBÖZÖ VONATKOZTATÁ'SI
RENDSZEREKBEN

GALILEI-TRANSZFORMÁCIÓ



K: inerciarendszer \rightarrow Newton-tr-ek teljesülnek

K' vonatkoztatási rendszer:

\vec{w} sebességgel ~~es~~ EVEM mozog K-hoz képest

$$\vec{r}(t) = \vec{r}_{K'} + \vec{r}'(t)$$

$$\vec{r}_{K'}(t) = \vec{r}_0 + \vec{w} \cdot t$$

$$\vec{r}'(t) = \vec{r}'(t) + \vec{r}_0 + \vec{w} \cdot t$$

$$\vec{v}'(t) = \vec{v}'(t) + \vec{w}$$

$\vec{a}'(t)$ gyorsulásuk megegyezik

$$\sum \vec{F} = m \cdot \vec{a}(t) = m \cdot \vec{a}'(t)$$

K inerciarendszer, így:

$\Rightarrow K'$ -ben is teljesülnek a Newton-tr-ek $\Rightarrow K'$ is INERCIARENDSZER!

Ha $\vec{w} \parallel \vec{i}$ (\vec{i} : x tengely egységektor), és $\vec{r}_0 = 0$:

$$x' = x - wt$$

$$y' = y$$

$$z' = z$$

$$t' = t$$

$$v_x' = v_x - w \Rightarrow c = c' + w ?? \text{ Maxwell-egy. } \checkmark \text{ (Newton törvények } \checkmark \text{)}$$

FÉNYSEBESSEG: minden rendszerben ugyanannyi!

$$c' = c !!!$$

(Römer: Jupiterholdak, Fizeau, Michelson)

LORENTZ-TRANSZFORMÁCIÓ

\rightarrow kidéglíti a $c' = c$ feltételt

\rightarrow Ha $w_x = w$, $\vec{r}_0 = 0$:

$$x' = \frac{x - wt}{\sqrt{1 - \frac{w^2}{c^2}}}$$

$$y' = y$$

$$z' = z$$

$$t' = \frac{t - \frac{w}{c^2} x}{\sqrt{1 - \frac{w^2}{c^2}}}$$

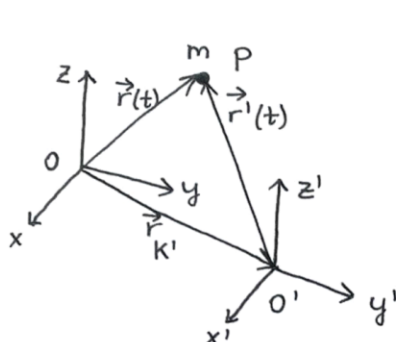
\Rightarrow Newton törvények \checkmark , Maxwell-egy. \checkmark

Korrespondencia-elv \Rightarrow Ha $w \ll c$: Lorentz-tr. \rightarrow Galilei-tr.

határesetben visszaadja a Galilei-transzformációt.

GYORSULÓ VONATKOZTATÁSI RENDSZER

K inerciarendszer, K' rendszer K-hoz képest egyenes vonalú, egyenletesen gyorsuló mozgással mozog (\vec{a}_o)
 Tf. $\vec{r}_o = 0$, $\vec{\omega}_o = 0$, \vec{a}_o = állandó



$$\vec{r}(t) = \vec{r}'(t) + \vec{r}_{K'}(t)$$

$$\vec{v}(t) = \vec{v}'(t) + \vec{v}_{K'}(t)$$

$$\vec{a}(t) = \vec{a}'(t) + \vec{a}_o \quad \text{a 2 rendszerben a gyorsulás különböző!}$$

/ · m

$$\sum \vec{F} = m \cdot \vec{a}(t) = m \cdot \vec{a}'(t) + m \cdot \vec{a}_o$$

$\Rightarrow m \vec{a}'(t) \neq \sum \vec{F} \Rightarrow K'$ -ban nem teljesülnek a Newton-törvények, így K' NEM INERCIARENDSZER

$$m \vec{a}'(t) = \underbrace{\sum \vec{F}}_{\text{állandó, erő dimenziójú}} - m \vec{a}_o$$

$\vec{F}_t = -m \vec{a}_o$ tethetetlenségi erő (fiktív)

Nem inerciarendszerben: \vec{a}_o gyorsuló rendszer esetén

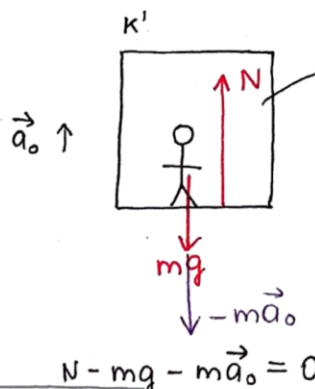
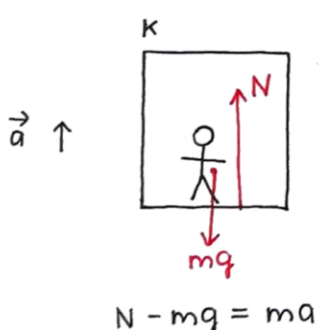
$$\text{!! } \vec{F}_t = -m \vec{a}_o$$

$$\sum \vec{F}' = \underbrace{\sum \vec{F}}_{\text{valódi erők}} + \underbrace{\vec{F}_t}_{\text{tethetetlenségi erő}}$$

$\rightarrow m \vec{a}'(t) = \sum \vec{F}'$ olyan, mintha a Newton-törvények igazak lennének

Tethetetlenségi erő $[F_t] = N$

- nincs ellenereje, nem kölcsönhatásból származik (nem lehet megtalálni azt a testet, amelyik ezt az erőt kifejtí)
- fiktív erő



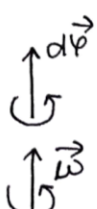
nyugalomban vagyunk, de hat ráink N erő \Rightarrow nagyobb erővel kell nyomnunk a padlót

(ált. rel. elm. miatt belülről nézve nem dönthető el, hogy gyorsul-e)

FORGÓ VONATKOZTATÁSI RENDSZER

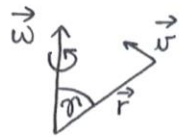
Fogalmak:

- $d\vec{\varphi}$ elemi elfordulás vektor
nagysága: elfordulás szöge (rad), irányája:
- $\vec{\omega}$ szögsebesség vektor: $\frac{d\vec{\varphi}}{dt} = \vec{\omega}$ ($\frac{1}{s}$)
- $\vec{\beta}$ szöggyorsulás vektor: $\frac{d\vec{\omega}}{dt} = \vec{\beta}$ ($\frac{1}{s^2}$)



axiávektor

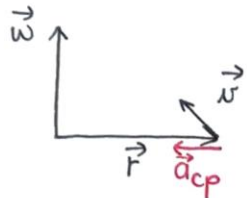
Körpályán mozgó test:



$$\text{elemi elmozdulás: } \vec{dr} = d\psi \times \vec{r}$$

$$\text{ezt deriválva: } \vec{v} = \frac{d\vec{r}}{dt} = \frac{d\psi}{dt} \times \vec{r} = \vec{\omega} \times \vec{r}$$

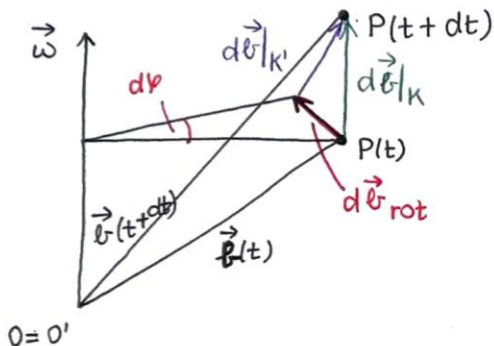
$$\text{tangenciális gyors. } \rightarrow \vec{a}_t = \frac{d^2\vec{r}}{dt^2} = \frac{d^2\psi}{dt^2} \times \vec{r} = \vec{\beta} \times \vec{r}$$



$$\text{centripetális gyorsulás: } \vec{a}_{cp} = \vec{\omega} \times \vec{v} = \vec{\omega} \times (\vec{\omega} \times \vec{r})$$

Segédtétel: K, K' origója megegyezik, K' $\vec{\omega}$ -val forog K-hoz képest. Ekkor tetszőleges \vec{v} vektora:

$$\frac{d\vec{v}}{dt} \Big|_K = \frac{d\vec{v}}{dt} \Big|_{K'} + \vec{\omega} \times \vec{v}$$



Biz:

$$d\vec{v} \Big|_K = d\vec{v} \Big|_{K'} + d\vec{v}_{rot}$$

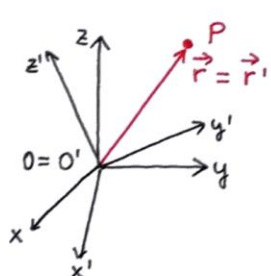
$$d\vec{v}_{rot} = d\psi \times \vec{v}$$

$$\Rightarrow d\vec{v} \Big|_K = d\vec{v} \Big|_{K'} + d\psi \times \vec{v} \quad / \frac{d}{dt}$$

$$\frac{d\vec{v}}{dt} \Big|_K = \frac{d\vec{v}}{dt} \Big|_{K'} + \frac{d\psi}{dt} \times \vec{v}$$

$$\frac{d\vec{v}}{dt} \Big|_K = \frac{d\vec{v}}{dt} \Big|_{K'} + \vec{\omega} \times \vec{v}$$

K, K' rendben, K' $\vec{\omega}$ -val forog, K-hoz képest, $O = O'$. Ekkor:



$$\vec{r} = \vec{r}' \quad \vec{v} = \frac{d\vec{r}}{dt} \Big|_K = \frac{d\vec{r}'}{dt} \Big|_{K'} + \vec{\omega} \times \vec{r} = \vec{v}' + \vec{\omega} \times \vec{r}$$

$$\vec{a} = \frac{d\vec{v}}{dt} \Big|_K = \frac{d\vec{v}'}{dt} \Big|_{K'} + \frac{d\vec{\omega}}{dt} \Big|_K \times \vec{r} + \vec{\omega} \times \frac{d\vec{r}'}{dt} \Big|_K =$$

$$= \frac{d\vec{v}'}{dt} \Big|_{K'} + \vec{\omega} \times \vec{v}' + \frac{d\vec{\omega}}{dt} \times \vec{r}' + \vec{\omega} \times \left(\frac{d\vec{r}'}{dt} \Big|_{K'}, + \vec{\omega} \times \vec{r}' \right) =$$

$$= \vec{a}' + \vec{\omega} \times \vec{v}' + \frac{d\vec{\omega}}{dt} \times \vec{r}' + \vec{\omega} \times \vec{v}' + \vec{\omega} \times (\vec{\omega} \times \vec{r}') =$$

$$= \vec{a}' + 2\vec{\omega} \times \vec{v}' + \vec{\omega} \times (\vec{\omega} \times \vec{r}') + \frac{d\vec{\omega}}{dt} \times \vec{r}'$$

gyorsulástagok:

\vec{a}' : P pont K'-ben megfigyelt gyorsulása

$\vec{\omega} \times (\vec{\omega} \times \vec{r}') = \vec{a}_{cp}$ centripetális gyorsulás: minden van, ha P pont nem esik a forgáscentrumra

$2\vec{\omega} \times \vec{v}' = \vec{a}_c$ Coriolis-gyorsulás: csak van, ha $\vec{v}' \neq 0$ és $\vec{v}' \neq \vec{\omega}$

$\frac{d\vec{\omega}}{dt} \times \vec{r}'$ Euler-féle gyorsulás: csak akkor van, ha $\vec{\omega}$ változik (azaz $\frac{d\vec{\omega}}{dt} \neq 0$)

K' inerciar.

$$\sum \vec{F} = m\vec{a} = m\vec{a}' + 2m\vec{\omega} \times \vec{v}' + m\vec{\omega} \times (\vec{\omega} \times \vec{r}') + m \cdot \frac{d\vec{\omega}}{dt} \times \vec{r}',$$

dérendezve: $\vec{m}\vec{a}' = \sum \vec{F} - m\vec{\omega} \times (\vec{\omega} \times \vec{r}') - 2m\vec{\omega} \times \vec{v}' - m \frac{d\vec{\omega}}{dt} \times \vec{r}'$

K' nem inerciarendszer \Rightarrow tethetetlenségi erőket kell felvenni, h. akkent kezeljük

$\vec{F}_q = -m\vec{\omega} \times (\vec{\omega} \times \vec{r}')$ centrifugális erő: tengelytől kifelé mutat

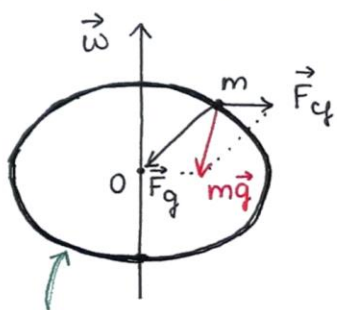
$\vec{F}_c = -2m\vec{\omega} \times \vec{v}'$ coriolis erő

$\vec{F}_E = -m \frac{d\vec{\omega}}{dt} \times \vec{r}'$ Euler erő

$$\Rightarrow m\vec{a} = \sum \vec{F} + \underbrace{\vec{F}_q + \vec{F}_c + \vec{F}_E}_{\text{tethetetlenségi erők}}$$

CENTRIFUGÁLIS ERŐ

1. Nehézségi erő: a gravitációs erő és a centrifugális erő eredője



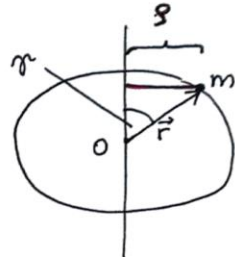
Hegy: a Föld kicsit lapított

$$\bullet \vec{F}_q = -\gamma \frac{m \cdot m_F}{r^2} \cdot \frac{\vec{r}}{r}$$

Föld középpontja fele mutat

$$\bullet |\vec{F}_q| = |m\vec{\omega} \times (\vec{\omega} \times \vec{r})| = m\omega^2 \varrho$$

$$|\vec{\omega} \times \vec{r}| = \omega \cdot r \cdot \sin \gamma = \omega \cdot \varrho$$

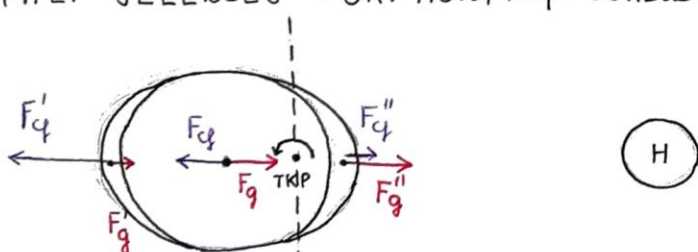


forgás tengelyre merőleges

$$\bullet \text{eredőjük: } \vec{m}\vec{q} = \vec{F}_g + \vec{F}_q$$

nehézségi erő
gravitációs erő
VALÓDI
centrifugális erő
TEHETETLENSEGI

2. ÁRAPA'LY JELENSÉG - OK: Hold, Nap vonzása



Föld-Hold rendszerrel együtt mozgó, közös Tkp körül forgó rendszerből nézzük

- Föld kp-jára \vec{F}_g és \vec{F}_q hat, ezek eredője 0, ebben a rendszerben nyugatomban van
- Holddal átellenes oldal: F_g' nagyobb, F_g'' kisebb \Rightarrow kifelé mutató eredő (mert messzebb van a tengelytől)
- Közeli oldal: F_g'', F_q'' is a Hold fele \Rightarrow kifelé mutató eredő

Nap is okoz illet: Telihold és Nighthold esetén erősíti a másik hatást
Elso és utolsó negyedben gyengíti

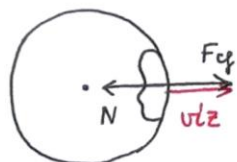
3. Centrifuga

K inerciar.-ben:



- a nyídra hat a fal nyomóereje \Rightarrow a F_c gyorsulással körmözgást végez.
- a vízre nem hat erő, mert a lyukacsos fal nem tudja nyomni \Rightarrow erem- et végez, kerületi sebesség irányában kimegy

K' forgó r.-ben:



- a nyídra N nyomóerő, F_c centrifugális erő hat, kiejtik egymást, nyugalmiban van
- a vízre csak F_c hat, annak irányában gyorsulva törözik

4. Kanyarodó autó



F_c megemeli az autót
kis íven kanyarodva

CORIOLIS ERŐ - forgó rendszerekben képest mozgó testeknél $\vec{v}' \neq 0$

1. Foucault - inga

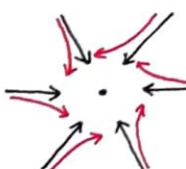
- nagy periódusidejű, kis csillapítású inga \rightarrow tapasztalat: az inga lengési síkja elfordul
- Magyarázat: inerciarendszerben: inga síkja nem fordul el, hanem a Föld elfordul alá
- forgó r.-ben: F_c Coriolis - erő elleníti az ingát

2. Eötvös - effektus

- keletről nyugatra mozgó testek súlya nő
- egyenlítőn legerősebb, sarkokon nincs

3. Lövedék : elterülhet \Rightarrow a ballisztikában a Coriolis - erő is számít

4. Ciklonok kialakulása



- kicsi elnyomás irányába induló elgtömegeket a Coriolis erő elleníti \Rightarrow forgó elgtömeg, stabil körmözgás
- Északi feltekében:
mindig jobbra teníti \Rightarrow drámatikálisan eltérítés ir. mozgás
- Délén: fordítva

MUNKA ÉS ENERGIA

elemi mechanikai munka: $dW = \underbrace{\vec{F} \cdot d\vec{s}}$
skaláris szorzat

test által végezett teljes munka: vonalmenti integrál:

$$W_{1,2} = \int_1^2 \vec{F} \cdot d\vec{s}$$

Speciális eset: pálya egyenes vonalú, \vec{F} állandó:

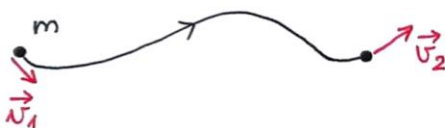
$$\vec{F} \parallel d\vec{s} \quad \vec{F} \rightarrow \quad W = \vec{F} \cdot \vec{s} = F \cdot s$$

$$W = \vec{F} \cdot \vec{s} = F \cdot s \cdot \cos \theta$$

Ha θ tompaszög, akkor W pozitív, azaz a másik test végez munkát

KÖZELÍTI MUNKA, MUNKATÉTEL

Egy m tömegű pontszemű testre ható erők eredője \vec{F}_e



Ekkor Newton II: $F_e = m \cdot \vec{a} = m \cdot \frac{d\vec{v}}{dt}$

sebesség: $\vec{v} = \frac{d\vec{r}}{dt} \rightarrow d\vec{r} = \vec{v} \cdot dt$

Eredő erő munkája:

$$W_{1,2} = \int_1^2 \vec{F}_e \cdot d\vec{r} = \int_1^2 m \cdot \frac{d\vec{v}}{dt} \cdot \vec{v} dt = m \int_1^2 \vec{v} \cdot d\vec{v} = m \left[\frac{1}{2} (\vec{v})^2 \right]_{v_1}^{v_2} = \frac{1}{2} m v_2^2 - \frac{1}{2} m v_1^2$$

Gyorsítási munka: útjól és a gyorsítás idejétől független

Mozgási energia: $E_m = \frac{1}{2} m v^2$

↳ az m tömegű v sebességgű test ekkora munkavégző képességgel rendelkezik,

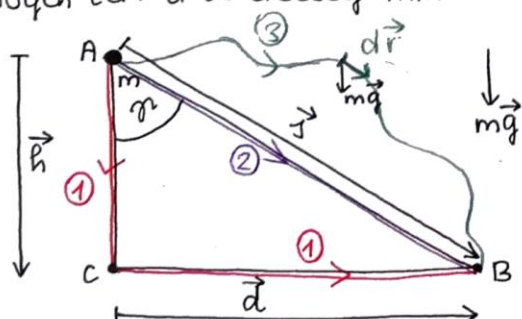
↳ ez az energia mozgásainapot jellemzi.

Munkatétel: $W_e = \Delta E_m$

KONZERVATÍV ERŐTÉR, HELYZETI ENERGIA

erőtér: a térs minden pontjában az erő nagysága és irányá adott.

homogen tér: a térrősség mindenhol ugyanolyan nagyságú és irányú.



$$\textcircled{1} \quad W_{A,B} = \vec{m} \cdot \vec{g} \cdot \vec{h} + \vec{m} \cdot \vec{g} \cdot \vec{d} = m \cdot g \cdot h + 0 = m \cdot g \cdot h$$

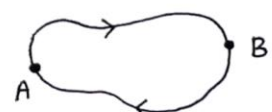
$$\textcircled{2} \quad W_{A,B} = m \cdot \vec{g} \cdot \vec{s} = m \cdot g \cdot s \cdot \cos \theta = m \cdot g \cdot h$$

$$\textcircled{3} \quad W_{A,B} = \int_A^B \vec{m} \cdot \vec{g} \cdot d\vec{r} = m \cdot \vec{g} \int_A^B d\vec{r} = m \cdot \vec{g} \cdot \vec{s} = m \cdot g \cdot h$$

Itt az $\vec{F}(\vec{r})$ erőtér konzervatív: az \vec{F} erő által végezett munka ($W_{A,B}$) nem függ az útvonalról, csak az A, B kezdő és végponttól.

Megj.: konzervatív erőtér esetén zárt görbe mentén a munkavégzés nulla

$$\oint \vec{F}_k \cdot d\vec{r} = \int_A^B \vec{F}_k \cdot d\vec{r} + \int_B^A \vec{F}_k \cdot d\vec{r} = \int_A^B \vec{F}_k \cdot d\vec{r} - \int_A^B \vec{F}_k \cdot d\vec{r} = 0$$



$\vec{F}_k(\vec{r})$ konzervatív erőtér esetén: minden P ponthoz rendelhető helyzeti (potenciális) energia:

$$E_h(P) = - \int_0^P \vec{F}_k d\vec{r} = -W_{k,OP}$$



azaz az \vec{F}_k erő ekkor munkát végezne a testen, ha az bármilyen úton P-ből az O origóba jutna.

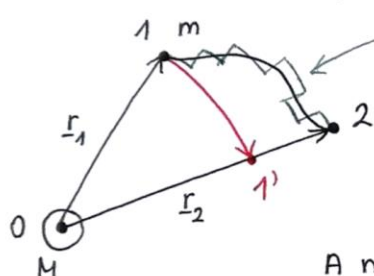
E_m koordinátafüggő – E_h origófüggő (analógia)

De a helyzeti energia megrálltása független az origó megrálasztásdtól

$$\begin{aligned} E_h(A) &= \Delta E_h = E_h(B) - E_h(A) = \\ &= - \int_0^B \vec{F}_k d\vec{r} + \int_0^A \vec{F}_k d\vec{r} = \\ E_h(B) &= \underbrace{- \int_0^A \vec{F}_k d\vec{r}}_{0 \rightarrow A} - \underbrace{\int_0^B \vec{F}_k d\vec{r}}_{0 \rightarrow B} + \int_0^A \vec{F}_k d\vec{r} = - \int_A^B \vec{F}_k d\vec{r} = -W_{k,AB} \end{aligned}$$

PL. Gravitációs erőtér

$$\text{ha } r > R: \vec{F} = -\gamma \frac{Mm}{r^2} \frac{\vec{r}}{r}$$



mozgást felbontjuk tangenciális és radialis szakaszokra

tangenciális irányú munka zérus: $dW_t = 0$

$$\text{radialis: } W_{12} = W_{1'2} = \int_{r_1}^{r_2} \vec{F} dr$$



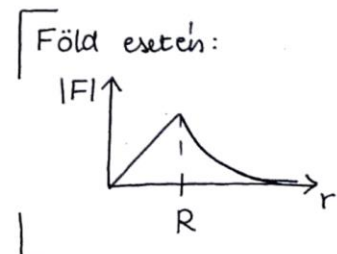
A munka csak a radialis irányú elmozdulástól függ
⇒ az erőtér konzervatív

Mivel konzervatív $\Rightarrow E_h$ helyzeti energia minden ponthoz rendelhető:

$$\begin{aligned} E_h(r) &= -W_{12} = -W_{1'2} = - \int_{r_1}^{r_2} \vec{F} dr = - \int_{r_1}^{r_2} -\gamma \frac{Mm}{r^2} dr = +\pi Mm \int_{r_1}^{r_2} \frac{dr}{r^2} = \\ &= -\gamma Mm \left[\frac{1}{r} \right]_{r_1}^{r_2} = -\gamma Mm \left(\frac{1}{r_2} - \frac{1}{r_1} \right) \end{aligned}$$

r_1 -et ∞ messze választva:

$$E_h(P) = - \int_0^P \vec{F} dr = - \frac{\gamma Mm}{r}$$



MECHANIKAI ENERGIA

Test mozgási energiájának megrálltása:

$$\Delta E_m = W_e = \sum W_k + \sum W_{nk} = -\Delta E_h + \sum W_{nk} \Rightarrow \Delta E_m + \Delta E_h = W_{nk}$$

\uparrow konzervatív erők munkája \uparrow nem konzervatív erők munkája

$$\Delta (E_m + E_h) = W_{nk}$$

E : mechanikai energia

Mechanikai energia: $E = E_m + E_h$

$$\Delta E = W_{nk} \quad \leftarrow \text{munkatétel másik alakja}$$

Mechanikai energia megmaradási törvénye tömegpontra: $W_{nk} = 0 \Leftrightarrow E = \text{áll.}$

↳ csak akkor marad meg a mech. energia, ha a nemkonzervatív erők munkája nulla!

EGYENSÜLYI HELYZETEK

$\vec{F}(\vec{r})$ erőter ismert $\Rightarrow E_h(\vec{r})$ meghatározható: $E_h(\vec{r}) = - \int_0^P \vec{F}(\vec{r}) d\vec{r}$

Altalánosan: $dE_h = - \vec{F} \cdot d\vec{r}$ helyzeti energia elemi megváltozása $d\vec{r}$ elmozdulás esetén.

dE_h így is felírható: $dE_h = \frac{dE_h}{dx} dx$

Az előbbi 2 kifejezésből következik: $F_x = - \frac{dE_h}{dx}$

Három dimenzióban: $dE_h = - (F_x dx + F_y dy + F_z dz)$

$$\text{és } dE_h = \frac{\partial E_h}{\partial x} dx + \frac{\partial E_h}{\partial y} dy + \left(\frac{\partial E_h}{\partial z} \right) dz \quad \begin{array}{l} \text{parciális} \\ \text{deriváltak} \end{array}$$

$$\Rightarrow \text{az erő komponensei: } F_x = - \frac{\partial E_h}{\partial x}$$

$$\left. \begin{array}{l} F_y = - \frac{\partial E_h}{\partial y} \\ F_z = - \frac{\partial E_h}{\partial z} \end{array} \right\} \begin{array}{l} \text{vektoros alakban:} \\ \vec{F} = - \left(\frac{\partial E_h}{\partial x} \cdot \vec{i} + \frac{\partial E_h}{\partial y} \cdot \vec{j} + \frac{\partial E_h}{\partial z} \cdot \vec{k} \right) \\ \vec{F} = - \text{grad } E_h = - \nabla E_h \end{array}$$

Megj.: Konzervatív erőter esetén az \vec{F} erő alakja nem lehet bármilyen, hanem $\vec{F} = - \text{grad } E_h$ alakú. (skálár fu.-ból (E_h) egy vektorfu. (\vec{F}) előállítása)

Egyensúly feltétele:

testre ható erők eredője zérus: $\vec{F}_e = 0 \Rightarrow$ azaz E_h hely szerinti deriváltjai nullák $\Rightarrow [E_h - \text{nak szélsőértéke van}]$

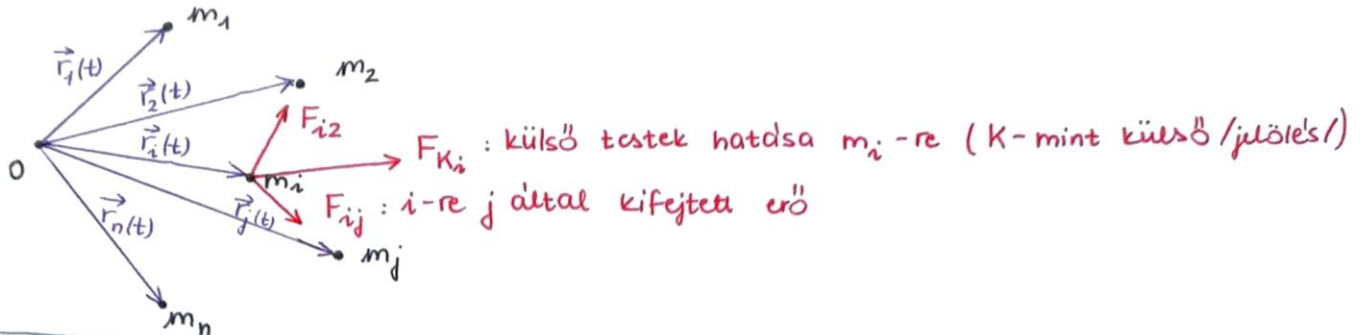
maximum:
instabil

minimum:
stabil

PONTRENDSZEREK

n db pont: $1, 2, \dots, i, \dots, n$

A pontokról külön-külön nem beszélünk, hanem a rendszerről teszünk általános megállapításokat.



A TÖMEGKÖZÉPPONT

a pontrendszer össztömege: $m = \sum_{i=1}^n m_i$

TKP-ba mutató helyvektor: egyes helyvektorok tömeggel súlyozott középértéke:

$$\vec{r}_{TKP} = \frac{\sum_{i=1}^n m_i \vec{r}_i}{\sum_{i=1}^n m_i} = \frac{\sum_{i=1}^n m_i \vec{r}_i}{m}$$

ált.: időfüggő (mozog) $\vec{r}_{TKP}(t)$

n db Newton II törvénnyel: $m_i \vec{a}_i = \vec{F}_{K_i} + \underbrace{\sum_{\substack{j=1 \\ j \neq i}}^n \vec{F}_{ij}}$ belső erők \rightarrow 3 ismeretlenes, n dimenziós egyenletr.

n db egyenlet összege: $\sum_{i=1}^n m_i \vec{a}_i = \underbrace{\sum_{i=1}^n \vec{F}_{K_i}}_{\vec{F}_K} + \underbrace{\sum_{i=1}^n \sum_{\substack{j=1 \\ j \neq i}}^n \vec{F}_{ij}}_{NIII \text{ miatt belső erők eredője nulla mert } \vec{F}_{ij} = -\vec{F}_{ji}}$

$$\sum_{i=1}^n m_i \frac{d^2 \vec{r}_i}{dt^2} = \vec{F}_K + 0$$

tendenzie: $\vec{F}_K = \frac{1}{dt^2} \cdot d^2 \sum_{i=1}^n m_i \vec{r}_i = \frac{d^2(m \cdot \vec{r}_{TKP})}{dt^2} = m \cdot \frac{d^2 \vec{r}_{TKP}}{dt^2} = m \cdot \vec{a}_{TKP}$

Azaz: $m \cdot \vec{a}_{TKP} = \vec{F}_K$ csak a külső erőktől függ a TKP gyorsulása, a pontrendszer ugy mozog, mintha egy tömegpont lenne

Tömegközépponti tétel.

LENDÜLET (IMPULZUS)

$$\vec{p}_i = m_i \vec{v}_i$$

$$\vec{p} = \sum_{i=1}^n \vec{p}_i = \sum_{i=1}^n m_i \vec{v}_i = \sum_{i=1}^n m_i \frac{d \vec{r}_i}{dt} = \frac{1}{dt} d \sum_{i=1}^n m_i \vec{r}_i = \frac{d(m \vec{r}_{TKP})}{dt} = m \frac{d \vec{r}_{TKP}}{dt} = m \cdot \vec{v}_{TKP}$$

Azaz $\vec{p} = m \cdot \vec{v}_{TKP}$

$$\vec{F}_K = m \cdot \vec{a}_{TKP} = m \cdot \frac{d\vec{v}_{TKP}}{dt} = \frac{d(m\vec{v}_{TKP})}{dt} = \frac{d\vec{p}}{dt} \rightarrow \boxed{\vec{F}_K = \frac{d\vec{p}}{dt}}$$

Ha a pontrendszerre nem hat külső erő, akkor a teljes impulzus állandó:

$$\vec{F}_K = 0 \Leftrightarrow \vec{p} \text{ állandó}$$

impulzusmegmaradás törvénye pontrendszerre

Megj.: • feltételezhet van kötve a megmaradási törvényhez

• belső erőkről nincs szó, azuktól nem függ az impulzus

MECHANIKAI ENERGIA

n db munkatétel: $W_i = \Delta E_{mi}$

ezek összeadása: $W = \Delta E_m$

W : pontrendszeren végezett összes munka

Felbontjuk W -t B - belső, K - külső, k - konzervatív, nk - nem konzervatív:

$$W_{Bk} + W_{Bnk} + W_{Kk} + W_{Knk} = \Delta E_m$$

Konzervatív erők munkája helyzeti energiával helyettesíthető:

$$W_{Bk} = -\Delta E_{hk}$$

$$W_{Kk} = -\Delta E_{hk}$$

$$\Rightarrow W_{Bnk} + W_{Knk} = \Delta E_m + \Delta E_{hk} + \Delta E_{hk} = \Delta \underbrace{(E_m + E_{hk} + E_{hk})}_{E \text{ mechanikai energia}} = \Delta E$$

$$\boxed{W_{Bnk} + W_{Knk} = \Delta E}$$

Mechanikai energiamegmaradás pontrendszerre:

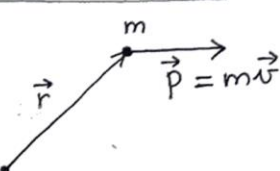
$$\boxed{\text{Ha } W_{Bnk} + W_{Knk} = 0, \text{ akkor } E = \text{állandó}}$$

Megj.: • megmaradás feltétele: munkavégzések összege nulla!

• belső nem konzervatív erők munkája is megváltoztathatja a mech. energiát

PERDÜLET - IMPULZUSMOMENTUM

EGY TÖMEGPONTRA



Test O-ra vonatkoztatott perdületvektora:

$$\vec{N} = \vec{r} \times \vec{p} \quad \text{keres茨szorozat}$$

axialektor

$$\text{Idő szenánt deriválva: } \frac{d\vec{N}}{dt} = \underbrace{\frac{d\vec{r}}{dt} \times \vec{p}}_{0, \text{ mert } \vec{v} \parallel \vec{p}} + \vec{r} \times \frac{d\vec{p}}{dt} = \vec{r} \times \vec{F}_c$$

↑

tömegpontra ható
eredő erő

Az $\vec{r} \times \vec{F}$ szorzat a forgató nyomaték - vektor: $\vec{M} = \vec{r} \times \vec{F}$ - axialektor

$$\Rightarrow \boxed{\frac{d\vec{N}}{dt} = \vec{M}}$$

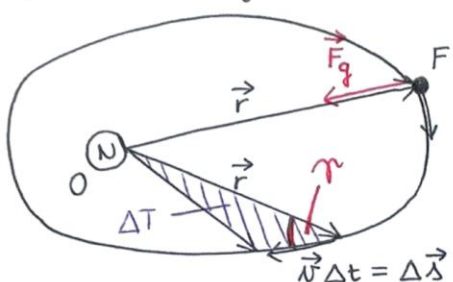


$$|\vec{M}| = \underbrace{r \cdot \sin \alpha \cdot F}_{k} = k \cdot F$$

Perdületmegmaradás tömegpontra: ha $\vec{M} = 0 \Leftrightarrow \vec{N} = \text{áll.}$

KEPLER II TÖRVÉNYE

Bolygóra ható gravitációs erő centrális: minden O-ba (Napba) mutat



$\vec{M} = \vec{r} \times \vec{F}_g = 0$, mert $\vec{r} \parallel \vec{F}_g$, azaz a Földre nem hat forgató nyomaték
 \Downarrow
 $\vec{N} = \text{állandó}$

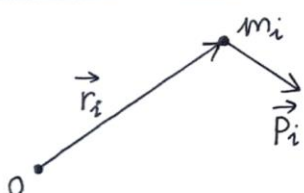
$$\vec{N} = m \cdot (\vec{r} \times \vec{v}), \quad N = m \cdot r \cdot v \cdot \sin \varphi = \text{állandó}$$

$$\Delta t \text{ alatti szövölt terület: } \Delta T = \frac{1}{2} r \cdot v \cdot \Delta t \cdot \sin \varphi = \frac{1}{2} \frac{N}{m} \cdot \Delta t$$

kis Δt esetén a háromszög területe

$\Rightarrow \Delta t$ alatt szövölt ΔT terület a perdülettel (N) arányos,
 így Kepler II a perdületmegmaradási törvényvel indokolható.

PERDÜLET PONTRENDSZERRE



$$\text{i. tag: } \vec{N}_i = \vec{r}_i \times \vec{p}_i$$

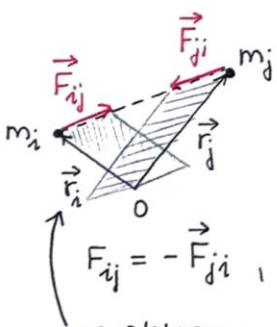
$$\frac{d\vec{N}_i}{dt} = \vec{M}_i \quad n \text{ db ilyen egyenlet}$$

az egyenleteket összeadjuk

$$\sum_{i=1}^n \frac{d\vec{N}_i}{dt} = \sum_{i=1}^n \left(\vec{M}_{ik} + \sum_{\substack{j=1 \\ j \neq i}}^n \vec{M}_{ij} \right)$$

különböző erők által kifejtett forg. nyom.

$$\frac{d\vec{N}}{dt} = \vec{M}_K + \underbrace{\sum_{i=1}^n \sum_{\substack{j=1 \\ j \neq i}}^n \vec{M}_{ij}}_0$$



paralelogrammák területe egyenlő a forgató nyomatékok nagyságával.
 A két paralelogramma egyenlő, mert:

az alapjuk megegyezik ($|F_{ij}| = |F_{ji}|$), ill. magasságuk is

$$\Rightarrow \boxed{\frac{d\vec{N}}{dt} = \vec{M}_K}$$

Perdületmegmaradás törvénye pontrendszerre:

$$\boxed{\text{Ha } \vec{M}_K = 0, \text{ akkor } \vec{N} = \text{állandó}}$$

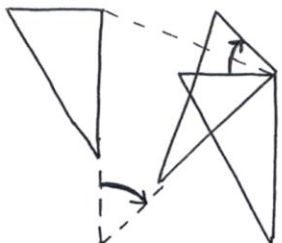
Megj.: • perdület független a belső erők forgató nyomatéktól
 • megmaradás feltétele: $\vec{M}_K = 0!$

A MEREV TEST

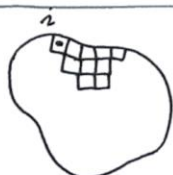
merrev test: két pontjának a távolsága időben állandó. (bármely 2 pont)

Mozgása leírható transzláció II. és rotáció II.

VAGY TKP haladó mozgásával + a TKP körül forgással
Merrev test helyzete 6 független adattal megadható



A MERREV TEST, MINT PONTRENDSZER



$$\text{teljes térfogat: } V = \sum_i \Delta V_i$$

$$\text{teljes tömeg: } m = \sum_i \Delta m_i = \sum_i s_i \Delta V_i = \int_V s(\vec{r}) dV$$

sűrűség

TKP-ba mutató helyvektor:

$$\vec{r}_{\text{TKP}} = \frac{\sum_i m_i \vec{r}_i}{m} = \frac{\int_V s(\vec{r}) \cdot \vec{r} dV}{\int_V s(\vec{r}) dV} = \frac{\int_V s(\vec{r}) \vec{r} dV}{m}$$

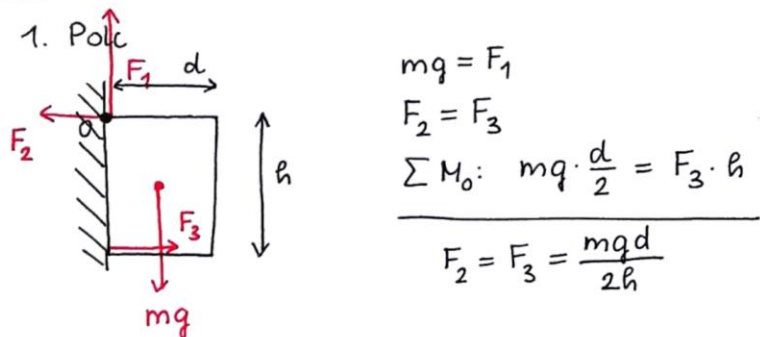
STATIKA

csak külső erőkkel fogalkozunk

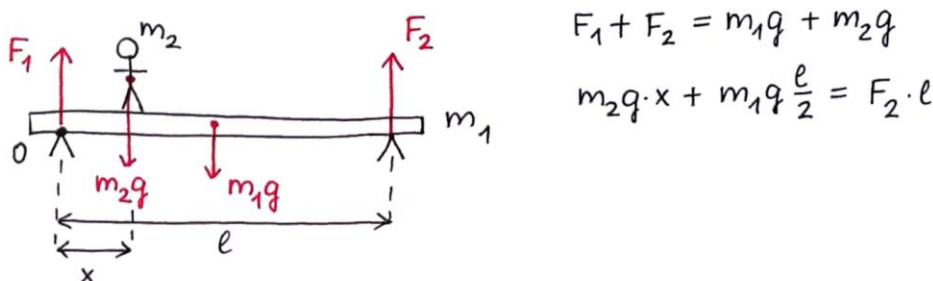
$$\sum \vec{F} = 0, \sum \vec{M} = 0 : \text{egyenlőség feltétele}$$

$$\text{Ha } \sum \vec{F} = 0 \text{ és } \sum \vec{M}_{P'} = 0 \Rightarrow \sum \vec{M}_P = 0 \quad (P, P' \text{ a merrev test 2 pontja})$$

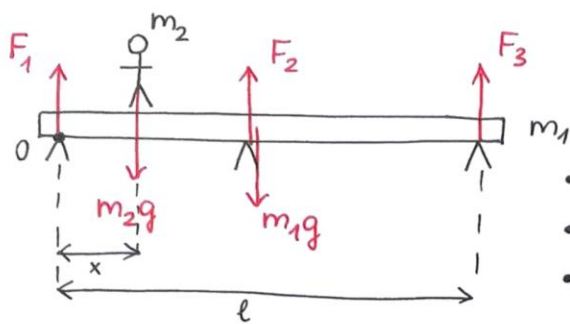
STATIKAI FELADATOK



2. Kéttámaszú tartó



3. Hárömtámaszú tartó

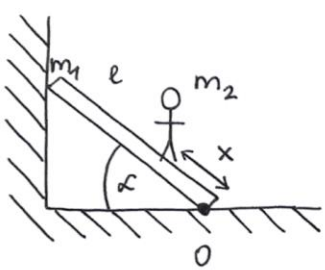


$$F_1 + F_2 + F_3 = m_1 g + m_2 g$$

$$m_2 g x + m_1 g \frac{l}{2} = F_2 \frac{l}{2} + F_3 l$$

- merev test modellben nem lehet megoldani
- elrendezés statikailag határozatlan
- rugalmas alakváltozás figyelembe vételével oldható meg

4. Létra



$x_{\max} = ?$ hogy ne csússzon meg a létra

1. erők felvételle

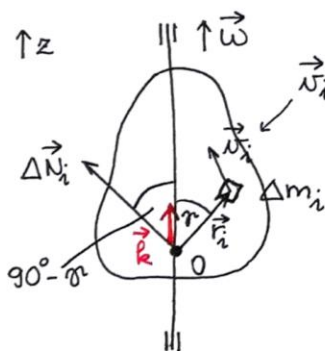
2. egyenletek $\sum F_x = 0$
 $\sum F_y = 0$
 $\sum M = 0$
 $F_s \leq \mu F_N$

} HF ...

MEREV TEST DINAMIKA'JA

- TKP haladó mozgása : $m \vec{a}_{\text{TKP}} = \sum \vec{F}$ ld. tömegpont dinamikája
- TKP körül forgás

↓
RÖGZÍTETT TENGELEY KÖRÜLI FORGÁS → szabadsági fokok száma kevesebb



\vec{v}_i lap síkjára merőlegesen befelé mutat

$$\frac{d\vec{N}}{dt} = \sum \vec{M} \text{ általánosan}$$

$$\Delta \vec{N}_i = \vec{r}_i \times (\Delta m_i \vec{v}_i)$$

$$\vec{v}_i = \vec{\omega} \times \vec{r}_i$$

$$\frac{d\vec{N}_i}{dt} = \sum \vec{M}_z$$

$$R_i = r_i \cdot \sin \theta \quad v_i = \omega \cdot r_i \cdot \sin \theta$$

$$\Delta N_{iz} = \Delta \vec{N}_i \cdot \vec{k} = (\vec{r}_i \times (\Delta m_i \vec{v}_i)) \vec{k} = r_i \Delta m_i v_i \sin \theta = \Delta m_i v_i R_i = \Delta m_i \omega R_i^2$$

$$N_z = \sum_i \Delta N_{iz} = \sum_i \Delta m_i \omega R_i^2 = \omega \underbrace{\sum_i \Delta m_i R_i^2}_\text{csak a teste jellemző adatoktól függ}$$

⇒ z tengelyre vonatkozó tehetetlenségi nyomaték:

$$\Theta_z = \sum_i \Delta m_i R_i^2$$

$$\Rightarrow N_z = \omega_z \cdot \Theta_z$$

Forgó mozgás alapegyenlete: (rögz. tengely esetén)

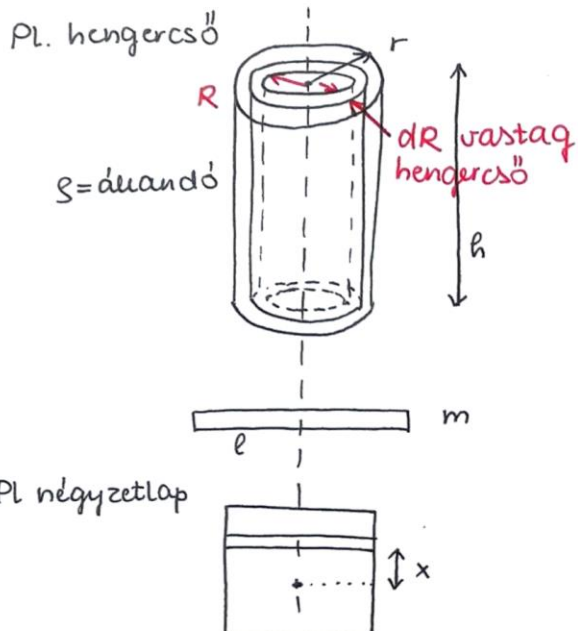
$$M_z = \frac{dN_z}{dt} = \frac{d(\Theta_z \omega_z)}{dt} = \Theta_z \frac{d\omega_z}{dt} = \Theta_z \beta_z \rightarrow M_z = \Theta_z \beta_z$$

$\text{Ha } M_z = 0 \Rightarrow N_z = \text{dellel. azaz } \Theta_z \omega_z = \text{dellel.}$

Θ MEGHATA'R OZAS A

Tömegpontokból álló test: $\Theta_z = \sum_i \Delta m_i R_i^2$

Homogen test: $\Theta_z = \int_V S(\vec{r}) R_i^2 dV$ törffogati integral



$$d\Theta = \underbrace{2\pi R dR}_d \cdot h \cdot S \cdot R^2$$

$$\Theta = \int_0^r 2\pi h \cdot S \cdot R^3 \cdot dR = 2\pi \cdot h S \frac{r^4}{4} =$$

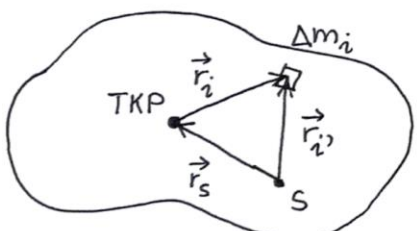
$$= \frac{r^2 \pi h S}{2} \cdot r^2 = \frac{1}{2} mr^2$$

STEINER - TÉTEL

TKP-n átmenő tengelyre Θ_{TKP} ismert:

$$\Theta_{TKP} = \sum_i \Delta m_i r_i^2$$

Ekkor egy S ponton átmenő, előző tengellyel párhuzamos tengelyre Θ_S könnyen meghatározható:



$$\Theta_S = \sum_i \Delta m_i r_i'^2 = \sum_i \Delta m_i (\vec{r}_s + \vec{r}_i)^2 = \sum_i \Delta m_i r_s^2 + \sum_i \Delta m_i r_i^2 + \sum_i 2\Delta m_i \vec{r}_s \cdot \vec{r}_i =$$

$$= m \cdot r_s^2 + \Theta_{TKP} + 2 \vec{r}_s \cdot \sum_i \Delta m_i \vec{r}_i$$

0, mert ez a TKP-ból TKP-ba mutató helyvektor m -szere, ami nulla

\Rightarrow Steiner-tétel: $\Theta_S = m \cdot r_s^2 + \Theta_{TKP}$, ahol r_s a két párhuzamos tengely távolsága

Következmény:

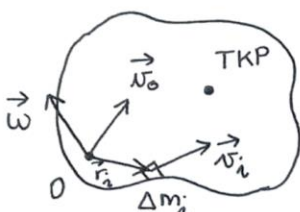
TKP-n átmenő tengelyre minimális a teh. nyomaték

FORGÓ MEREV TEST MOZGA'SI ENERGIA'JA

TKP-n átmenő tengely körül forgás esetén:

$$E_f = \sum_i \frac{1}{2} \Delta m_i v_i^2 = \sum_i \frac{1}{2} \Delta m_i (\omega R_i)^2 = \frac{1}{2} \omega^2 \sum_i \Delta m_i R_i^2 = \frac{1}{2} \omega^2 \Theta$$

Ha a test halad és forog is:



Általánosan: $E_m = \sum_i \frac{1}{2} \Delta m_i v_i^2$

Most a sebesség: $\vec{v}_i = \vec{v}_0 + \vec{\omega} \times \vec{r}_i$

$$\stackrel{!!}{=} \sum_i \frac{1}{2} \Delta m_i (\vec{v}_0 + \vec{\omega} \times \vec{r}_i)^2 =$$

$$= \sum_i \frac{1}{2} \Delta m_i v_0^2 + \sum_i 2 \frac{1}{2} \Delta m_i v_0 (\vec{\omega} \times \vec{r}_i) + \sum_i \frac{1}{2} \Delta m_i (\vec{\omega} \times \vec{r}_i)^2 = \\ = \underbrace{\frac{1}{2} m v_0^2}_{\frac{1}{2} \Theta_0 \omega^2} + \underbrace{\sum_i \frac{1}{2} \Delta m_i \omega^2 R_i^2}_{m \cdot \vec{r}_{TKP} (\vec{v}_0 \times \vec{\omega})}$$

Első tag: "haladó mozg. energia"

Második: "forgási energia"

Harmadik vegyes tag csak speciális esetekben nulla:

- Ha $\vec{r}_{TKP} = 0$, Ekkor a TKP arról van, hogy
- Ha $\vec{v}_0 = 0$ csak forog
- Ha $\vec{\omega} = 0$ csak halad
- Ha $\vec{r}_{TKP} \parallel \vec{\omega}$ forgási tengely átmegy a TKP-n
- Ha $\vec{r}_{TKP} \parallel \vec{v}_0$
- Ha $\vec{v}_0 \times \vec{\omega}$ csavaronal mentén halad

A MEREV TEST SÍKMOZGA'SA

Ingamozgás - torziós inga



Elfordulás (φ) hatására visszateérő forg. nyomaték:

$$M = - D^* \varphi \quad D^*: \text{torziós szál rugóállandója}$$

$$\text{Alapegyenlet: } M = \Theta \beta$$

$$[M] = \text{Nm}$$

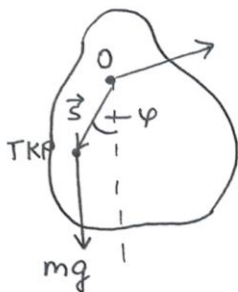
$$\Rightarrow \text{mozgásegyenlet: } \Theta \frac{d^2\varphi}{dt^2} = - D^* \varphi$$

$$\frac{d^2\varphi}{dt^2} = - \frac{D^*}{\Theta} \varphi \quad / \text{analógia:} \quad \frac{d^2x}{dt^2} = - \frac{D}{m} x \quad /$$

Altalános megoldás: $\varphi(t) = \varphi_{\max} \cdot \sin(\omega t + \varphi_0)$

ahol $\omega = \sqrt{\frac{D^*}{\Theta}}$

Fizikai inga



F - forgató nyomatéka 0

Kiteré's esetén nehézségi erő hatására fellépő visszatejtő nyomaték:

$$\vec{M} = \vec{s} \times (mg) \rightarrow M = -smg \sin \varphi \quad \left. \begin{array}{l} \Theta_0 \frac{d^2\varphi}{dt^2} = -smg \sin \varphi \\ M = \Theta_0 \beta \end{array} \right\} \frac{d^2\varphi}{dt^2} = -\frac{smg}{\Theta_0} \sin \varphi$$

Nincs általános megoldás, konkrét esetből függ

- sorfejtés (Taylor-sor)
- numerikus (táblázat)
- $\varphi \ll 1$ esetén (kis kiteré's): $\sin \varphi \approx \varphi$

Kis kiteré's esetén linearizált diff. egyenlet:

$$-\frac{smg}{\Theta_0} \sin \varphi \approx -\frac{smg}{\Theta_0} \varphi \rightarrow \frac{d^2\varphi}{dt^2} = -\frac{smg}{\Theta_0} \varphi$$

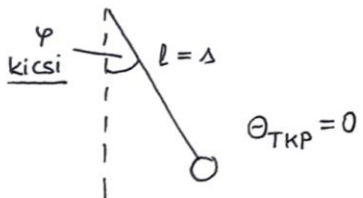
$$\text{megoldás: } \varphi(t) = \varphi_{\max} \cdot \sin(\omega t + \varphi_0)$$

$$\omega = \sqrt{\frac{smg}{\Theta_0}} = \sqrt{\frac{smg}{\Theta_{TKP} + ms^2}}, \quad T = \frac{2\pi}{\omega} = 2\pi \sqrt{\frac{\Theta_{TKP} + ms^2}{mgs}}$$

Steiner-t.

Matematikai inga

→ speciális fizikai inga



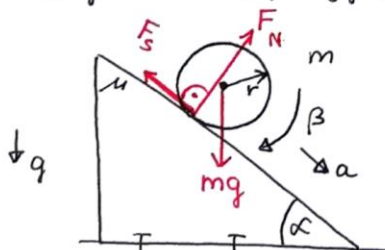
$$\omega = \sqrt{\frac{mgs}{\Theta_{TKP} + ml^2}} = \sqrt{\frac{g}{l}}$$

$$T = 2\pi \sqrt{\frac{\Theta_{TKP} + ml^2}{mgs}} = 2\pi \sqrt{\frac{l}{g}}$$

Gördülés

→ Nem osuszik meg - tiszta gördülés: mindenkorán érintkezési pont nyugalomban van a talajhoz képest, tapadási súl. erő lep fel

→ Megosuszik és/vagy forog is



$$(1) mgs \sin \alpha - F_s = m \cdot a \quad /N.II/$$

$$(2) mgs \cos \alpha - F_N = 0 \quad /NII/$$

$$(3) F_s \cdot r = \Theta \beta = M \quad /\text{forgó mozg. alapegy.}/$$

$$(4) \Theta = k \cdot m \cdot r^2 \quad \text{forgástest teh. nyom-a}$$

Megj.: F_N , mg hatásúonala átmegy a TKP-n \Rightarrow nincs forgatónyomatékuk
Tegyük fel, hogy tisztaan gördül - alsó pont nyugalomban van

$$(5) a = \beta \cdot r$$

$$(6) F_s \leq \mu F_N \quad F_s: \text{tapadási súl.}$$

Az egyenletrendszert megoldása:

$$(3), (5) \rightarrow F_s = \frac{\Theta}{r^2} \cdot a \quad (7)$$

$$(1), (4), (7) \rightarrow mgs \sin \alpha = \left(m + \frac{\Theta}{r^2}\right) a = ma(1 + \frac{\Theta}{mr^2})$$

$$a = \frac{g \sin \alpha}{1 + k}$$

$$\beta = \frac{a}{r} = \frac{g \sin \alpha}{r(1 + k)}$$

Teljesül-e az $F_s \leq \mu F_N$ egyenlőtlensége / feltétele / ?

$$k \frac{g \sin \alpha}{1 + k} \leq \mu m g \cos \alpha$$

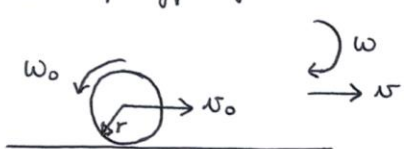
$$\mu \geq \frac{k \tan \alpha}{1 + k} \leftarrow \text{ennek kell teljesülnie tiszta gördülés esetén}$$

Ha csúszva gyurul:

$$F_s = \mu F_N \quad (\alpha \neq \beta r !)$$

ezzel az egyenletrendszer megoldható

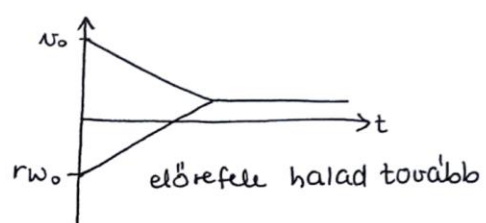
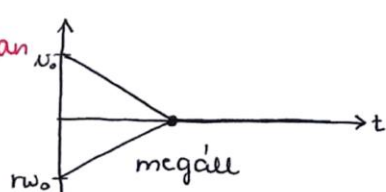
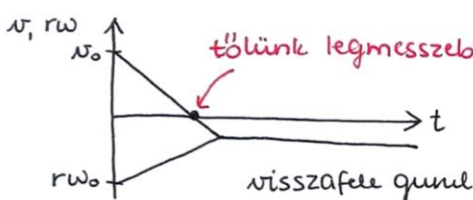
Kísérlet - pingpong labda



$$\begin{array}{ll} \omega_0 > 0 & \omega_0 = \omega(0) \\ \omega_0 < 0 & r \cdot \omega_0 = \omega(0) \cdot r \end{array}$$

$$a = r \cdot \beta$$

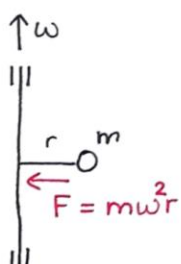
$$v(t) = r \cdot \omega(t)$$



SZABAD FORGÁS

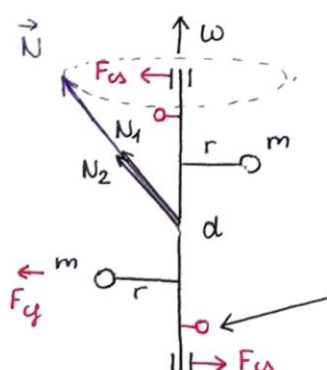
Tengelyt éró erőhatások

1. statikusan kiegyensúlyozatlan test



tengely nem megy át a TKP-n
tömegpont körpályán tartásához $F = mw^2r$ erőt fejtenek ki a csapágyak

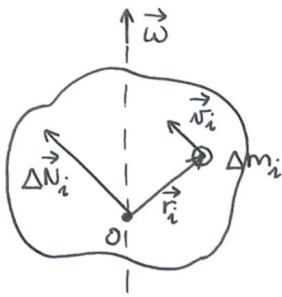
2. dinamikusan kiegyensúlyozatlan test



tengely átmegy a TKP-n, de a tömegeloszlás nem szimmetrikus
tömegpontok körpályán tartásához $M = Fd = mw^2rd$
forgató ny. -t fejtenek ki a csapágyak
 $\rightarrow \vec{N}$ húppalást mentén forog

kis tömegök felhelyezésére kiegyensúlyozható

Perdület és szögsebesség kapcsolata



$$\vec{v}_i = \vec{\omega} \times \vec{r}_i$$

$$\vec{\Delta N}_i = \vec{r}_i \times \vec{\Delta p}_i = \Delta m_i \vec{r}_i \times (\vec{\omega} \times \vec{r}_i)$$

Descartes-koordinatákkel:

$$\vec{r}_i = x_i \vec{i} + y_i \vec{j} + z_i \vec{k}$$

$$\vec{\omega} = \omega_x \vec{i} + \omega_y \vec{j} + \omega_z \vec{k}$$

$$\vec{\omega} \times \vec{r}_i = \begin{vmatrix} \vec{i} & \vec{j} & \vec{k} \\ \omega_x & \omega_y & \omega_z \\ x_i & y_i & z_i \end{vmatrix} = (\omega_y z_i - \omega_z y_i) \vec{i} + (\omega_z x_i - \omega_x z_i) \vec{j} + (\omega_x y_i - \omega_y x_i) \vec{k}$$

$$\vec{r}_i \times (\vec{\omega} \times \vec{r}_i) = \begin{vmatrix} \vec{i} & \vec{j} & \vec{k} \\ x_i & y_i & z_i \\ \omega_y z_i - \omega_z y_i & \omega_z x_i - \omega_x z_i & \omega_x y_i - \omega_y x_i \end{vmatrix} = \begin{matrix} (\omega_x y_i^2 - \omega_y x_i y_i - \omega_z x_i z_i + \omega_x z_i^2) \vec{i} \\ + (\omega_y z_i^2 - \omega_z y_i z_i - \omega_x x_i y_i + \omega_y x_i^2) \vec{j} \\ + (\omega_z x_i^2 - \omega_x z_i x_i - \omega_y y_i z_i + \omega_z y_i^2) \vec{k} \end{matrix}$$

Teljes perdületvektor:

$$N = \sum \left\{ \begin{aligned} & \left[\omega_x (y_i^2 + z_i^2) \Delta m_i - \omega_y x_i y_i \Delta m_i - \omega_z x_i z_i \Delta m_i \right] \vec{i} + \\ & + \left[-\omega_x x_i y_i \Delta m_i + \omega_y (x_i^2 + z_i^2) \Delta m_i - \omega_z y_i z_i \Delta m_i \right] \vec{j} + \\ & + \left[-\omega_x x_i z_i \Delta m_i - \omega_y y_i z_i \Delta m_i + \omega_z (x_i^2 + y_i^2) \Delta m_i \right] \vec{k} \end{aligned} \right\}$$

$$= \left[\omega_x \underbrace{\sum (y_i^2 + z_i^2) \Delta m_i}_{\Theta_{xx}} + \omega_y \underbrace{\sum (-x_i y_i \Delta m_i)}_{\Theta_{xy}} + \omega_z \underbrace{\sum (-x_i z_i \Delta m_i)}_{\Theta_{xz}} \right] \vec{i} +$$

$$\left[\omega_x \underbrace{\sum (-x_i y_i \Delta m_i)}_{\Theta_{yx}} + \omega_y \underbrace{\sum (x_i^2 + z_i^2) \Delta m_i}_{\Theta_{yy}} + \omega_z \underbrace{\sum (-y_i z_i \Delta m_i)}_{\Theta_{yz}} \right] \vec{j} +$$

$$\left[\omega_x \underbrace{\sum (-x_i z_i \Delta m_i)}_{\Theta_{zx}} + \omega_y \underbrace{\sum (-y_i z_i \Delta m_i)}_{\Theta_{zy}} + \omega_z \underbrace{\sum (x_i^2 + y_i^2) \Delta m_i}_{\Theta_{zz}} \right] \vec{k}$$

$$N_x = \Theta_{xx} \omega_x + \Theta_{xy} \omega_y + \Theta_{xz} \omega_z$$

$$N_y = \Theta_{yx} \omega_x + \Theta_{yy} \omega_y + \Theta_{yz} \omega_z$$

$$N_z = \Theta_{zx} \omega_x + \Theta_{zy} \omega_y + \Theta_{zz} \omega_z$$

$$\begin{bmatrix} N_x \\ N_y \\ N_z \end{bmatrix} = \begin{bmatrix} \Theta_{xx} & \Theta_{xy} & \Theta_{xz} \\ \Theta_{yx} & \Theta_{yy} & \Theta_{yz} \\ \Theta_{zx} & \Theta_{zy} & \Theta_{zz} \end{bmatrix} \begin{bmatrix} \omega_x \\ \omega_y \\ \omega_z \end{bmatrix}$$

$$\vec{N} = \underbrace{\Theta}_{\vec{\omega}}$$

tenzor: itt szimmetrikus \Rightarrow lítézik olyan i, j, k bázis, ahol diagonalis lesz (DIAGONALIZÁLHATÓ)

"Megfelelő" bázis = főtethetetlenségi rendszer,

Ezek a tengelyek a főtethetetlenségi tengelyek

Ekkor az alábbi alakot kapjuk:

$$\begin{bmatrix} N_x \\ N_y \\ N_z \end{bmatrix} = \begin{bmatrix} \Theta_{xx} & 0 & 0 \\ 0 & \Theta_{yy} & 0 \\ 0 & 0 & \Theta_{zz} \end{bmatrix} \begin{bmatrix} w_x \\ w_y \\ w_z \end{bmatrix}$$

$$N_x = \Theta_{xx} w_x$$

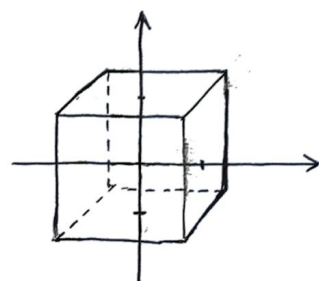
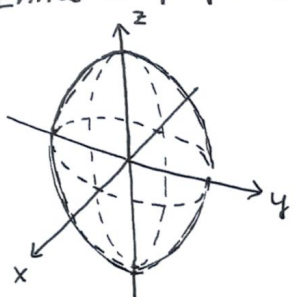
$$N_y = \Theta_{yy} w_y$$

$$N_z = \Theta_{zz} w_z$$

diagonális a tensor, (csak a fő átlóban vannak elemek)
→ devideciós nyomatékok nullák

Tethetetlenségi tensor meghatározza a tethetetlenségi ellipszoidot

Ennek tengelyei a főtethetetl. tengelyek



Szabad forgás:

- főtethetetlenségi tengely körül forgás $\rightarrow \vec{N} \parallel \vec{\omega}$, ha $\vec{\omega} = \vec{\alpha}u$. $\Rightarrow \vec{N}$ is áll.,
így egyszerűen foroghat
- TKP-n átmenő forgástengely
- stabil forgás csak max. vagy min. Θ -jú tengely körül

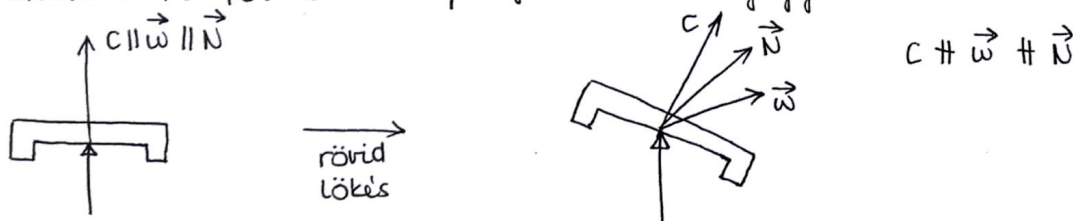
Erőmentes, szimmetrikus pörgettyű

pörgettyű • egy pontja rögzített

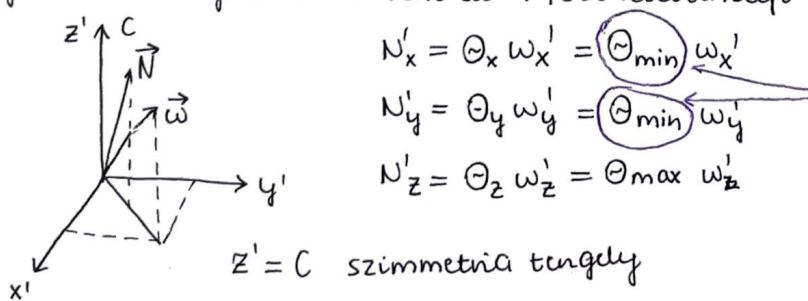
• bármely tengely körül foroghat

erőmentes: nem hat rá erő, forgató nyomaték $\vec{F} = 0$; $\vec{M} = 0 \rightarrow \vec{N} = \text{áll.}$

szimmetrikus: két főtethetetlenségi nyomatéka megegyezik



Forgó testhez rögzített K' rendszer: főtethetetlenségi rendszer



$$\begin{aligned} N'_x &= \Theta_x w'_x = \Theta_{\min} w'_x \\ N'_y &= \Theta_y w'_y = \Theta_{\min} w'_y \\ N'_z &= \Theta_z w'_z = \Theta_{\max} w'_z \end{aligned}$$

ugyanakkor áll.
 $\Rightarrow \vec{N} \parallel \vec{\omega}$ egy síkba esik

$z' = C$ szimmetria tengely

$$\Theta_{\min} = \Theta'_x = \Theta'_y < \Theta'_z = \Theta_{\max}$$

↑
test forgásszimmetrikus

$$\text{Segédtétel (volt): } \frac{d\vec{\omega}}{dt} \Big|_K = \frac{d\vec{\omega}}{dt} \Big|_{K'} + \vec{\omega} \times \vec{\omega}$$

Most $\vec{\omega} \cdot \vec{N}$

$$0 = \frac{d\vec{N}}{dt} \Big|_K = \frac{d\vec{N}}{dt} \Big|_{K'} + \vec{\omega} \times \vec{N} \rightarrow \frac{d\vec{N}}{dt} \Big|_{K'} = -\vec{\omega} \times \vec{N}$$

$$\frac{d\vec{N}}{dt} \Big|_{K'} = -\vec{\omega} \times \vec{N} = - \begin{vmatrix} \vec{i} & \vec{j} & \vec{k} \\ \omega'_x & \omega'_y & \omega'_z \\ N'_x & N'_y & N'_z \end{vmatrix} = -(\omega'_y N'_z - \omega'_z N'_y) \vec{i} - (\omega'_z N'_x - \omega'_x N'_z) \vec{j} - (\omega'_x N'_y - \omega'_y N'_x) \vec{k} =$$

$$= -(\omega'_y \omega'_z \Theta_{\max} - \omega'_z \omega'_y \Theta_{\min}) \vec{i} - (\omega'_z \omega'_x \Theta_{\min} - \omega'_x \omega'_z \Theta_{\max}) \vec{j} - (\omega'_x \omega'_y \Theta_{\min} - \omega'_y \omega'_x \Theta_{\min}) \vec{k}$$

$$\text{I: } \Theta_{\min} \frac{d\omega'_x}{dt} \Big|_{K'} = \frac{dN'_x}{dt} \Big|_{K'} = -\omega'_y \omega'_z (\Theta_{\max} - \Theta_{\min})$$

$$\text{II: } \Theta_{\min} \frac{d\omega'_y}{dt} \Big|_{K'} = \frac{dN'_y}{dt} \Big|_{K'} = -\omega'_x \omega'_z (\Theta_{\max} - \Theta_{\min})$$

$$\frac{dN'_z}{dt} = 0 \rightarrow N'_z \text{ állandó}$$

ω'_z állandó

$/: \Theta_{\min}$

$$\left. \begin{aligned} \frac{d\omega'_x}{dt} &= \frac{\Theta_{\max} - \Theta_{\min}}{\Theta_{\min}} \cdot \omega'_z & \omega'_y &= -\sqrt{\Omega_N} \cdot \omega'_z \\ \frac{d\omega'_y}{dt} &= \frac{\Theta_{\max} - \Theta_{\min}}{\Theta_{\min}} \cdot \omega'_z \cdot \omega'_x & \omega'_x &= -\sqrt{\Omega_N} \cdot \omega'_x \end{aligned} \right\} \text{csatolt differenciálegyenlet - rendszer}$$

$$\text{Megoldása: } \omega'_x = a \cdot \cos(\sqrt{\Omega_N} t + \varphi)$$

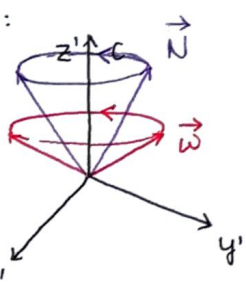
$$\omega'_y = a \cdot \sin(\sqrt{\Omega_N} t + \varphi)$$

Behelyettesítéssel:

$$\frac{d\omega'_x}{dt} = -a \sqrt{\Omega_N} \sin(\sqrt{\Omega_N} t + \varphi) = -\sqrt{\Omega_N} \omega'_y$$

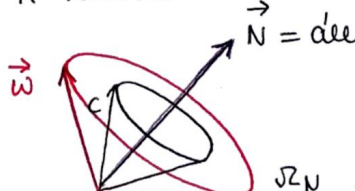
$$\frac{d\omega'_y}{dt} = a \sqrt{\Omega_N} \cos(\sqrt{\Omega_N} t + \varphi) = \sqrt{\Omega_N} \omega'_x$$

K' rendszer:



$\hookrightarrow z' = c$ szimmetriatengely körül
 \vec{N} és $\vec{\omega} - \sqrt{\Omega_N}$ szögsebességgel
 forog

K rendszer:



nutació: $\vec{\omega}$ és c forog $\sqrt{\Omega_N}$ szögsebességgel arányosan a \vec{N} körül

nutació szögsebessége:

$$\sqrt{\Omega_N} = \frac{\Theta_{\max} - \Theta_{\min}}{\Theta_{\min}} \omega'_z$$

Föld nutaciója

sugár: eggyenlítői $R_e = 6378 \text{ km}$, poláris $R_p = 6357 \text{ km}$

$$\Theta_{\max} = \frac{2}{5} m R_e^2, \quad \Theta_{\min} = \frac{1}{5} m (R_e^2 + R_p^2)$$

$$\hookrightarrow \frac{\Theta_{\max} - \Theta_{\min}}{\Theta_{\min}} \approx \frac{1}{300}$$

szögsebessége: $\omega_z' \approx \omega = \frac{2\pi}{T} = 2\pi \frac{1}{\text{nap}}$

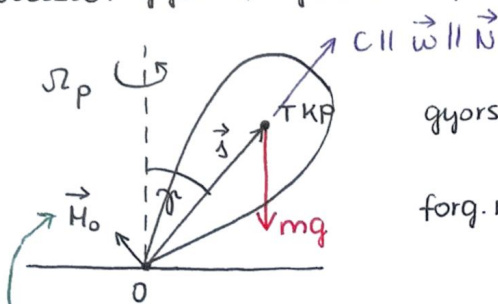
nutació periódusideje: $T_N = \frac{2\pi}{\sqrt{\Omega_N}} \approx 300 \text{ nap} (430 \text{ nap})$

a Föld
 \hookrightarrow Chandler-féle periódus (nugalmás test)

Súlyos, szimmetrikus, gyors pörgettyű

súlyos pörgettyű: hat rá különböző forgatónyomaték

↳ súlypont alatt általában a nehézségi erő fejt ki forgató nyom-t
precesszió: gyors forgásnál a pörgettyű forgástengelye kúppalást mentén körbejár

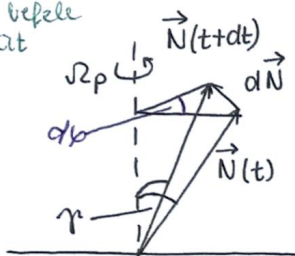


$$\text{gyors: } \boxed{\omega \gg \Omega_p} \Rightarrow \vec{N} \approx \Theta \vec{\omega} \Rightarrow \vec{N} \parallel \vec{\omega} \parallel C$$

jól közelítésre párhuzamos

$$\begin{aligned} \text{forg. nyom: } \vec{M} &= \vec{\omega} \times \vec{m} \vec{q} && \text{vízszintes irányú} \\ \vec{M} &= \frac{d\vec{N}}{dt} \rightarrow d\vec{N} = \vec{M} dt && \text{ez is vízszintes} \end{aligned}$$

sikba befelé mutat



$$d\vec{N} = \vec{M} dt$$

$$dN = M dt = mq_s \cdot \sin(\varphi) dt \quad (1)$$

$$dN = N \cdot \sin \varphi d\varphi \quad \text{ábra alapján} \quad (2)$$

$$(1), (2) \rightarrow mq_s \cdot \sin \varphi dt = N \cdot \sin \varphi d\varphi$$

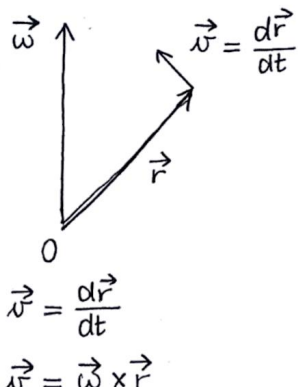
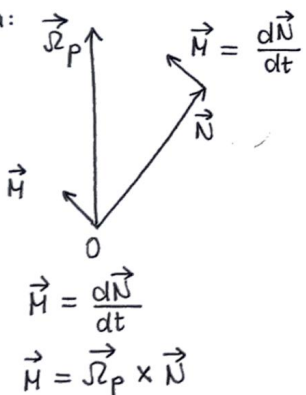
$$\boxed{\Omega_p = \frac{d\varphi}{dt} = \frac{mq_s}{N} = \frac{mq_s}{\Theta \omega}}$$

Megj.: • ha $s=0 \rightarrow \Omega_p=0$: tengely mentén általánsztás, erőmentes eset

$$\bullet \Omega_p \sim \frac{1}{\omega}$$

$$\bullet mq_s = N \cdot \Omega_p \rightarrow |\vec{M}| = |\vec{N} \times \vec{\Omega}_p|$$

Analogia:



Pörgettyű ellenhatása a környezetre: pörgettyű nyomaték

$$\vec{M}^* = -\vec{M} = -\vec{\Omega}_p \times \vec{N} = \vec{N} \times \vec{\Omega}_p$$

Példák

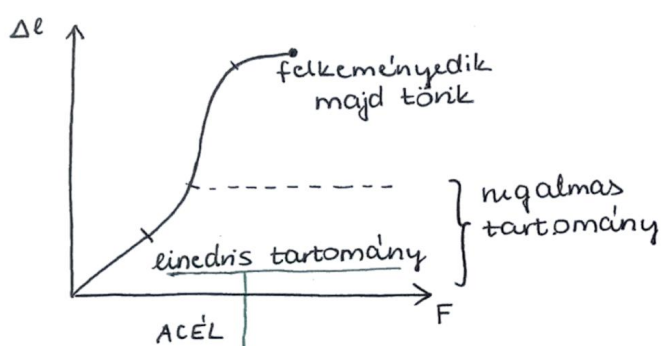
- giroskóp: különböző forg. nyom. nem véhető át a belső tengelyre
- diszkosz, frizbi: megfelelő pörgetéssel megtartja az irányát
- lövedék: forgó lövedék pályája kiszámíthatóbb
- bicikli: utánfutás stabilizálja + kerék tömegéből pörgettyűnyomaték

SZILÁRD TESTEK ALAKVÁLTOZA'SAI

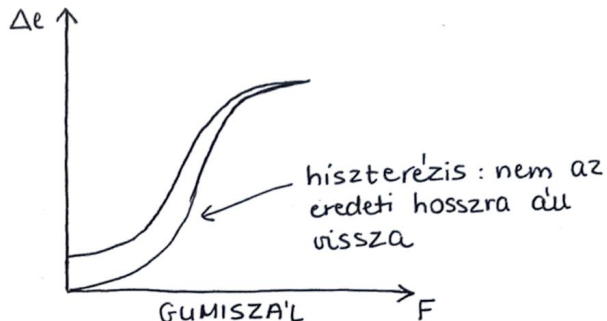
→ képlékeny: alakvált. után úgy marad
 → rugalmas: visszaáll eredeti alakjára

atomi
kontinuum - folyamatos

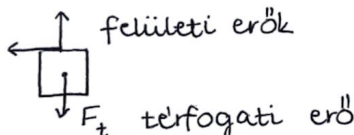
→ izotrop, homogén: nincs kitüntetett irány; hely szerinti azonosság
 → anizotróp, inhomogén: van kitüntetett irány, nem homogén



Hooke-törvény: $\Delta l \sim F$ rugalmatart. lineáris részére jó közelítéssel



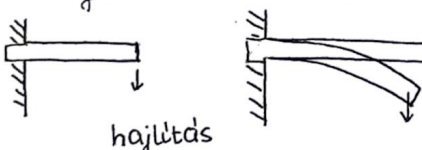
Erőtípusok:



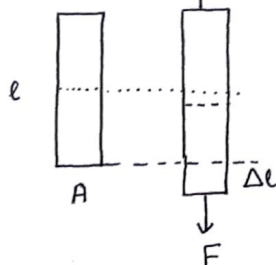
ELEMI DEFORMÁCIÓK

- nyíltás, összenyomás (1D) → harántirányú összehúzódás / kitalogulás
- kompresszió (3D összenyomás)
- nyírás: testen belüli szögek változtatása

Ezekkel összerakható:



Nyíltás (einedis)



- relatív megnyúltás (deformáció): $\varepsilon = \frac{\Delta l}{l}$ (szám)
- húzó/nyomófeszültség (mechanikai fesz.) $\sigma = \frac{F}{A}$ $[\sigma] = \frac{N}{m^2} = Pa$

$$\left. \begin{aligned} \Delta l &\sim F \\ \Delta l &\sim l \\ \Delta l &\sim \frac{1}{A} \end{aligned} \right\} \Delta l \sim \frac{l}{A} F \quad \left[\frac{\Delta l}{l} \sim \frac{F}{A} \right] \rightarrow \boxed{\varepsilon \sim \sigma}$$

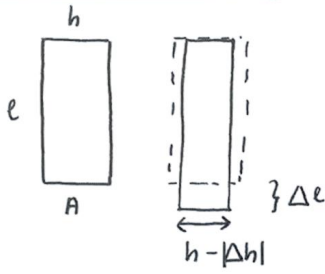
$$\Rightarrow \varepsilon = \frac{1}{E} \sigma, \quad \boxed{\sigma = E \cdot \varepsilon}$$

ahol E : Young-modulusz (anyagfüggő)

$$[E] = \frac{N}{m^2} = Pa$$

$$\text{acírás: } 2 \cdot 10^{11} Pa$$

Harántösszehúzódás



$$\Delta l > 0$$

$$\Delta h < 0$$

$$\Delta h \approx \frac{\Delta l}{e} \cdot h$$

$$\Delta h = -\mu \frac{\Delta l}{e} \cdot h$$

$$\frac{\Delta h}{h} = -\mu \varepsilon$$

ahol μ : Poisson-állandó / Poisson-szám
adott anyagra jellemző

$$\text{Eredeti térfogat: } V = l \cdot h^2$$

$$\text{Új: } V + \Delta V = (l + \Delta l)(h + \Delta h)^2$$

$$\Rightarrow \Delta V = l (1 + \varepsilon) h^2 (1 - \mu \varepsilon)^2 - l h^2 \approx l h^2 (1 + \varepsilon - 2\mu \varepsilon - 1) = V \varepsilon (1 - 2\mu)$$

$$\frac{\Delta V}{V} = \varepsilon (1 - 2\mu) > 0 \rightarrow \text{Poisson-számra feltétel: } 0 < \mu < \frac{1}{2}$$

acélra: $\mu \approx \frac{1}{3}$

ε elsőrendű közelítés: $\varepsilon \ll 1$ esetén $(1 + \varepsilon)^n$ arányára:

$$(1 + \varepsilon)^2 = 1 + 2\varepsilon + \varepsilon^2 \approx 1 + 2\varepsilon$$

$$(1 + \varepsilon)^n \approx 1 + n\varepsilon$$

$$\sqrt{1 + \varepsilon} \approx 1 + \frac{\varepsilon}{2}$$

$$(1 + \varepsilon)(1 + \delta) \approx 1 + \varepsilon + \delta$$

L

Kompresszió

$$\frac{\Delta V}{V} = -K \cdot p = -\frac{1}{K} p = +3\varepsilon(1 - 2\mu)$$

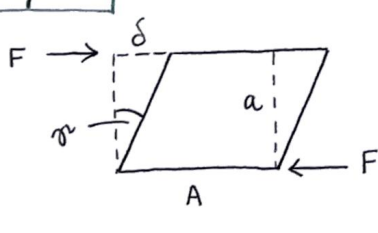
K : kompresszivitás

p : rd. ható nyomás $p = -\sigma$

$$3\varepsilon(1 - 2\mu) = -\frac{1}{K} p = \frac{1}{K} E\varepsilon \rightarrow K = \frac{E}{3(1 - 2\mu)}$$

K : kompressziómodulus

Nyírás



- nyírasi szög: $\gamma = \frac{\delta}{a}$

- nyírófeszültség: $\tau = \frac{F}{A}$ $[\tau] = \frac{N}{m^2} = Pa$

$$\left. \begin{array}{l} \sigma \sim F \\ \delta \sim a \\ \delta \sim \frac{1}{A} \end{array} \right\} \frac{\delta}{a} \sim \frac{F}{A} \rightarrow \boxed{\gamma \sim \tau}$$

$$\Rightarrow \gamma = \frac{1}{G} \tau, \quad \boxed{\tau = G \cdot \gamma}$$

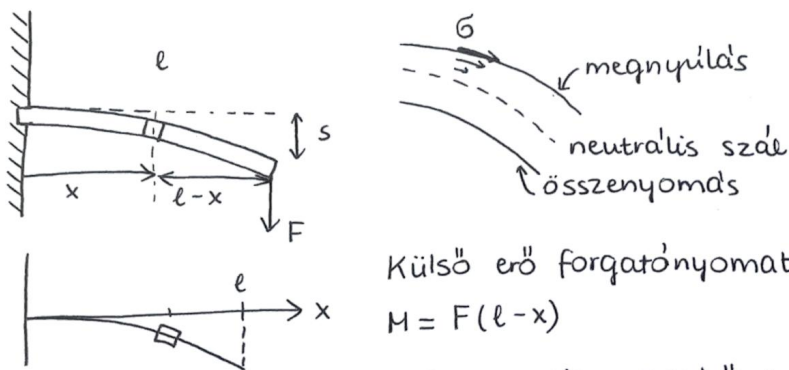
ahol G : nyírási modulus, $[G] = \frac{N}{m^2} = Pa$

$$G = \frac{E}{2(1 + \mu)}$$

Feltétel G -re: $\frac{E}{3} < G < \frac{E}{2}$

acélra: $8 \cdot 10^{10} Pa$

Osszetett deformációk - Lehajla's



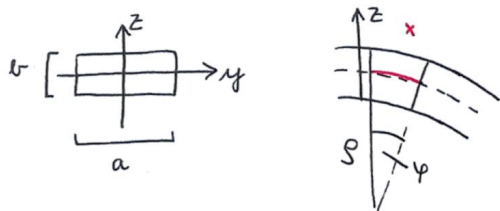
Ezzel tart egysülyt a nélkülbeljelen felülpöörő húzó- és nyomófesz.-ek forg. nyom-a:

$$M = \int_A G \cdot z \, dA = \int_A E \cdot \frac{z^2}{S} \, dA = \int_{-\frac{b}{2}}^{\frac{b}{2}} \frac{Ea}{S} z^2 \, dz = \frac{E \cdot a}{3S} \frac{b^3}{4} = \frac{E}{S} \frac{ab^3}{12}$$

Keresztmetszeti nyomaték:
 keresztmetszettől függ:

$$I = \int_A z^2 \, dA$$

$$I_{\square} = \frac{ab^3}{12}$$



$$\text{Jó közelítéssel: } \frac{1}{S} \approx \frac{d^2 y}{dx^2}$$

Egyensúly a forg. nyomokra:

$$F(l-x) = EI \frac{d^2 y}{dx^2}$$

$$d^2 y = \frac{F}{EI} (l-x) dx^2$$

$$dy = \frac{F}{EI} \left(lx - \frac{x^2}{2} \right) dx$$

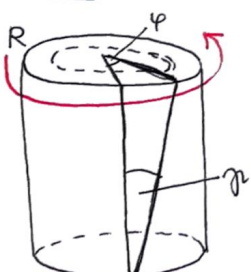
$$y(x) = \frac{F}{EI} \left(lx^2 - \frac{x^3}{6} \right) \quad \text{görbe egyenlete}$$

$$\text{A nélkülbeljelen: } x=l \text{ helyen } s = \frac{Fl^3}{3EI} = y(l)$$

$$\text{Téglalap keresztmetszet esetén: } s_{\square} = \frac{4Fl^3}{Eab^3} \quad (I = \frac{ab^3}{12})$$

Csavarás

$$M \sim \varphi$$



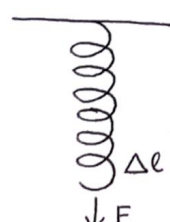
körgyűrűkre osztjuk fel

Csavaró forgatónyomaték:

$$M = \frac{\pi G R^4}{2l} \varphi$$

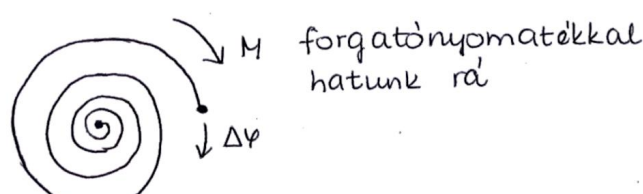
D^* torziós szál visszatérítő nyomatéka

Példák: csavarugó és spirálegő



CSAVARA'S

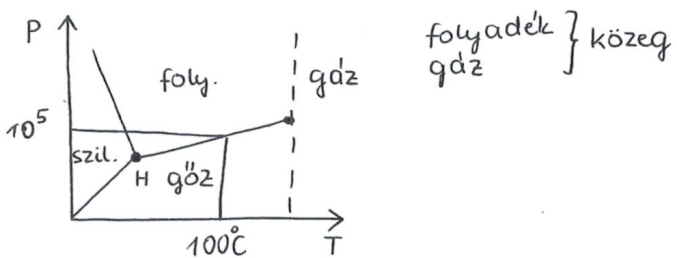
G csavarodik,
 nyírófeszültségeq
 elp fel



HAELITA'S

E, húzó-, nyomófeszültség
 elp fel

FOLYADEKOK ÉS GA'ZOK

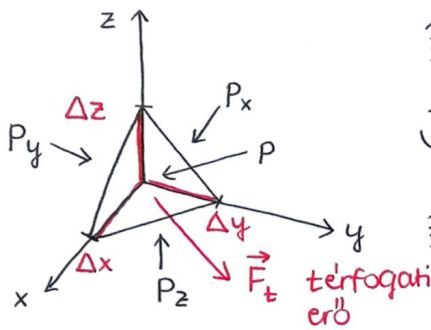


foly.: nagyobb S , van szabad felülete
 gáz: kisebb S

felületi jelenségek

HIDROSZTATIKA

A nyomás irányfüggelensege



$$\begin{aligned} & \frac{1}{2} \Delta y \Delta z \vec{P}_x i + \frac{1}{2} \Delta x \Delta z \vec{P}_y j + \frac{1}{2} \Delta x \Delta y \vec{P}_z k + \\ & + \frac{1}{2} (\Delta z \vec{k} - \Delta x \vec{i}) \times (\Delta y \vec{j} - \Delta x \vec{i}) p + \vec{F}_t = 0 \end{aligned}$$

felületi erők

$$\frac{1}{2} \Delta y \Delta z (\vec{P}_x - p) i + \frac{1}{2} \Delta x \Delta z (\vec{P}_y - p) j + \frac{1}{2} \Delta x \Delta y (\vec{P}_z - p) k + \vec{F}_t = 0$$

terfogati erő

$\Delta x \rightarrow 0$
 $\Delta y \rightarrow 0$
 $\Delta z \rightarrow 0$

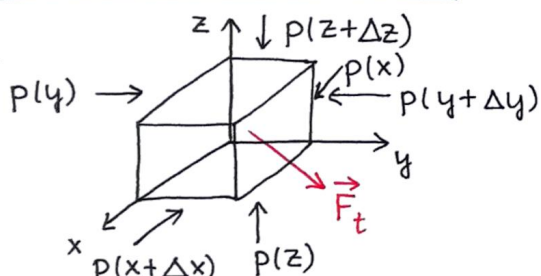
elhanyagolható,
gyorsabban tart 0-hoz
(harmadrendű)

A baloldal csak akkor lehet nulla, ha minden tagja nulla, így

$$P_x = P_y = P_z = p$$

terfogatdarab egyensúlya : hidrosztatika

A nyomás helyfüggelensege



$$\begin{aligned} & (p(x) - p(x+\Delta x)) \Delta y \Delta z \vec{i} + (p(y) - p(y+\Delta y)) \Delta x \Delta z \vec{j} + \\ & + (p(z) - p(z+\Delta z)) \Delta x \Delta y \vec{k} + \vec{F}_t = 0 \end{aligned}$$

$$-\left[\frac{\partial p}{\partial x} \cdot dV \vec{i} + \frac{\partial p}{\partial y} \cdot dV \vec{j} + \frac{\partial p}{\partial z} \cdot dV \vec{k} \right] + \vec{F}_t = 0$$

$$\frac{d\vec{F}_t}{dV} = \frac{\partial p}{\partial x} \vec{i} + \frac{\partial p}{\partial y} \vec{j} + \frac{\partial p}{\partial z} \vec{k} = \text{grad } p = \vec{\nabla} p$$

Azaz a nyomásgradiens egyenlő az egységnyi terfogatra csökkentő terfogati erővel.

Pascal-törvény: $\vec{F}_t = 0 \Rightarrow \text{grad } p = 0$ azaz $p = \text{állandó}$

↳ alkalmazás: hidraulikus csövök
hidraulikus fejek

Hidrosztatikai nyomás

A folyadékra a nehezségi erő hat. Elémi ΔV terfogatra ható terf.-i erő:

$$\vec{F}_t = -g \Delta V \cdot q \cdot \vec{k}$$

$$m = g \Delta V$$

$$\frac{d\vec{F}_t}{dV} = -g q \vec{k} = \text{grad } p = \frac{dp}{dz} \vec{k}; \quad \frac{\partial p}{\partial x} = 0, \quad \frac{\partial p}{\partial y} = 0$$

$$-g q = \frac{dp}{dz} \rightarrow p(z) = p_0 - g q z$$

$h = -z$ jelöléssel: (h : felszintől a mélység)

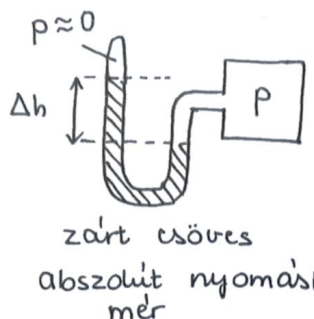
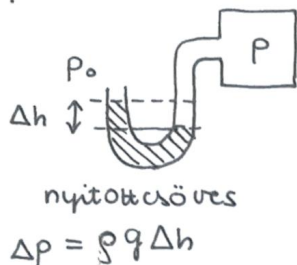
$$p(h) = p_0 + g q h$$

p_h hidrosztatikai nyomás

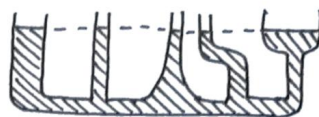
$p_0: z=0$ helyen lévő nyomás



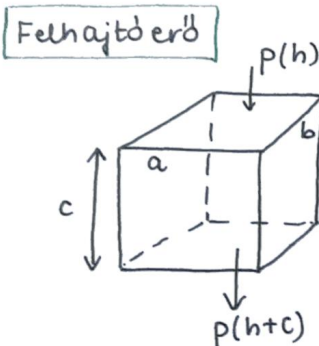
Nyomásmérés:



Közlekedő edény:



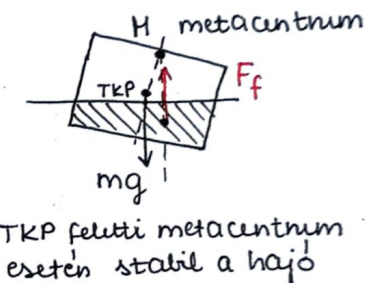
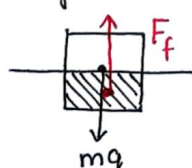
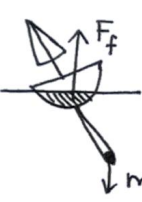
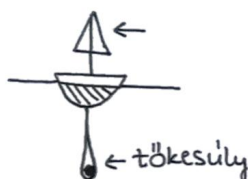
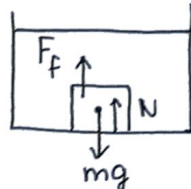
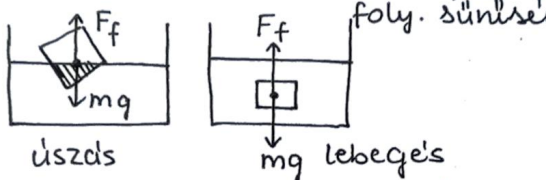
- üvegedény - foly. között & kölcsönhatás
- csövek ne legyenek túl vékonyak



$$p(h+c) \cdot ab - p(h)ab = \\ = (p_0 + \rho g(h+c))ab - (p_0 + \rho g h)ab = \rho g V$$

$$\Rightarrow F_f \text{ felhajtóerő: } F_f = \rho_f g V$$

foly. sűrűsége



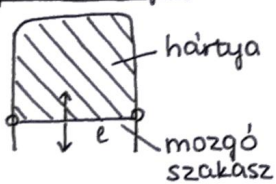
FELÜLETI JELENSÉGEK

A felület lassabban csökken, mint a terffogat \rightarrow kisebb méretekkel felületi jelenségek fontosabbá, jelentősebbé válnak

Pl. víz

rovar lába a vízen

Folyadékhártya:



hártya által a mozgó részre kifejtett erő:

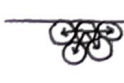
$$F_h = 2\ell\sigma, \text{ ahol } \sigma : \text{felületi feszültség } \sigma = \frac{\Delta F}{\Delta \ell}$$

$$[\sigma] = \frac{N}{m}$$

$$\sigma = \frac{F}{2\ell}$$

2-es szorzó: hártyának 2-felülete van

Konézió: részecskek közötti ható vonzere \rightarrow rövidtávú erő, "sah a szomszédjára"



többi részhez húzza

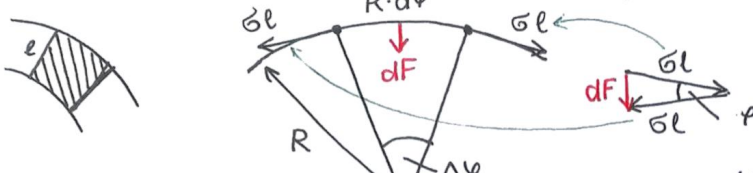
felület minimális legyen
(energetikailag legkedvezőbb)

Felületi energia: $W = F \cdot \Delta x = 2\ell \cdot \sigma \cdot \Delta x = \sigma \cdot \Delta A = \Delta E$

\rightarrow felületi energiasűrűség:

$$\sigma = \frac{\Delta E}{\Delta A}$$

Görbületi nyomás



$dF = 6l \cdot \psi$ erő hat a felületdarabra

$$dF \text{ erőből származó görbületi nyomás: } p_g = \frac{6l \Delta \psi}{l R \Delta \psi} = \frac{6}{R}$$

általánosan: $p_g = 6 \left(\frac{1}{R_1} + \frac{1}{R_2} \right)$

R_1, R_2 : max. ill. min. görbületű részhez tartozó fél görbületi sugarak

gömb: $R_1 = R_2 = R$ $p_g = \frac{6}{R}$

szappanbuborék: minden folyadékfelülről okoz p_g -t: $\Rightarrow p_g = \frac{6}{R}$

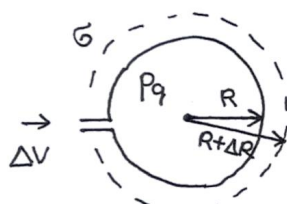
Megj. / kísérlet:

-
- Tükrözéki, fa

kisebb buborékban (kisebb R) nagyobb a nyomás, így a levegő a nagyobba áramlik

negatív nyomás alakul ki, a fa felülről a vizet magasra is

Görbületi nyomás másik levezetése:



tér fogatnöveléshez szükséges munka:

$$W = p_g \cdot \Delta V = p_g \cdot A \cdot \Delta R = p_g \cdot 4R^2 \pi \cdot \Delta R$$

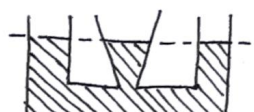
felületi energia migrálata:

$$\Delta E = 6 \cdot \Delta A = 26 (4 \cdot (R + \Delta R)^2 \pi - 4R^2 \pi) \approx 2 \cdot 6 \cdot 8 \cdot R \cdot \Delta R \cdot \pi =$$

$$= 16 \cdot R \cdot \pi \cdot 6 \cdot \Delta R$$

$$\Rightarrow W = \Delta E \rightarrow p_g = \frac{16 R \pi 6 \Delta R}{4 R^2 \pi \Delta R} = \frac{46}{R}$$

Kapilláris jelenségek



felületi jelenségek elhanyagolhatóak

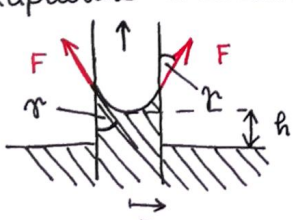
illeszkedési szög: γ

Oka:

• köhezió: folyadékban belüli összetartó erő

• adhezió: folyadék és szilárdság közötti vonzó erő

Kapilláris emelkedés: nedvesítő folyadék esetén



$$F_f = 2r\pi \gamma \cos \gamma - \text{folyadék peremén fellépő erők}$$

$$F_g = r^2 \pi h \cdot g \cdot \rho - \text{foly. súlya}$$

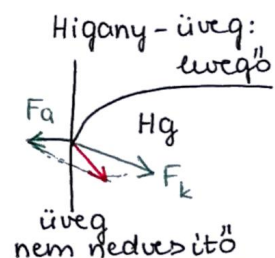
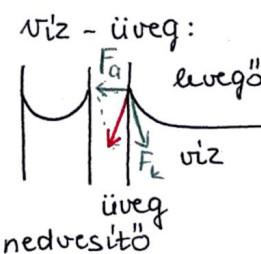
$$F_f = F_g \rightarrow h = \frac{2\gamma \cos \gamma}{\rho g r}$$

Másik gondolatmenet: görbületi nyomás kiegészíti a szabad hidrosztatikus nyomást

$$R = \frac{r}{\cos \gamma} \rightarrow p_g = -\frac{2\gamma}{R} = -\frac{2\gamma \cos \gamma}{r}$$

$$p_g + p_h = 0 \rightarrow \rho g h = \frac{2\gamma \cos \gamma}{r}$$

$$h = \frac{2\gamma \cos \gamma}{\rho g r}$$

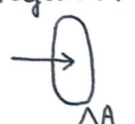


A'RAMLA'S

- van belső súrlódás
- áramlás \rightarrow súrlódásmentes (közelítés)
- leírása \rightarrow atomi (egyes részecskék nyomonkövetése)
- közeg jellemzői a hely és idő függvényében, pl.: $v(\vec{r}, t)$
- stacionárius áramlás: $\vec{v}(\vec{r})$ egyenletes áramlás, időfüggetlen
- áramlási tér / sebességter: $\vec{v}(\vec{r}, t)$ - vektortér



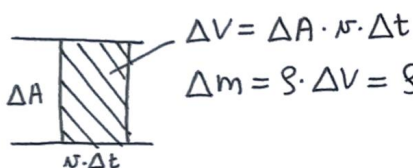
Tömegáramerősség: $I_m = \frac{\Delta m}{\Delta t}$ tetsz. keresztmetszeten Δt alatti átáramló Δm tömeg
 Tér fogata áramerősség: $I_v = \frac{\Delta V}{\Delta t}$ — " — " — " — ΔV térfogat
 Tömegáram - sűrűség:



$$\frac{\Delta I_m}{\Delta A} = j_m = \rho \cdot v$$

$$\text{vektormennyiségeg: } \vec{j}_m = \rho \cdot \vec{v}$$

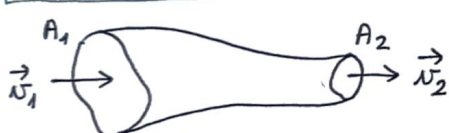
$$I_m = \int_A \rho \cdot \vec{v} dA$$



$$\Delta V = \Delta A \cdot v \cdot \Delta t$$

$$\Delta m = \rho \cdot \Delta V = \rho \cdot \Delta A \cdot v \cdot \Delta t$$

Kontinuitási egyenlet



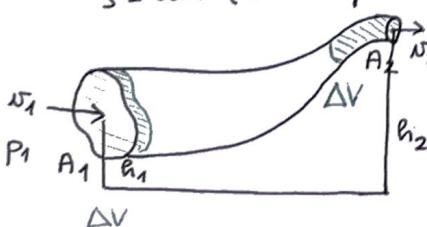
Ha $dA \parallel \vec{v}$ (\vec{v} merőleges a felületekre), akkor a vektorok nagyságával számolhatunk.
 Ha ρ, v a cső keresztmetszete mentén állandó, akkor integrál helyett ezt írhatjuk:

$$\text{Ha } \rho_1 = \rho_2 = \rho : \boxed{\rho_1 A_1 = \rho_2 A_2} \quad \text{kontinuitási egyenlet}$$



Bernoulli - egyenlet

Tf. súrlódásmentes folyadék \rightarrow nincsenek dissipatív erők, nem konzervatív munkák \Rightarrow mechanikai energiamegmaradás
 stacionárius áramlás
 ρ = áll. (összenyomhatatlan közeg)



Környezet által a közegen végett munka:

$$W = (P_1 - P_2) \Delta V$$

Mechanikai energia:

$$E_1 = \frac{1}{2} \rho \Delta V v_1^2 + \rho \Delta V \cdot g \cdot h_1$$

$$E_2 = \frac{1}{2} \rho \Delta V v_2^2 + \rho \Delta V \cdot g \cdot h_2$$

$$\Delta V_1 = \Delta V_2 = \Delta V, \quad \Delta V = A_1 v_1 \cdot \Delta t = A_2 v_2 \cdot \Delta t$$

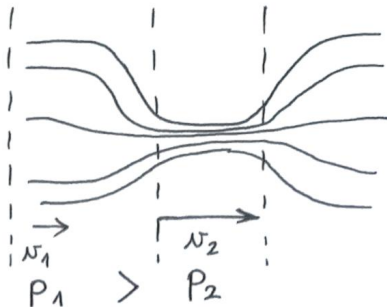
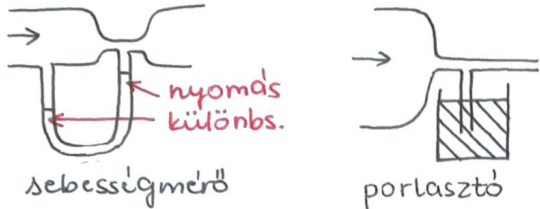
$$\text{Munkatétel: } W = E_2 - E_1$$

$$(P_1 - P_2) \Delta V = \frac{1}{2} \rho \Delta V (v_2^2 - v_1^2) + \rho g \Delta V (h_2 - h_1)$$

$$P_1 + \frac{1}{2} \rho v_1^2 + \rho g h_1 = P_2 + \frac{1}{2} \rho v_2^2 + \rho g h_2$$

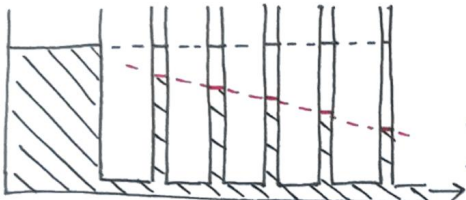
$$\Rightarrow \text{Bernoulli - egyenlet: } \boxed{P + \frac{1}{2} \rho v^2 + \rho g h = \text{áll.}} \rightarrow \text{csak súrlódásmentes közelítésben!}$$

$$\text{Ha } h_1 = h_2 : \quad p + \frac{1}{2} \rho v^2 = \text{áll.}$$



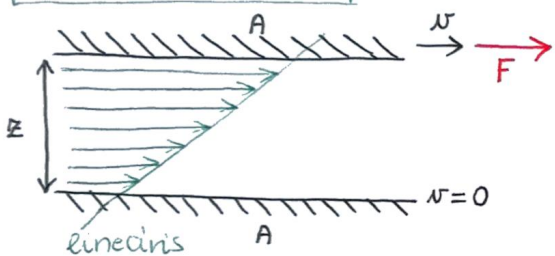
$$P_1 > P_2 \\ \downarrow \\ v_1 < v_2$$

Súrlódásos áramlás



- belső súrlódás - viszkozitás: elmozduló részek között nyírfeszültség → relatív sebességet csökkenti
- viszkozus közegben a Bernoulli - tör. nem igaz
- nagy viszkozitású anyag: üveg, szilikon

Lamináris áramlás



felső réteget F erővel állando v-vel mozgatjuk

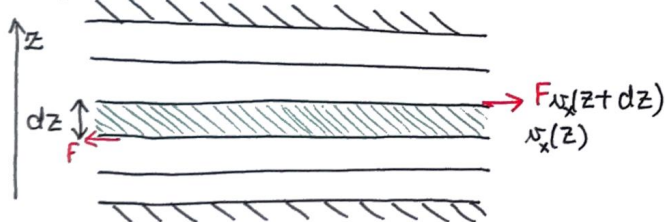
$$\left. \begin{array}{l} F \sim A \\ F \sim v \\ F \sim \frac{1}{Z} \end{array} \right\}$$

$$F = \eta \frac{A \cdot v}{Z}$$

$$[\eta] = \frac{\text{kg}}{\text{sm}} = \text{Pas}$$

anyagra jellemző állando viszkozitás

Rétegekre osztjuk a folyadékot, a lapok elcsúsznak egymáson, a belső súrlódás a rétegek között hat. A rétegek közötti ható erő miatt adott lap felüli árt gyorsítja, alatta lassítja.



$$F = \eta \frac{dv_x}{dz} A$$

τ : nyírfeszültség

Newton-féle súrlódási törény:

$$\tau_x = \eta \frac{dv_x}{dz}$$

$$[\tau] = \frac{N}{m^2} = \frac{\text{kg} \cdot \text{m}}{\text{s}^2 \text{m}^2}$$

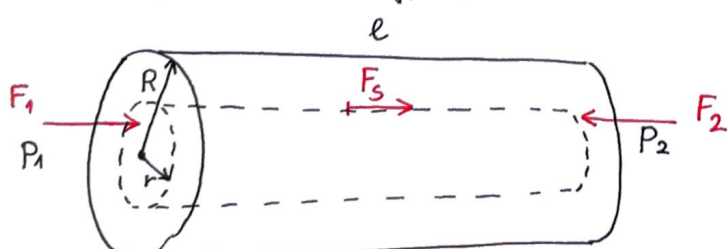
$$\text{A seb. gradiens állando: } \frac{dv_x}{dz} = \frac{v_0}{Z_0} \rightarrow v_x(z) = \frac{v_0}{Z_0} \cdot z$$

Newtoni folyadék: elegendően rövid a fenti törény.

Nem-newtoni foly.: kolloid oldatok pl. keménypítőből, ezeknél η nem állando.

Hagen-Poiseuille-törény

hengercsőben milyen a sebességprofil?



F_s : folyadék belső súrlódása

F_1, F_2 : külső nyomásból származó erők

Stacionárius áramlás ($v = \text{áll.}$) \Rightarrow erők eredője nulla:

$$\underbrace{P_1 r^2 \pi}_{} - \underbrace{P_2 r^2 \pi}_{} + \underbrace{2r \pi l \eta \frac{dv}{dr}}_{A \tau} = 0$$

$F_1 \quad F_2 \quad A \tau \quad F_s$

Rendezzük az egyenletet: $\frac{dv}{dr} = -\frac{P_1 - P_2}{2 \rho \eta} \cdot r$ szeparálnató diffegyenlet

$$dv = -\frac{P_1 - P_2}{2 \rho \eta} r dr$$

az egyenlet megoldása: $v(r) = -\frac{P_1 - P_2}{2 \rho \eta} \cdot \frac{r^2}{2} + C \Rightarrow v(r) = \frac{P_1 - P_2}{4 \rho \eta} (R^2 - r^2)$

határfeltétel: $v(R) = 0 \rightarrow C = \frac{P_1 - P_2}{2 \rho \eta} \cdot \frac{R^2}{2}$

forgási paraboloid
 a sebességeleszlás
 • $v_{max} = v(0) = \frac{P_1 - P_2}{4 \rho \eta} \cdot R^2$
 • szélén: $v = 0$

tömegáram - erősség: időegység alatt átáramló foly. mennyiségeq

$$I_m = \int_A \vec{f}_m dA = \int_A \vec{g} v dA = \int_0^R \int_{\text{körgyűrű}} 2r \pi dr = \frac{P_1 - P_2}{4 \rho \eta} \int_0^R 2 \pi \cdot \int_{\text{területe}} (R^2 - r^2) dr =$$

$$= \frac{(P_1 - P_2) 8 \pi}{8 \rho \eta} \cdot R^4$$

Hagen-Poiseuille-törvény

térfojtáram: $I_v = \frac{I_m}{S}$

közeg átlagos sebessége: $v_{atl} = \frac{I_v}{A} = \frac{(P_1 - P_2) \pi R^4}{8 \rho \eta R^2 \pi} = \frac{P_1 - P_2}{8 \rho \eta} R^2$

↳ megj.: ez a maximális seb. fele!

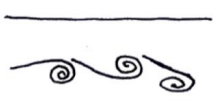
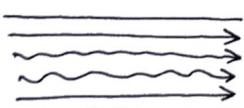
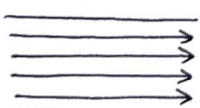
Analógia az elektromos árámmal

feszültség	U	$ $	Δp	nyomáskülönbség
áram	I	$ $	I_v	térfojtáram
ellenállás	$R = \frac{U}{I}$	$ $	$ R = \frac{\Delta p}{I_v} = \frac{8 \rho \eta}{\pi R^4}$	cső viszkozus ellenállása
	$R = \frac{l}{\rho \frac{r^2}{\pi}}$	$ $		

Közegben mozgó testre ható erők

Turbulens áramlási

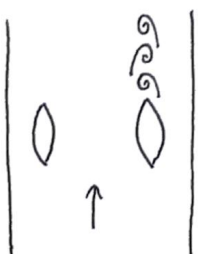
stacionárius áramlási: kis idő után az áramlási képe ugyanolyan sebességet növelve:



turbulens örvényes áramlási

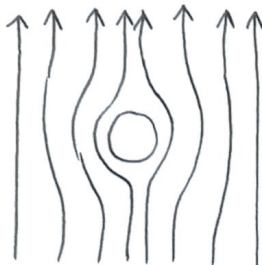
Reynolds-szám: $Re = \frac{v s r}{\eta}$ dimenziótlan

↳ ha a szám megegyzik, a kit áramlási hasonló
 ↳ hengeres csönnél $Re \geq 1200$ esetén turbulens



Közegellenállás a közeg akadályozza az abban mozduló test mozgását

(1) VISZKOZITÁSBÓL SZÁRMAZÓ



- Kis sebességeknél ($Re < 1200$) lamináris a test körelle
- közegell. oka a belső súrlódás $\Rightarrow F \sim r^2$, $F \sim M$
- Nagyon kis sebességnél ($Re < 1$) e's gömb esetén:

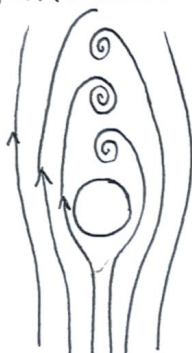
$$F_k = 6\pi\eta \cdot r \cdot v$$

Stokes - törvény

gömb sugara

↑ Megj.: a közeg nagyon nagy kiterjedése esetén igaz!

(2) TURBULENCIA'BÓL SZÁRMAZÓ



- a fekézőrőt az örvények okozzák: hatul a Bernoulli - törv. miatt a nagy sebességek alacsony nyomást okoznak, a testet ez visszahúzza
- $F \sim v^2$

$$F_k = \frac{1}{2} C \rho A v^2$$

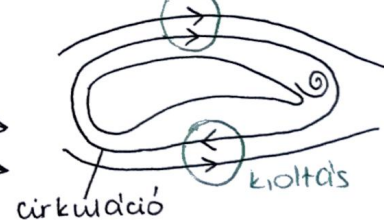
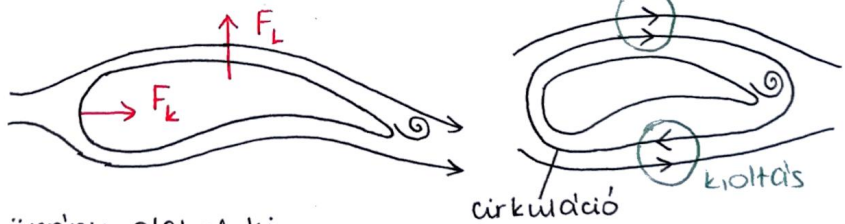


viharban a cserép sérülése

Aerodinamikai felhajtóerő

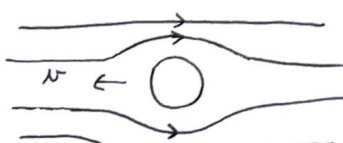
- mozgás irányára merőleges
- OKA: szárny speciális alakja

↓
hatál drámatikálisan ellentétes ir. örvény alakul ki
ezzel ellentétes ir. zárt örvény körül. a perdületmegmaradás miatt
alatta - felette lévő örvénnyel szuperponálódik
felül nagyobb sebesség → kisebb nyomás → felhajtóerő

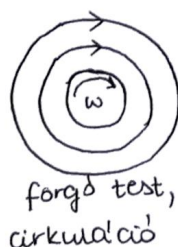


Magnus - effektus

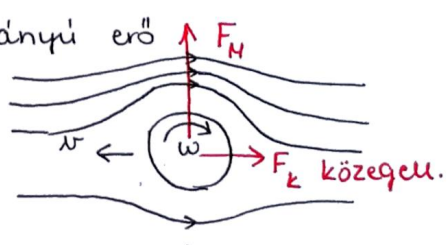
- haladó e's forgó mozgást végező testekre ható oldalirányú erő



haladó test,
szimmetrikus áramlás



forgó test,
cirkuuláció



haladó e's forgó test
(felülnézet)

a kétfélé áramlás szuperponálódik, az egyik oldalon nagyobb sebességi áramlás alakul ki → kisebb nyomás (Bernoulli) → oldalirányú erő

REZGÉSEK

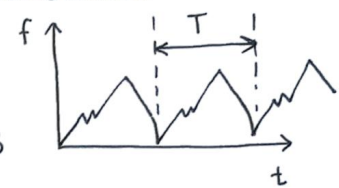
rezgés: valamelyen mennyiségeq egy adott intervallumon belüli változása

periodikus rezgés: $f(t) = f(t+T)$

periódusidő: legkisebb pozitív T , $[T] = s$

harmonikus rezgés: időbeli változást harmonikus függvény írja le

↳ természetben gyakran előfordul, Fourier sor: rezgés összerakható harmonikus rezgésekből



Szabad harmonikus rezgés

Kitérés az idő függvényében: $x(t) = A \cdot \sin(\omega t + \varphi)$

A : rezgés amplitúdója, maximális kitérés $[A] = m$

ω : körfrekvencia $\omega = \frac{2\pi}{T}$ $[\omega] = \frac{1}{s}$

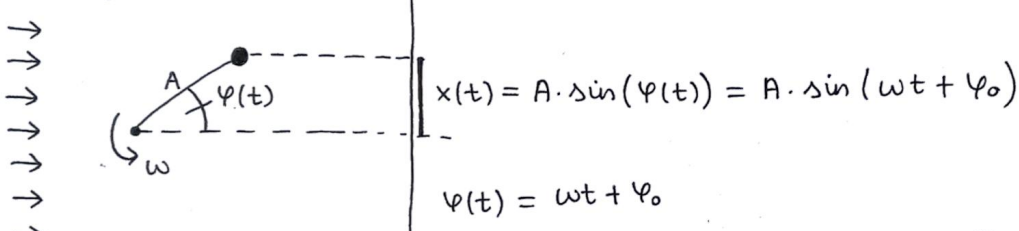
ν : frekvencia $\nu = \frac{1}{T} = \frac{\omega}{2\pi}$ $[\nu] = \frac{1}{s} = Hz$ (időegység alatt hány rezgés)

φ : kezdőfázis (időtengely mentén eltolás)

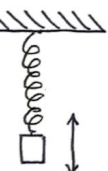
$x(t) = A \cdot \cos(\omega t + \varphi)$ egyenrangú felirás, φ' kezdőfázis más ($\varphi' = \varphi - \frac{\pi}{2}$)

További egyenrangú felirás azonosságok alapján: $x(t) = A_1 \sin \omega t + A_2 \cos \omega t$

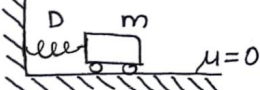
Körmozgás vetülete:



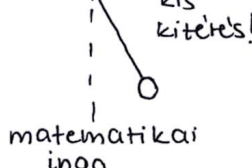
Példák: ①



②



③



④



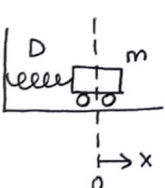
torziós rezgés
 $\psi(t)$ -re!

⑤ feszültsegéq (hidrolági)

$$u(t) = \hat{v} \sin(\omega t + \varphi)$$

Kinematika:

$$x(t) = A \cdot \sin(\omega t + \varphi)$$



$$v(t) = \frac{dx}{dt} = A \cdot \omega \cos(\omega t + \varphi)$$

$$a(t) = \frac{dv}{dt} = \frac{d^2x}{dt^2} = -A\omega^2 \sin(\omega t + \varphi) = -\omega^2 x(t)$$

testre ható erő: $\sum F(t) = m \cdot a_x(t) = -m\omega^2 x(t)$ visszateíró erő: $F \sim -x$

Dinamika:

$F = -Dx$ Hook-törvénynek engedelmesítő rugó, rugós

Mozgásegyenlet: $-Dx = ma$ differenciálegyenlet

Rendezve:

$$\frac{d^2x}{dt^2} + \frac{D}{m} x = 0$$

↳ másodrendű

↳ lineáris

↳ homogen

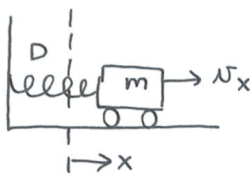
detalainos megoldás: $x(t) = A \sin(\omega t + \varphi)$

$$\omega: \text{rendszerrel függ: } \omega = \sqrt{\frac{D}{m}}$$

A, φ : kezdeti feltételektől függnek

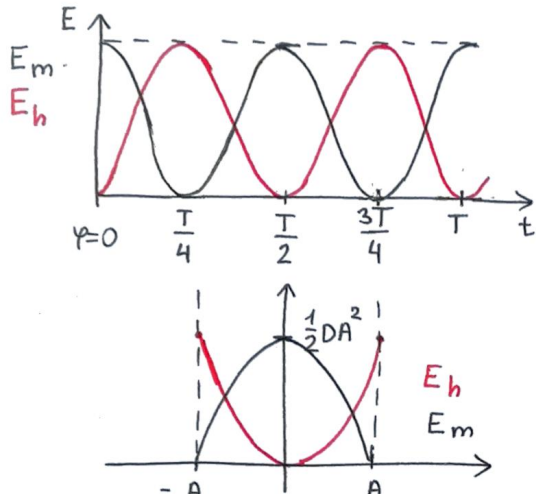
$x(0)$ } 2db feltételből
 $v_x(0)$ } meghatározható

Energetikai viszonyok (szabad harm. rezgés):

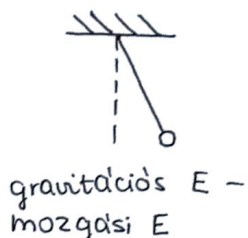
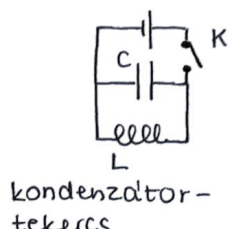


teljes mechanikai energia: → IDŐBEN ÁLLANDÓ!

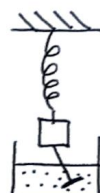
$$E(t) = E_m - E_h = \frac{1}{2} m v_x^2 + \frac{1}{2} D x^2 = \\ = \frac{1}{2} m (A \omega \cos(\omega t + \varphi))^2 + \frac{1}{2} D (A \sin(\omega t + \varphi))^2 = \\ = \frac{1}{2} m A^2 \omega^2 \cos^2(\omega t + \varphi) + \frac{1}{2} D A^2 \sin^2(\omega t + \varphi) = \frac{1}{2} D A^2$$



- egy T alatti 2-szer adják oda-vissza az E-t
- rezgés akkor alakul ki, ha van két energiaforma, amelyek egymásnak átadhatják az energiát és vissza



gravitációs E - mozgási E



Csillapított rezgés

idővel az A amplitúdó csökken, rezgés megtáll F_k csillapítási erő pl. súrlódás, közegellenártás

most: $F_k \sim -v$ → pl. viszkozitás, mozgó mágnes okozta önényáramos csillapítás
 $F_k = -k v$

Mozgásegyenlet $m \cdot a_x = -Dx - k v_x$

$$a_x + \frac{k}{m} v_x + \frac{D}{m} x = 0 \rightarrow \frac{D}{m} = \omega_0^2$$

$$\frac{d^2 x}{dt^2} + 2\beta \frac{dx}{dt} + \omega_0^2 x = 0$$

$$\frac{k}{m} = 2\beta$$

rezgésre jellemző oszillációra jellemző mennyiségek

$$[\omega_0] = \frac{1}{s}$$

$$[\beta] = \frac{1}{s}$$

Próbafür: $e^{\lambda t} = x(t)$ $\lambda \in \mathbb{C}$

Behelyettesítve: $\lambda^2 e^{\lambda t} + 2\beta \lambda e^{\lambda t} + \omega_0^2 e^{\lambda t} = 0$

$$(\lambda^2 + 2\beta\lambda + \omega_0^2) e^{\lambda t} = 0 \quad e^{\lambda t} \neq 0 \quad (e^{\lambda t} > 0)$$

Egyenlítés után: $\lambda^2 + 2\beta\lambda + \omega_0^2 = 0$

$$\lambda_{1,2} = \frac{-2\beta \pm \sqrt{4\beta^2 - 4\omega_0^2}}{2} = -\beta \pm \sqrt{\beta^2 - \omega_0^2}$$

ha $\beta > \omega_0$ tilcsillapított (1)

$\beta = \omega_0$ határeset (2)

$\beta < \omega_0$ gyengén csillapított (3)

$$(1) \quad \lambda_1 = -\beta + \sqrt{\beta^2 - \omega_0^2} = -\beta_1$$

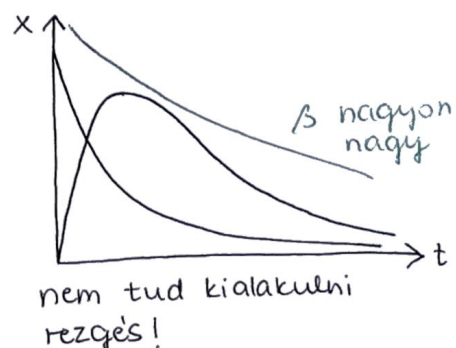
$$\beta_1 = \beta - \sqrt{\beta^2 - \omega_0^2}$$

$$\lambda_2 = -\beta - \sqrt{\beta^2 - \omega_0^2} = -\beta_2$$

$$\beta_2 = \beta + \sqrt{\beta^2 - \omega_0^2}$$

$$x(t) = A_1 e^{-\beta_1 t} + A_2 e^{-\beta_2 t}$$

kezdeti feltételek határozzák meg



(2) határeset: speciális

$$\lambda_1 = \lambda_2 = -\beta$$

$$x(t) = A \cdot e^{-\beta t} + A' \cdot t \cdot e^{-\beta t}$$

még éppen nem jön létre rezgés, egysensüly itt általában a leggyorsabban

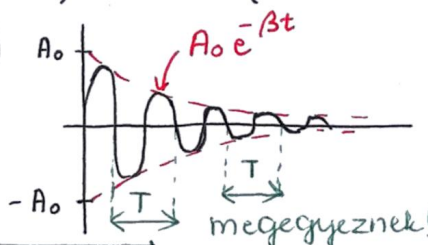


(3) Csillapított rezgés

Akkor jön létre rezgés, ha $\beta < \omega_0$

$$\begin{aligned} \lambda_1 &= -\beta + \sqrt{\beta^2 - \omega_0^2} = -\beta + i\omega' \\ \lambda_2 &= -\beta - \sqrt{\beta^2 - \omega_0^2} = -\beta - i\omega' \end{aligned} \quad \left. \begin{array}{l} \text{komplex} \\ \text{mennyiségek} \end{array} \right\} \omega' = \sqrt{\omega_0^2 - \beta^2}$$

$$\begin{aligned} x(t) &= A_1 e^{(-\beta+i\omega')t} + A_2 e^{(-\beta-i\omega')t} = A_1 e^{-\beta t} e^{i\omega' t} + A_2 e^{-\beta t} e^{-i\omega' t} = \\ &= e^{-\beta t} \left[\frac{A_1 + A_2}{2} (e^{i\omega' t} + e^{-i\omega' t}) + \frac{A_1 - A_2}{2} (e^{i\omega' t} - e^{-i\omega' t}) \right] = \\ &= e^{-\beta t} \left[(A_1 + A_2) \left(\frac{e^{i\omega' t} + e^{-i\omega' t}}{2} \right) + (A_1 - A_2) i \left(\frac{e^{i\omega' t} - e^{-i\omega' t}}{2} \right) \right] = e^{-\beta t} [B_1 \cos \omega' t + B_2 \sin \omega' t] = \\ &= A_0 \underbrace{e^{-\beta t}}_{A(t)} \cdot \sin(\omega' t + \varphi_0) \end{aligned}$$



$$\omega' = \sqrt{\omega_0^2 - \beta^2} < \omega_0$$

ha $\beta \ll \omega_0$: (kis csillapítás)

$$\beta^2 \ll \omega_0^2 \Rightarrow \omega' \approx \omega_0$$

Csillapított jellemző mennyiségek:

$$\text{csillapítási hánnyados: } K = \frac{x(t)}{x(t+T)} = e^{\beta T} \quad \text{dimenzió nélkül}$$

$$\text{logaritmikus dekrementum: } \Lambda = \ln K = \beta T \quad - " -$$

$$\text{teljes mechanikai energia: } E(t) = \frac{1}{2} D [A(t)]^2 = \underbrace{\frac{1}{2} D A_0^2}_{A(t) = A_0 \cdot e^{-\beta t}} \cdot e^{-2\beta t} = E_0 \cdot e^{-2\beta t}$$

$$\hookrightarrow \frac{dE(t)}{dt} = 2\beta E_0 e^{-2\beta t} = 2\beta E(t)$$

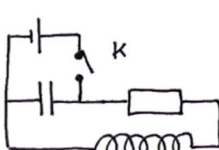
A fázisnak 1 rad megváltozása alatti energia változás abszolútértéke:

$$|\Delta E_{1\text{rad}}| = \frac{1}{2\pi} \frac{dE}{dt} = \frac{1}{\omega'} 2\beta E \approx \frac{2\beta}{\omega_0} E$$

kis csillapítás: $\omega' \approx \omega_0$

$$\Rightarrow \text{jósági tényező: } Q = \frac{E}{|\Delta E_{1\text{rad}}|} = \frac{\omega_0}{2\beta} = \frac{m\omega_0}{k} \quad \text{dimenzió nélkül}$$

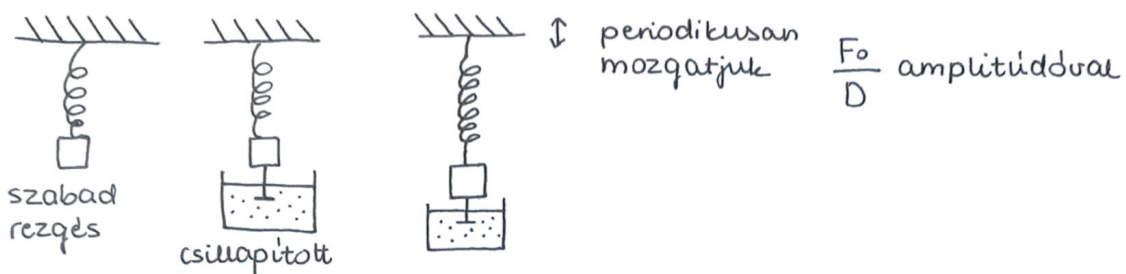
Analogia: RLC kör



rezgőkör: nagy Q jósági tényező
csillapítás (β) nagyon kicsi \Rightarrow szeléktívebb

pl. rádióverőknél

Kényszerrezgés, rezonancia



Kényszererő: $F(t) = F_0 \cdot \sin \omega t$

Mozgás egyenlet: $ma = -Dx - kx + F_0 \sin \omega t$

$$\frac{d^2x}{dt^2} + \frac{k}{m} \frac{dx}{dt} + \frac{D}{m} x = \frac{F_0}{m} \sin \omega t \quad \text{inhomogen diff. egyenlet}$$

$$\frac{d^2x}{dt^2} + 2\beta \frac{dx}{dt} + \omega_0^2 x = f_0 \sin \omega t \quad \frac{k}{m} = 2\beta, \quad \frac{D}{m} = \omega_0^2, \quad \frac{F_0}{m} = f_0$$

Inhomogen egyenlet megoldása = homogen egyenlet megoldása + inhomogen egyenlet megoldása (1 konkret eset)

- Homogen egyenlet általános mo:

$$x_T(t) = A_0 \cdot e^{-\beta t} \cdot \sin(\omega_0 t + \varphi_0) \quad \omega = \sqrt{\omega_0^2 - \beta^2}, \quad A_0 \text{ és } \varphi_0 \text{ a kezdeti feltételekből adódó állandók}$$

tranziens (=átmeneti) tag

- Inhomogen egyenlet egy partikuláris mo: rökkönyszeniünk egy ω körfrekvenciát

$$x_{A'}(t) = A \cdot \sin(\omega t - \varphi) \quad \varphi: \text{gerjesztéstől való eltérés}$$

állandósult tag

- Teljes általános megoldás: $x(t) = x_T(t) + x_{A'}(t)$

Az állandósult tagot, mint probafüggvényt behelyettesítjük a diff. egy.-be

$$\frac{dx_{A'}}{dt} = A \omega \cos(\omega t - \varphi)$$

$$\frac{d^2x_{A'}}{dt^2} = -A \omega^2 \sin(\omega t - \varphi)$$

$$-A \omega^2 \sin(\omega t - \varphi) + 2\beta A \omega \cos(\omega t - \varphi) + \omega_0^2 A \sin(\omega t - \varphi) = f_0 \sin(\omega t)$$

$$A(\omega_0^2 - \omega^2) [\sin \omega t \cos \varphi - \cos \omega t \sin \varphi] + 2\beta A \omega [\cos \omega t \cos \varphi + \sin \omega t \sin \varphi] = f_0 \sin \omega t$$

Az egyenletek minden időpontban teljesülnie kell

$$\text{"sin } \omega t \text{-s tagok": } A(\omega_0^2 - \omega^2) \cos \varphi + 2\beta A \omega \sin \varphi = f_0$$

$$\text{"cos } \omega t \text{-s tagok": } -A(\omega_0^2 - \omega^2) \sin \varphi + 2\beta A \omega \cos \varphi = 0$$

A két egyenletből: / π^2 / \oplus

$$A^2 (\omega_0^2 - \omega^2)^2 + 4\beta^2 A^2 \omega^2 = f_0^2$$

$$A = \frac{f_0}{\sqrt{(\omega_0^2 - \omega^2)^2 + 4\beta^2 \omega^2}}$$

$$\operatorname{tg} \varphi = \frac{2\beta \omega}{\omega_0^2 - \omega^2}$$

$$\varphi = \arctg \frac{2\beta \omega}{\omega_0^2 - \omega^2}$$

\Rightarrow A probafüggvény A, φ együtthatóit megkaptuk

Megj.: A és φ nem függ a kezdeti feltételektől, csak a rezgő rendszertől és a gerjesztéstől.

Amplitúdó rezonancia

$$A(\omega=0) = \frac{f_0}{\omega_0^2} = \frac{F_0}{D} \quad \text{ha a kényszerfrekvenciája } 0$$

$$A(\infty) = \lim_{\omega \rightarrow \infty} A(\omega) = 0 \quad \text{nagyon nagy frekvencián}$$

$\omega=0$ és $\omega=\infty$ között sokkal nagyobb lehet a rendszer amplitúdója a kényszerenél ($\frac{F_0}{D}$)

ez a rezonancia

Ahol az amplitúdó maximális: rezonancia-körfrekvencia. $\omega_r = ?$

$$\frac{dA(\omega)}{d\omega} = -\frac{1}{2} \frac{f_0}{[(\omega_0^2 - \omega^2)^2 + 4\beta^2 \omega^2]^{3/2}} (-4(\omega_0^2 - \omega^2)\omega + 8\beta^2 \omega) = 0$$

ahol $\frac{dA(\omega)}{d\omega} = 0 \rightarrow \omega_r$ megkapható

$$4\omega(\omega_0^2 - \omega^2) = 8\beta^2 \omega$$

$$\omega_0^2 - \omega^2 = 2\beta^2$$

$$\omega^2 = \omega_0^2 - 2\beta^2$$

$$\omega_r = \sqrt{\omega_0^2 - 2\beta^2} \quad \text{rezonancia-körfrekvencia}$$

$$\text{Maximális amplitúdó: } A(\omega_r) = \frac{f_0}{\sqrt{(\omega_0^2 - \omega_r^2)^2 + 4\beta^2(\omega_r^2 - 2\beta^2)}} = \frac{f_0}{\sqrt{4\beta^4 - 8\beta^4 + 4\beta^2\omega_0^2}} =$$

$$= \frac{f_0}{\sqrt{4\beta^2(\omega_0^2 - \beta^2)}} = \frac{f_0}{2\beta\omega_r} \approx \frac{f_0}{2\beta\omega_0}$$

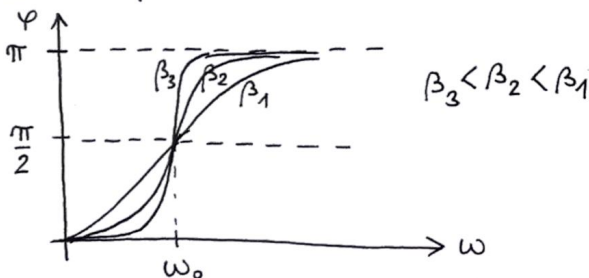
kis csillapítás

Megj.: A maximális amplitúdó annál nagyobb, minél kisebb a csillapítás (β)

Megj.: ω_r eltérődik β -től függően

Megj.: A görbe $A(0) = \frac{f_0}{D}$ -től indul

Fázisviszonyok:



$$\varphi(0) = 0$$

$$\varphi(\omega_0) = \frac{\pi}{2}$$

$\varphi(\infty) = \lim_{\omega \rightarrow \infty} \varphi(\omega) = \pi \rightarrow$ nagy frekvencián elentétesen mozog

Sebességrezonancia

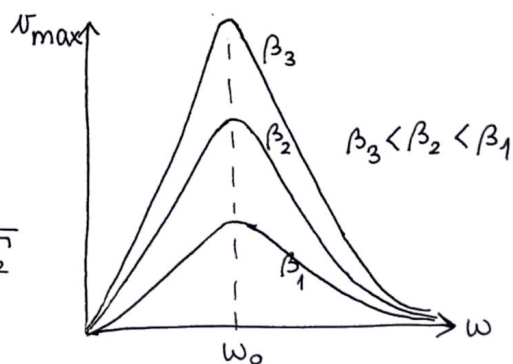
$$v(t) = \underbrace{A(\omega)}_{v_{\max}(\omega)} \omega \cos(\omega t + \varphi)$$

$$v_{\max}(\omega) = A(\omega)\omega = \frac{f_0 \omega}{\sqrt{(\omega_0^2 - \omega^2)^2 + 4\beta^2 \omega^2}} = \frac{f_0}{\sqrt{\frac{(\omega_0^2 - \omega^2)^2}{\omega^2} + 4\beta^2}}$$

↑ sebességamplitúdó

Seb. amplitúdó maximuma: $\omega = \omega_0$ esetén

$$v_{\max} = \frac{f_0}{2\beta}$$

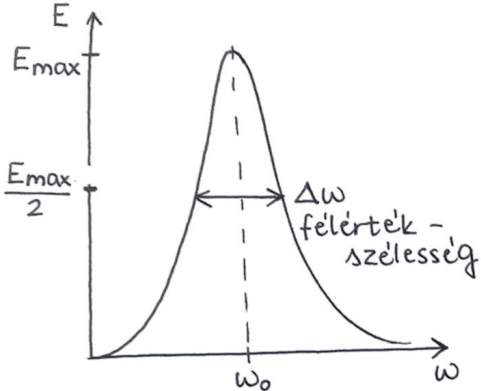


Kényszerrezgés energiaviszonyai

mechanikai energia: $E(\omega) = \frac{1}{2} m \nu_{\max}^2(\omega) = \frac{m f_0^2 \omega^2}{2[(\omega_0^2 - \omega^2)^2 + 4\beta^2 \omega^2]}$

maximuma az $\omega = \omega_0$ helyen:

$$E_{\max} = \frac{m f_0^2 \omega_0^2}{2 \cdot 4 \cdot \omega_0^2 \beta^2} = \frac{m f_0^2}{8 \beta^2}$$



A görbe csúcsosságát a feleretelezességgel jelmezhetjük
Határozzuk meg $\Delta\omega$!

$$E(\omega) = \frac{E_{\max}}{2}$$

$$\frac{m f_0^2 \omega^2}{2[(\omega_0^2 - \omega^2)^2 + 4\beta^2 \omega^2]} = \frac{m f_0^2}{16\beta^2}$$

$$16\omega^2\beta^2 = 2(\omega_0^2 - \omega^2)^2 + 8\omega^2\beta^2$$

$$8\omega^2\beta^2 = 2(\omega_0^2 - \omega^2)^2$$

$$4\omega^2\beta^2 = \omega_0^4 - 2\omega_0^2\omega^2 + \omega^4$$

$$\omega^4 - (2\omega_0^2 + 4\beta^2)\omega^2 + \omega_0^4 = 0$$

$$\omega^2 = \frac{2\omega_0^2 + 4\beta^2 \pm \sqrt{(2\omega_0^2 + 4\beta^2)^2 - 4\omega_0^4}}{2} = \frac{2\omega_0^2 + 4\beta^2 \pm \sqrt{4\omega_0^4 + 16\omega_0^2\beta^2 + 16\beta^4 - 4\omega_0^4}}{2} =$$

$$= \omega_0^2 + 2\beta^2 \pm \sqrt{4\beta^2(\omega_0^2 + \beta^2)}$$

kis csillapítás esetén: $\beta < \omega_0$ $\beta^2 \ll \omega_0^2$

$$\omega^2 \approx \omega_0^2 \pm 2\beta\omega_0 = \omega_0^2 \left(1 \pm \frac{2\beta}{\omega_0}\right)$$

$$\omega \approx \omega_0 \left(1 \pm \frac{\beta}{\omega_0}\right) = \omega_0 \pm \beta$$

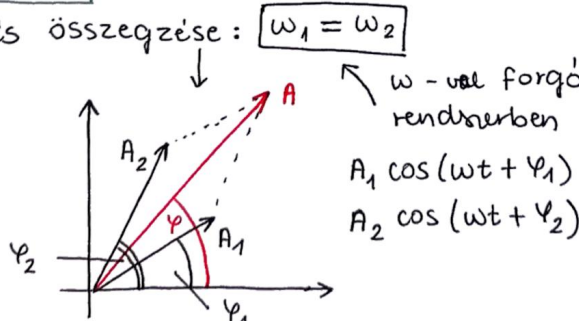
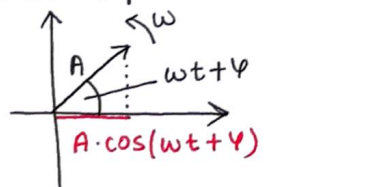
\Rightarrow A feleretelezesség: $\Delta\omega = 2\beta$

$$\frac{\Delta\omega}{\omega_0} = \frac{2\beta}{\omega_0} = \frac{1}{Q} \quad \text{a jósági tényező reciproka}$$

Szuperpozíció, rezgések összevetése, felbontása

Egyirányú rezgések összevetése

- Két azonos frekvenciájú rezgés összege: $\omega_1 = \omega_2$
- fázist kifejező vektor: fazor



$$A_1 \cos(\omega t + \varphi_1) + A_2 \cos(\omega t + \varphi_2) = A \cos(\omega t + \varphi)$$

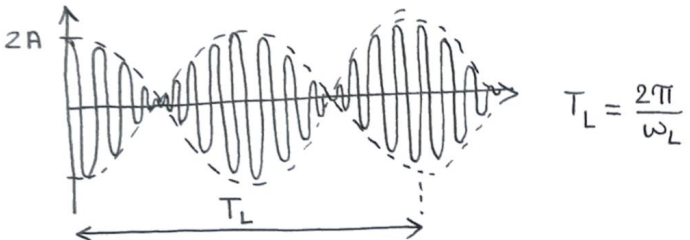
$$A^2 = A_1^2 + A_2^2 + 2A_1 A_2 \cos(\varphi_2 - \varphi_1)$$

$$A = \sqrt{A_1^2 + A_2^2 + 2A_1 A_2 \cos(\varphi_2 - \varphi_1)}$$

$$|A_2 - A_1| \leq A \leq A_1 + A_2$$

$$\varphi = \arctan \frac{A_1 \sin \varphi_1 + A_2 \sin \varphi_2}{A_1 \cos \varphi_1 + A_2 \cos \varphi_2}$$

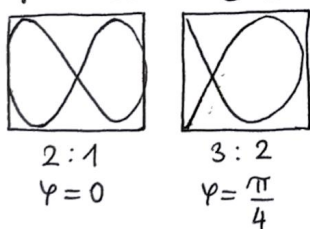
- Elterő körfrekvenciájú rezgések $\omega_1 \neq \omega_2$
amplitúdó változik, minimum/maximum között ingadozik
Spec. eset: $A_1 = A_2 = A$ $x(t) = A \cdot \cos(\omega_1 t) + A \cdot \cos(\omega_2 t) = A (\cos \omega_1 t + \cos \omega_2 t) =$
 $\omega_1 \neq \omega_2$ $= 2A \cos\left(\frac{\omega_1 - \omega_2}{2}t\right) \cos\left(\frac{\omega_1 + \omega_2}{2}t\right)$
 $\varphi_1 = \varphi_2 = 0$
ha csak kicsit tér el a 2 köfr.: $|\omega_1 - \omega_2| \ll \omega_1 + \omega_2$
Ekkor: $\frac{\omega_1 + \omega_2}{2} \approx \omega_1 \approx \omega_2 \approx \omega$
 $\frac{\omega_1 - \omega_2}{2} = \omega_L \quad (\ll \omega)$ lubegés körfrekvencia
 $\Rightarrow x(t) = 2A \cdot \cos(\omega_L t) \cos(\omega t)$



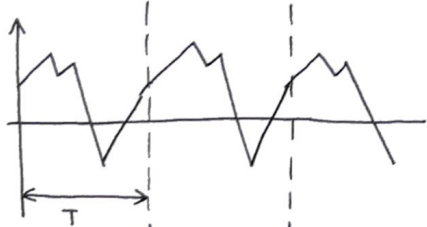
lassan változik az amplitúdó, harmonikus fr. szint

Merőleges rezgések összevetése

- Azonos frekvencia: $\omega_1 = \omega_2$
 $x(t) = A \cdot \cos \omega t$
 $y(t) = B \cdot \cos(\omega t + \varphi)$
 $A = B$ esetben $\varphi = 0$ \rightarrow $\varphi = 0$
 $\varphi = \frac{\pi}{4}$ $\varphi = \frac{\pi}{2}$ $\varphi = \frac{3\pi}{4}$ $\varphi = \pi$
- Különböző frekvencia: $\omega_1 \neq \omega_2$
ha a frekvenciák aránya kis egész számok arányával egyenlő: Lissajous-görbék



Rezgések felbontása



periodikus függvény: $x(t) = x(t+T)$ $\omega = \frac{2\pi}{T}$
Fourier-felbontás:
 $x(t) = A_0 + A_1 \sin(\omega t + \varphi_1) + A_2 \sin(\omega t + \varphi_2) + \dots + A_i \sin(\omega t + \varphi_i) + \dots$
↳ bármilyen periodikus jelnek felírható
ilyen alakban: Fourier-sor
↳ periodikus fr.: diszkrét spektrum

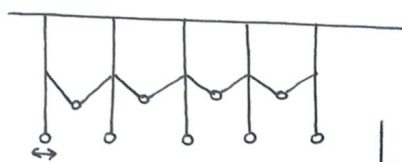


nem periodikus fr.: Fourier-integrával alkotható elő $x(t) = \frac{1}{2\pi} \int_{-\infty}^{\infty} F(\omega) e^{i\omega t} d\omega$
↳ frekvenciaspektruma folytonos

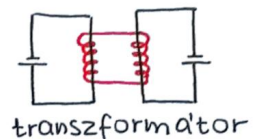


Fourier-transzformáció: időfr.-ból frekvenciaspektrum \rightarrow véges mérési pont: FFT

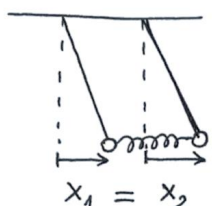
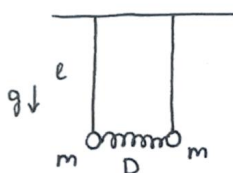
Csatolt rezgéssek



A'taddalik a rezgés az egységi rendszerről a másikra.
Összekötetés: csatolás

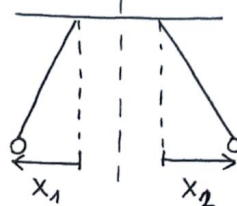


transzformátor



$$\omega_1 = \sqrt{\frac{g}{l}}$$

speciális móodus



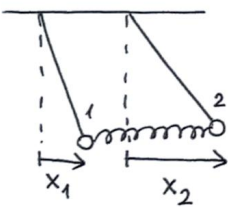
$$\begin{aligned} x_1 &= -x_2 \\ \text{szimmetrikus} &\rightarrow \text{két oldal külön} \\ \omega_2 &= \sqrt{\frac{g}{l} + \frac{2D}{m}} \end{aligned}$$

→ tárgyalható
↳ négő felé: 2D négő felé.



A'lalámosan hogyan írható fel a mozgás?

- csatolatlan eset
mozgás-egyenlet: $m \frac{d^2x}{dt^2} = -m \frac{g}{l} x \quad (\sin \theta \approx \theta)$ → fonálinga esete
- csatolás:



$$\text{elsőre ható erő: } F_1 = D(x_2 - x_1)$$

$$\text{masodikra: } F_2 = -F_1$$

Mozgás-egyenletek:

$$1: m \frac{d^2x_1}{dt^2} = -m \frac{g}{l} x_1 + D(x_2 - x_1)$$

$$2: m \frac{d^2x_2}{dt^2} = -m \frac{g}{l} x_2 - D(x_2 - x_1)$$

$$\left. \begin{aligned} \frac{d^2x_1}{dt^2} &= -\frac{g}{l} x_1 + \frac{D}{m} (x_2 - x_1) \\ \frac{d^2x_2}{dt^2} &= -\frac{g}{l} x_2 - \frac{D}{m} (x_2 - x_1) \end{aligned} \right\} \text{csatolt rendszerek, együtt kezeljük őket}$$

Két egyenletet összeadjuk ill. kivonjuk egymásból:

$$\oplus \quad \frac{d^2(x_1+x_2)}{dt^2} = -\frac{g}{l}(x_1+x_2)$$

$$\ominus \quad \frac{d^2(x_1-x_2)}{dt^2} = -\frac{g}{l}(x_1-x_2) - \frac{2D}{m}(x_1-x_2) = -\left(\frac{g}{l} + \frac{2D}{m}\right)(x_1-x_2)$$

új változók bevezetése:

$$\left. \begin{aligned} x_1 + x_2 &= y_1 \\ x_1 - x_2 &= y_2 \end{aligned} \right\} \text{A kit (nem csatolt) diff.egyenlet:}$$

$$\frac{d^2y_1}{dt^2} = -\frac{g}{l} y_1$$

$$\frac{d^2y_2}{dt^2} = -\left(\frac{g}{l} + \frac{2D}{m}\right) y_2$$

$$\text{Ezek megoldása: } y_1(t) = B_1 \cdot \sin(\omega_1 t + \varphi_1) \quad \omega_1 = \sqrt{\frac{g}{l}}$$

$$y_2(t) = B_2 \cdot \sin(\omega_2 t + \varphi_2) \quad \omega_2 = \sqrt{\frac{g}{l} + \frac{2D}{m}}$$

Eredeti változók:

$$x_1 = \frac{y_1 + y_2}{2} \rightarrow$$

$$x_1(t) = A_1 \cdot \sin(\omega_1 t + \varphi_1) + A_2 \cdot \sin(\omega_2 t + \varphi_2)$$

$$x_2 = \frac{y_1 - y_2}{2} \rightarrow$$

$$x_2(t) = A_1 \cdot \sin(\omega_1 t + \varphi_1) - A_2 \cdot \sin(\omega_2 t + \varphi_2)$$

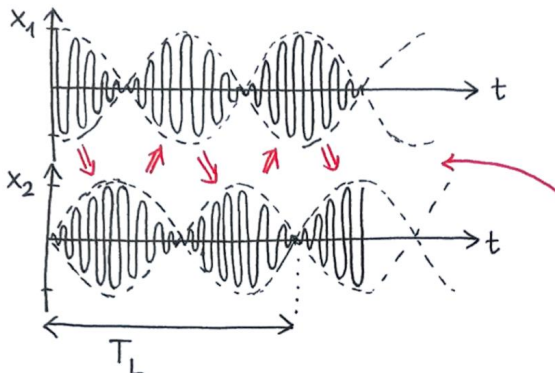
$$\frac{B_1}{2} = A_1$$

$$\frac{B_2}{2} = A_2$$

$$\begin{aligned} v_1 &= 0 \\ v_2 &= 0 \\ x_1 &= 2A \\ x_2 &= 0 \end{aligned}$$

gyenge csatolás: azaz $\frac{2D}{m} \ll \frac{g}{e}$

Íngák mozgása: x_1



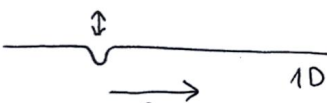
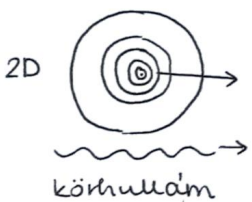
$$\begin{aligned} x_1(t) &= A \cdot \cos(\omega_1 t) + A \cdot \cos(\omega_2 t) \\ x_2(t) &= A \cdot \cos(\omega_1 t) - A \cdot \cos(\omega_2 t) \end{aligned}$$

mindketet inqa mozgása
lilegek, negyed periódussal
eltoldva egymáshoz
képest

Csatolt rendszerek közti
energiatáradás: T_L alatt
kétirur oda-vissza

MECHANIKAI HULLÁMOK

transzverzális hullám:



• elektromággn. hullámok;
(fény)

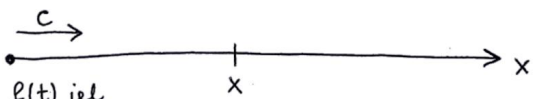
longitudinális hullám:



3D: gömb alakban terjed,
gömbhullám
pl. hangszóró hangja

Hullámfüggvény

1D síkhullám, x irányban terjed
jel időfüggése: $f(t)$



hullámfüggvény: $\Psi(x,t)$

terjedési seb.: $c \rightarrow x$ helyre $\frac{x}{c}$ időkésesséssel elér el

$$\Psi(0,t) = f(t)$$

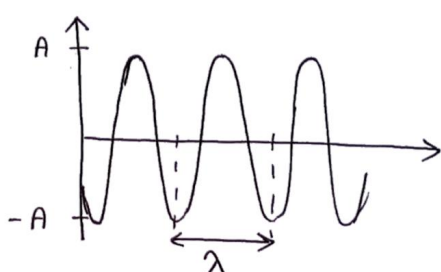
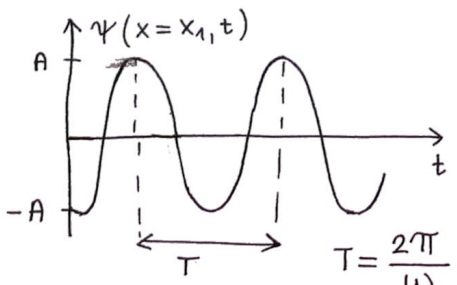
$$\Psi(x,t) = f(t - \frac{x}{c})$$

$$\Psi(x,t) = f(t + \frac{x}{c}) \quad \text{ másik irányba haladás esetén}$$

Harmonikus síkhullám 1D

$$f(t) = A \cdot \cos(\omega t + \varphi)$$

$$\Psi(x,t) = A \cdot \cos\left(\omega(t - \frac{x}{c}) + \varphi\right) \quad 1D \text{ harmonikus hullámfüggvény}$$



$$\frac{\omega}{c} \lambda = 2\pi$$

$$\lambda = \frac{2\pi}{\omega} c = T \cdot c$$

$$\text{Fázissebesség: } c = \frac{\lambda}{T}$$

$$\text{Cos fázis argumentuma (fázis): } \varphi = \omega \left(t - \frac{x}{c} \right) + \varphi_0$$

$$\varphi = \omega t - \frac{\omega}{c} x + \varphi_0$$

$$\frac{\omega}{c} x = \omega t + \varphi_0 - \varphi$$

$$x = c \cdot t + \frac{\varphi_0 - \varphi}{\omega} \cdot c$$

$\Rightarrow \frac{dx}{dt} = c$ fázisseb.: azonos fázisú pontok terjedési sebessége

Periodusidő: $T [T] = \Delta$

$$\text{Körfrekvencia: } \omega = \frac{2\pi}{T} [\omega] = \frac{1}{s}$$

$$\text{Frekvencia: } v = \frac{1}{T} [v] = Hz$$

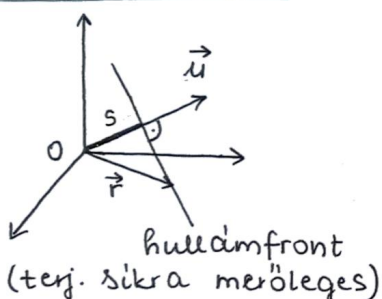
$$\text{Amplitúdó: } A [A] = m$$

$$\text{Hullámhossz: } \lambda [\lambda] = m$$

$$\text{Hullámszám: } k = \frac{2\pi}{\lambda} [k] = \frac{1}{m}$$

$$\text{Hullámfázis alakja: } \psi(x, t) = A \cdot \cos(\omega(t - \frac{x}{c}) + \varphi_0) = A \cos(\omega t - \frac{\omega}{c} x + \varphi_0) = A \cos(\omega t - kx + \varphi_0)$$

Térbeli sikhullám



$$\psi(\vec{r}, t) = A \cdot \cos(\omega t - k \cdot \vec{r} + \varphi_0) =$$

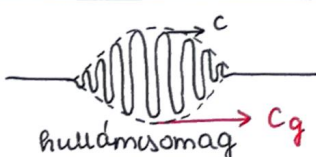
$= A \cdot \cos(\omega t - k \cdot \vec{u} \cdot \vec{r} + \varphi_0) = A \cos(\omega t - \vec{k} \cdot \vec{r} + \varphi_0)$

3D sikhullám

$$|\vec{k}| = k = \frac{\omega}{c} = \frac{2\pi}{\lambda}$$

\vec{k} hullámszám vektor irány: terjedeles irány

Csoportsebesség, diszperzió



Valódi hullámokat hullámcsomagokkal írhatjuk le
a burkoló a lebegésnél tapasztaltatást idezi

A belső hullámok a csomaghoz képest elmozdulhatnak (van hozzá viszonyított sebességük)

$$\downarrow$$

Diszperzió: $c = c(\omega)$

Közeliítő leírás:

$$\psi_1(x, t) = A \cdot \cos(\omega t - kx)$$

$$\omega' - \omega = \Delta\omega \ll \omega$$

$$\omega' \approx \omega$$

$$\psi_2(x, t) = A \cdot \cos(\omega' t - k' x)$$

$$k' - k = \Delta k \ll k$$

$$k' \approx k$$

Ezek összege adja a valós hullámfázist:

$$\psi(x, t) = \psi_1(x, t) + \psi_2(x, t) = 2A \cos\left(\frac{\omega' - \omega}{2} t - \frac{k' - k}{2} x\right) \cos\left(\frac{\omega' + \omega}{2} t - \frac{k' + k}{2} x\right) \approx$$

$$\approx 2A \cos\left(\frac{\Delta\omega}{2} t - \frac{\Delta k}{2} x\right) \cos(\omega t - kx)$$

$A(t, x)$: az amplitúdó változás is hullámf.

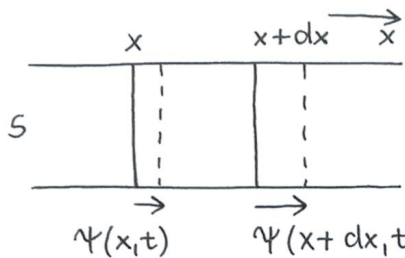
Csoportsebesség:

$$c_g = \frac{\frac{\Delta\omega}{2}}{\frac{\Delta k}{2}} = \frac{\Delta\omega}{\Delta k} \rightarrow c_g = \frac{d\omega}{dk}$$

$\omega(k)$: diszperziós reláció

$$\omega = k \cdot c(k) \rightarrow c_g = \frac{d\omega}{dk} = c + k \cdot \frac{dc}{dk}$$

Hullámterjede's nyalmas nídban



S: keresztmetszet

nyalmas nídban terjedő longitudinális hullám
↑ 1D

x és $x+dx$ közötti kis darabra a Newton II: $dF = dm \cdot a$ (1)

→ kis darab tömege: $dm = S \cdot S \cdot dx$

$$\rightarrow \text{gyorsulása: } a = \frac{\partial^2 \Psi(x,t)}{\partial t^2}$$

→ kis darabra ható $dF = ?$

$$\varepsilon = \frac{de}{e} = \frac{\Psi(x+dx,t) - \Psi(x,t)}{dx} = \frac{\partial \Psi(x,t)}{\partial x} \quad \varepsilon: \text{deformáció}$$

$$\text{nídbeli feszítő erő: } F = S \cdot E \cdot \varepsilon = SE \frac{\partial \Psi(x,t)}{\partial x} \quad E: \text{Young-modulus}$$

$$\Rightarrow dF = F(x+dx) - F(x) = \frac{F(x+dx) - F(x)}{dx} \cdot dx = SE \frac{\partial^2 \Psi(x,t)}{\partial x^2} dx$$

$$(1)-ből: SE \frac{\partial^2 \Psi(x,t)}{\partial x^2} dx = S \cdot S \cdot dx \cdot \frac{\partial^2 \Psi(x,t)}{\partial t^2}$$

$$\boxed{\frac{E}{S} \frac{\partial^2 \Psi(x,t)}{\partial x^2} = \frac{\partial^2 \Psi(x,t)}{\partial t^2}}$$

hullámegyenlet
másodrendű, lineáris, homogén diff. egy.

Ennek megoldását az alábbi alakban keressük:

$$\Psi(x,t) = A \cdot \cos(\omega t - kx + \varphi)$$

Ezt behelyettesítve az egyenletbe:

$$\cancel{\frac{E}{S} A k^2 \cos(\omega t - kx + \varphi)} = \cancel{A \omega^2 \cos(\omega t - kx + \varphi)}$$

$$\frac{E}{S} k^2 = \omega^2 \rightarrow \frac{E}{S} = \frac{\omega^2}{k^2} = c^2$$

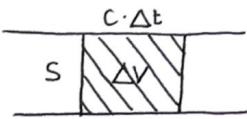
A fázissebesség: $c = \sqrt{\frac{E}{S}}$ ezt a közeg tulajdonságai (Young-modulus, sűrűség)
határozzák meg

Energiaterjede's hullámban

Energiajelölés: W

Energiaidram: $\Phi = \frac{\Delta W}{\Delta t}$ egys. idő alatt mennyi energia áramlik át $[\Phi] = \frac{J}{s} = W$

Energiaáramszűrő: $I = \frac{\Delta \Phi}{\Delta s}$ egys. idő alatt egys. Δs felületen átáramló energia,
hullám intenzitása $[I] = W/m^2$



$$\Delta V = S \cdot c \cdot \Delta t$$

$$\Delta W = w \cdot \Delta V = w \cdot S \cdot c \cdot \Delta t$$

$$\Phi = \frac{\Delta W}{\Delta t} = w \cdot S \cdot c$$

$$I = \frac{\Phi}{S} = w \cdot c$$

w: energiasűrűség

w: energiasűrűség: egys. térfogatban található energia $([w] = \frac{J}{m^3})$ $w = \frac{\Delta W}{\Delta V}$

$\omega = ?$

$$\Delta W = \Delta W_{\text{mozg}} + \Delta W_E$$

$$\Delta W_{\text{mozg}} = \frac{1}{2} dm \cdot v^2 = \frac{1}{2} S \cdot \Delta V \cdot v^2 = \frac{1}{2} S \Delta V \left(\frac{\partial \Psi(x,t)}{\partial t} \right)^2$$

$$\Delta W_E = \frac{1}{2} E \cdot \epsilon^2 \cdot \Delta V = \frac{1}{2} E \Delta V \left(\frac{\partial \Psi(x,t)}{\partial x} \right)^2$$

$$\Delta W = \frac{1}{2} S \Delta V \left\{ \left(\frac{\partial \Psi(x,t)}{\partial x} \right)^2 + c^2 \left(\frac{\partial \Psi(x,t)}{\partial t} \right)^2 \right\}$$

$$v = \frac{1}{2} S \left\{ \left(\frac{\partial \Psi(x,t)}{\partial x} \right)^2 + c^2 \left(\frac{\partial \Psi(x,t)}{\partial t} \right)^2 \right\}$$

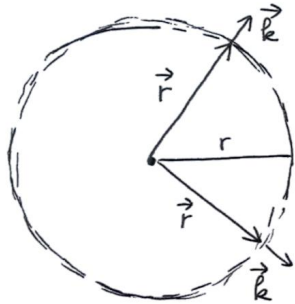
Harmonikus haladó hullám: $\Psi(x,t) = A \cdot \cos(\omega t - kx + \varphi)$

$$v = \frac{1}{2} S \left\{ A^2 \omega^2 \sin^2(\omega t - kx + \varphi) + c^2 A^2 k^2 \sin^2(\omega t - kx + \varphi) \right\} = S A^2 \omega^2 \sin^2(\omega t - kx + \varphi) = v(x,t)$$

$$c^2 k^2 = \omega^2$$

Atlagos energiasűrűség: $\bar{w} = \frac{1}{T} \int_0^T w(t,x) dt = \frac{1}{2} S A^2 \omega^2$

Intenzitás: $I = \frac{1}{2} S A^2 \omega^2 c \rightarrow I \sim A^2$ amplitúdó négyzetével arányos

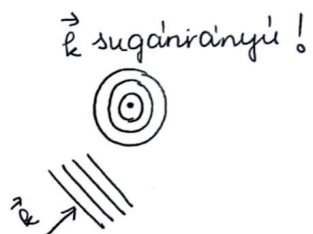


térben: gömb felülete: $S = 4r^2 \pi$

$$I = \frac{\phi}{S} \rightarrow I \sim \frac{1}{r^2} \rightarrow A \sim \frac{1}{r}$$

$$\Rightarrow \text{gömbhullám: } \Psi(\vec{r},t) = \frac{A_0}{r} \sin(\omega t - kr + \varphi)$$

$$\text{3D síkhullám: } \Psi(\vec{r},t) = A \cdot \sin(\omega t - \vec{k} \cdot \vec{r} + \varphi)$$

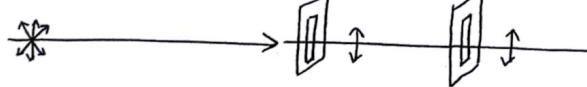


Polarizáció

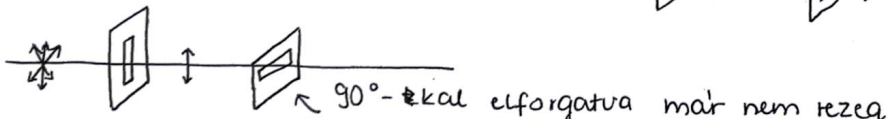
longitudinális hullám:



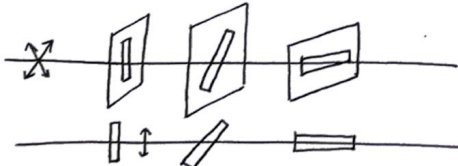
transzverzális ":



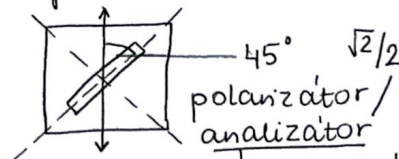
lineárisan polarizált hullám



$\approx 90^\circ$ -kal elforgatva mar nem rezeg

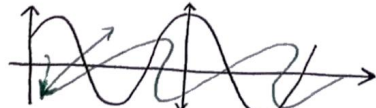


$\frac{\pi}{4}$ az intenzitás



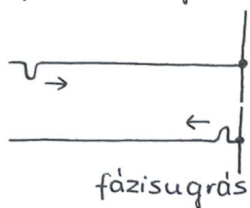
$\sqrt{2}/2$
polarizátor/
analizátor
 \rightarrow polarizációt
mérhetünk vele

Cirkulárisan poláros: rezgési sík
egyenletesen forog

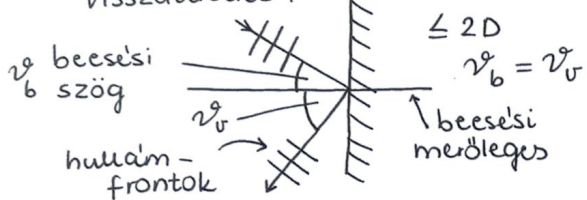


Hullámok visszaverődése és törese

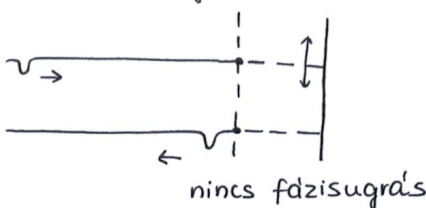
Rögzített végről:



Visszaverődés:

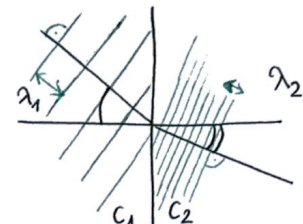
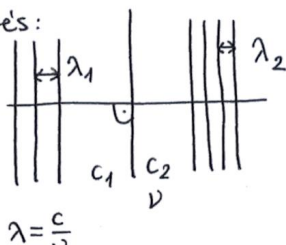


szabad végről:



1D

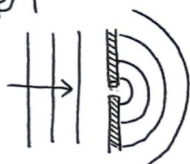
Törés:



Huygens-elv: • a hullámter minden pontja elemi gömbhullámformával
• a kialakuló hullám ezek közös bereoldja

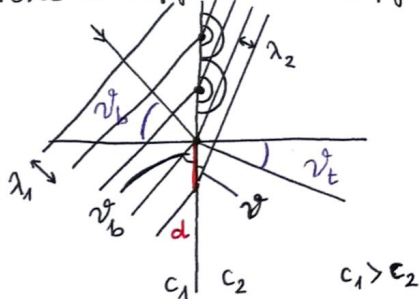


Elhajlás:



a hullám behatol az árnyékterbe is

Törés a Huygens-elv alapján:



$$\lambda_1 = d \cdot \sin \theta_b$$

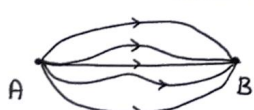
$$\lambda_2 = d \cdot \sin \theta_t$$

$$\frac{\sin \theta_b}{\sin \theta_t} = \frac{\lambda_1}{\lambda_2} = \frac{c_1}{c_2} = n_{2,1}$$

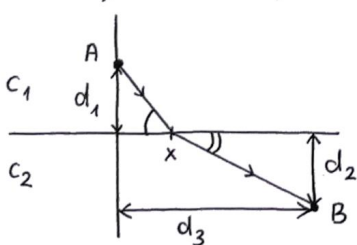
Ha $c_1 > c_2$: részben visszaverődik, részben megtönik

Ha $c_2 > c_1$ Töles visszaverődés lehetséges → üvegszál

Fermat-elv: A hullám a rögzített A és B pontok között aron a pályán van, ahol a terjedési időnek (τ) szélső értéke van



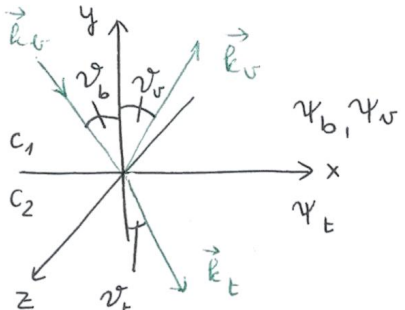
$$\tau = \int_A^B \frac{1}{c} ds$$



$$\tau = \frac{\sqrt{d_1^2 + x^2}}{c_1} + \frac{\sqrt{(d_3 - x)^2 + d_2^2}}{c_2}$$

Szélsőérték-keresés: $\frac{d\tau}{dx} = 0$ egyenlet megoldásdra

Visszaverődés és törlés a hullámfüggvény segítségével



Hullámfürák: $\Psi_b = A_b \cos(\omega t - \vec{k}_b \cdot \vec{r})$
 $\Psi_v = A_v \cos(\omega t - \vec{k}_v \cdot \vec{r})$
 $\Psi_t = A_t \cos(\omega t - \vec{k}_t \cdot \vec{r})$

xz sík a határfelület

$\Psi_b + \Psi_v = \Psi_t$ a határfelületen

\vec{k}_b az xy síkban van

$\vec{k}_v, \vec{k}_t \}$ semmit nem feltételezzük rőlük

Határfelület: $\vec{r} \in xz$ sík

$\Psi_b(t, \vec{r}) + \Psi_v(t, \vec{r}) = \Psi_t(t, \vec{r})$ ez csak akkor teljesül, ha:

a három fázis megegyezik: $\omega t - \vec{k}_b \cdot \vec{r} = \omega t - \vec{k}_v \cdot \vec{r} = \omega t - \vec{k}_t \cdot \vec{r}$

Vektorok koordinátákkal felírva:

$$\vec{r} : (x, 0, z)$$

$$\vec{k}_b : (k_{bx}, k_{by}, 0)$$

$$\vec{k}_v : (k_{vx}, k_{vy}, k_{vz})$$

$$\vec{k}_t : (k_{tx}, k_{ty}, k_{tz})$$

$$\vec{k}_b \cdot \vec{r} = \vec{k}_v \cdot \vec{r} = \vec{k}_t \cdot \vec{r}$$

$$k_{bx} \cdot x = k_{vx} \cdot x + k_{vz} \cdot z$$

$$k_{bx} \cdot x = k_{tx} \cdot x + k_{tz} \cdot z$$

$$\Rightarrow \boxed{k_{vz} = k_{tz} = 0} \quad \text{komplánáns} \\ (\text{egy síkban vannak})$$

$$k_{bx} = k_{vx} \quad |\vec{k}_b| \cdot \sin \varphi_b = |\vec{k}_v| \cdot \sin \varphi_v$$

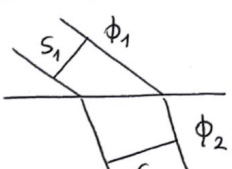
$$k_{bx} = k_{tx} \quad |\vec{k}_b| \cdot \sin \varphi_b = |\vec{k}_t| \cdot \sin \varphi_t$$

$$c = \frac{\omega}{k} \rightarrow k = \frac{\omega}{c} \quad \frac{\omega}{c_1} = |\vec{k}_b| = |\vec{k}_v| \rightarrow \boxed{\varphi_b = \varphi_v}$$

$$\frac{\omega}{c_2} = |\vec{k}_t| \rightarrow \frac{\omega}{c_1} \cdot \sin \varphi_b = \frac{\omega}{c_2} \cdot \sin \varphi_t$$

$$\boxed{\frac{\sin \varphi_b}{\sin \varphi_t} = \frac{c_1}{c_2} = n_{2,1}}$$

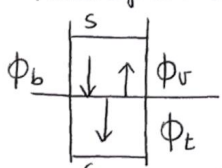
Intenzitás vizsgálata hullámfüggvényvel:



$$\phi_1 = \phi_2$$

$$I_1 = \frac{\phi_1}{S_1}, \quad I_2 = \frac{\phi_2}{S_2}$$

Mérlegesen bocsó longitudinális hullámok esetén:



$$\phi_b = \phi_v + \phi_t \rightarrow I_b = I_v + I_t \quad (1)$$

$$\Psi_b + \Psi_v = \Psi_t \quad (2)$$

energiamegmaradás

$$(1): S_1 C_1 A_b^2 = S_1 C_1 A_v^2 + S_2 C_2 A_t^2 \quad \left(I \sim A^2: \quad I = \frac{1}{2} \rho c \omega^2 A^2 \right)$$

$$(2): A_b + A_v = A_t$$

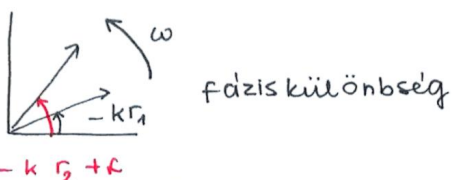
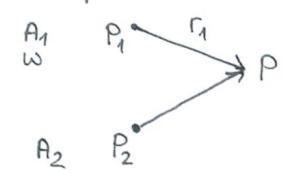
$$\begin{aligned} S_1 C_1 (A_b - A_v) (A_b + A_v) &= S_2 C_2 A_t^2 \quad \rightarrow A_v = \frac{S_1 C_1 - S_2 C_2}{S_1 C_1 + S_2 C_2} A_b \\ S_1 C_1 (A_b - A_v) &= S_2 C_2 (A_b + A_v) \\ (S_1 C_1 - S_2 C_2) A_b &= (S_1 C_1 + S_2 C_2) A_v \end{aligned}$$

$$I_v = \frac{(S_1 C_1 - S_2 C_2)^2}{(S_1 C_1 + S_2 C_2)^2} I_b$$

$$I_t = \frac{4 S_2 C_2 S_1 C_1}{(S_1 C_1 + S_2 C_2)^2} I_b$$

Interferencia

két pontforrás



$$\psi(P, t) = \psi(r_1, t) + \psi(r_2, t) = A_1 \cos(\omega t - kr_1) + A_2 \cos(\omega t - kr_2 + \phi)$$

$$A^2 = A_1^2 + A_2^2 + 2A_1 A_2 \cos(k(r_1 - r_2) + \phi)$$

$$|A_1 - A_2| \leq A \leq A_1 + A_2$$

$$A_1 = A_2 = A_0 \text{ és } \phi = 0. \text{ Ekkor: } A^2 = A_0^2 (1 + \cos(k(r_1 - r_2)))$$

Maximális erősítés: ekkor a maximumnálé: $k(r_1 - r_2) = 2\pi n$

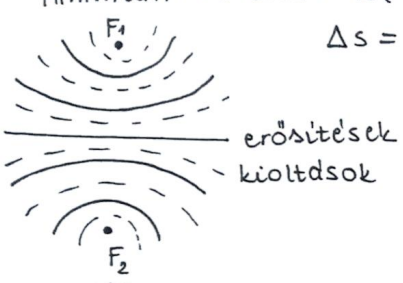
$$n \in \mathbb{Z}$$

$$\Delta s = r_1 - r_2 = \frac{2\pi}{k} \cdot n = n\lambda$$

Minimum: kioltás: $k(r_1 - r_2) = \pi(2n+1)$

$$n \in \mathbb{Z}$$

$$\Delta s = \frac{\lambda}{2}(2n+1)$$



F_1, F_2 : pontforrás (azonos fázisú)

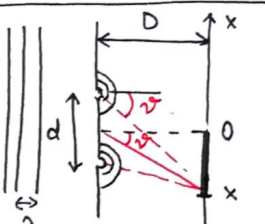
Kohärencia

2 hullám kohérens, ha: $\delta(t)$ időben (közel) állandó

2 hullám inkohérens, ha: $\delta(t)$ időben gyorsan változik

kohärenciához: ez az a távolság, melynek megtételé után is stabil a fáziskülönbség

Intenzitás eloszlása



$d \ll D$ PONTFORRA'STÓL TÁVOL

$$x \ll D$$

$$\approx 1 \Rightarrow \vartheta \approx \sin \vartheta \approx \tan \vartheta$$

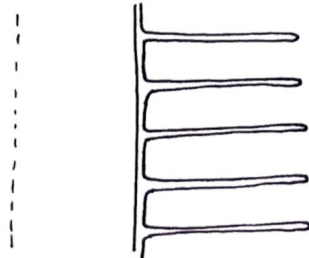
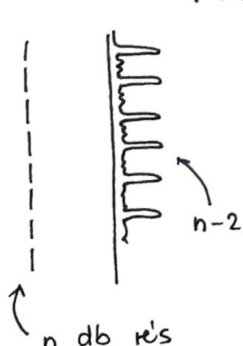
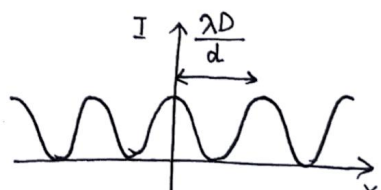
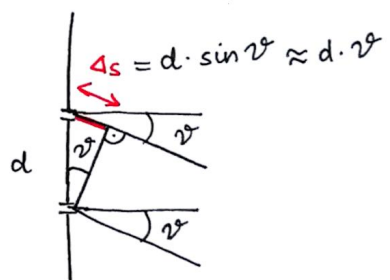
$$\tan \vartheta = \frac{x}{D} \approx \frac{x}{d}$$

kettős kísérlet, útkülönbség: $\Delta s = \frac{x d}{D} = n \cdot \lambda$ erősítés nélk

$$I_0 \sim A_0^2$$

$$I(x) \sim A^2(x)$$

$$I = 2 \cdot I_0 (1 + \cos(k \cdot \Delta s)) = 4 \cdot I_0 \cdot \cos^2\left(\frac{k \Delta s}{2}\right) = 4 \cdot I_0 \cos^2\left(\frac{k x d}{2D}\right) = 4 I_0 \cos^2\left(\frac{x d \pi}{\lambda D}\right)$$



Huygens - Fresnel - elv

- Huygens - elv továbbfejlesztése

- minden pont pontformás
- a kialakult hullámkép a hullámok interferenciaképe

$$\Psi_L(x,t) = A \cdot \sin(\omega t + kx)$$

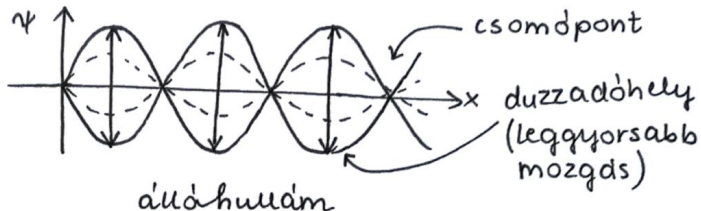
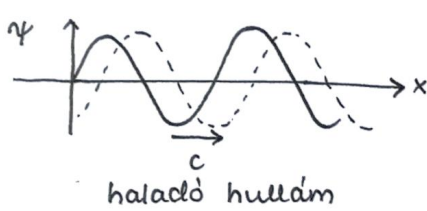
$$\Psi_R(x,t) = A' \cdot \sin(\omega t - kx + \phi)$$

$$\Psi(x,t) = \Psi_L(x,t) + \Psi_R(x,t)$$

$$\Psi(x=0,t) = 0 \rightarrow A' = -A \quad \phi = \pi$$

$$\Rightarrow \Psi(x,t) = A \cdot \sin(\omega t + kx) - A \cdot \sin(\omega t + kx) = 2A \sin(kx) \cos(\omega t)$$

Tehát kit haladó hullám szuperpozíciója egy (az interferencia jukból adódó) áltahullám



Hullámterjedés gázban

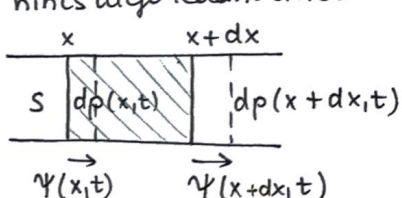
szimmetria: 1D hullámegyenlet: $c^2 \frac{\partial^2 \Psi}{\partial x^2} = \frac{\partial^2 \Psi}{\partial t^2}$ általános

c^2 : közegtől függ: $c^2 = \frac{E}{S}$ rugalmas id, longitud. ~

$c^2 = \frac{G}{S}$ rugalmas id, torziós ~

Gázban terjedő 1D síkhullám:

adiabatikus összenyomódás \downarrow nincs ideje leadni a hőt $\Rightarrow dp(x,t)$ nyomástöbblet (egyensúlyi állapotból eltérés)



N.II: $dF = dm \cdot a$

$dm = S \cdot S \cdot dx$

$a = \frac{\partial^2 \Psi}{\partial t^2}$

$F(x,t) = -S dp(x,t)$

S : sűrűség

p : nyomas

adiabatikus folyamat:

$p \cdot V^\gamma = \text{konst.}$

$p = \text{konst.} \cdot V^{-\gamma}$

$$\frac{dp}{p} = -\gamma \cdot \frac{dV}{V} \rightarrow dp = -\gamma \cdot p \frac{dV}{V} = -\gamma p \frac{S(\Psi(x+dx,t) - \Psi(x,t))}{S \cdot dx} = -\gamma p \frac{\partial \Psi(x,t)}{\partial x}$$

$F(x,t) = +S \gamma p \frac{\partial \Psi(x,t)}{\partial x}$

$dF = \frac{\partial F}{\partial x} dx = S \cdot \gamma p \frac{\partial^2 \Psi(x,t)}{\partial x^2} dx$

\Rightarrow N.II-be visszahelyettesítve:

$$-\gamma p \frac{\partial^2 \Psi(x,t)}{\partial x^2} dx = S \cdot S \cdot dx \frac{\partial^2 \Psi(x,t)}{\partial t^2}$$

$$\frac{\gamma p}{S} \frac{\partial^2 \Psi}{\partial x^2} = \frac{\partial^2 \Psi}{\partial t^2}$$

hullámegyenlet
gázban
longitud. sík ~

$$c^2 = \frac{\gamma p}{S}$$

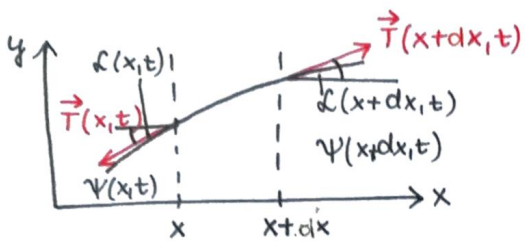
ideális gáz állapotegyenlete: $pV = \frac{m}{M} RT$

$$S = \frac{m}{V} = \frac{PM}{RT}$$

$$c = \sqrt{\frac{\gamma p}{S}} = \sqrt{\frac{\gamma R \cdot T}{M}}$$

Ha alacsonyabb a közeg moláris tömege, akkor c nagyobb
↓
Héliumban gyorsabb a hangseb.

Transzverzális hullám megfeszített húrban



\vec{T} : feszítőerő: érintőirányú
kitérés kicsi
 S : keresztmetszet
 $|T| \approx T$ nagysága kb. állandó (ℓ kicsi)

Húr kis darabjára mozgcásegyenlet: $dF_y = dm \cdot a_y$

$$dm = S \cdot \ell \cdot dx$$

$$a_y = \frac{\partial^2 \Psi}{\partial t^2}$$

$$\text{tg} \ell = \frac{\partial \Psi}{\partial x} \text{ hullámfű deriváltja (meredekseg)}$$

$$dF_y = T_y(x+dx,t) - T_y(x,t) = T \left\{ \sin(\ell(x+dx,t)) - \sin(\ell(x,t)) \right\} \approx T \left\{ \text{tg}(\ell(x+dx,t)) - \text{tg}(\ell(x,t)) \right\} = T \left(\frac{\text{tg}(\ell(x+dx,t)) - \text{tg}(\ell(x,t))}{dx} \right) \cdot dx = T \cdot \frac{\partial^2 \Psi(x,t)}{\partial x^2} dx$$

$$\Rightarrow T \cdot \frac{\partial^2 \Psi}{\partial x^2} dx = S \cdot \ell \cdot \frac{\partial^2 \Psi}{\partial t^2}$$

$$\frac{T}{S \cdot \ell} \frac{\partial^2 \Psi(x,t)}{\partial x^2} = \frac{\partial^2 \Psi(x,t)}{\partial t^2}$$

$$S \cdot \ell = M \text{ lineáris sűrűség } [\mu] = \frac{kq}{m}$$

$$c^2 = \frac{T}{\mu} \text{ húrban haladó transzverzális hullámról}$$

Hullámegyenlet általános alakja

$$\text{Általános 3D hullámegyenlet: } c^2 \left(\frac{\partial^2 \Psi}{\partial x^2} + \frac{\partial^2 \Psi}{\partial y^2} + \frac{\partial^2 \Psi}{\partial z^2} \right) = \frac{\partial^2 \Psi}{\partial t^2}$$

$$\text{Hullámfű: } \Psi(x, y, z, t)$$

$$c^2 \Delta \Psi = \ddot{\Psi}$$

A'l. 3D hull.egy.-nek az alábbiak is megoldásai:

- 3D síkhullám: $\Psi(\vec{r}, t) = A \cdot \cos(wt - \vec{k} \cdot \vec{r} + \varphi)$

$$\vec{k} = k_x \hat{i} + k_y \hat{j} + k_z \hat{k}$$

- gömbhullám: $\Psi(x, y, z, t) = \frac{A_0}{\sqrt{x^2 + y^2 + z^2}} \cos(wt - k \sqrt{x^2 + y^2 + z^2} + \varphi)$

kezdeti feltételektől függ, hogy mi a hullámegy. megoldása

Elektromágneses hullám vákuumban

Maxwell-egyenletek:

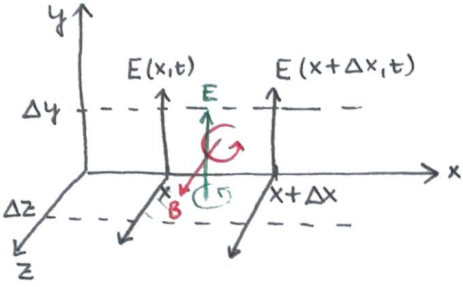
$$\sum_{A_0} \vec{E} \cdot \Delta \vec{A} = \frac{Q}{\epsilon_0} = 0 \text{ fluxus zárt felületre}$$

$$\sum_{A_0} \vec{B} \cdot \Delta \vec{A} = 0$$

$$\sum_{S_0} \vec{E} \cdot \Delta \vec{s} = - \frac{\Delta \Phi}{\Delta t} \text{ zárt görbénre} \quad ①$$

$$\sum_{S_0} \vec{B} \cdot \Delta \vec{s} = \mu_0 I + \mu_0 \epsilon_0 \frac{\Delta \Phi}{\Delta t} \quad ②$$

vákuum miatt 0



① alapján

$$E(x+\Delta x, t) \cdot \Delta y - E(x, t) \cdot \Delta y = - \frac{\Delta B(x, t) \Delta x \Delta y}{\Delta t}$$

$$\frac{\partial E}{\partial x} = - \frac{\partial B}{\partial t} \quad (3)$$

② alapján

$$B(x, t) \Delta z - B(x+\Delta x, t) \Delta z = \mu_0 \epsilon_0 \frac{\partial E}{\partial t} \Delta x \Delta z$$

$$-\frac{\partial B}{\partial x} = \mu_0 \epsilon_0 \frac{\partial E}{\partial t} \quad (4)$$

$$\text{③-ból: } \frac{\partial^2 E}{\partial x^2} = - \frac{\partial^2 B}{\partial x \partial t}, \quad \text{④-ből } \frac{\partial}{\partial t} : - \frac{\partial^2 B}{\partial x \partial t} = \mu_0 \epsilon_0 \frac{\partial^2 E}{\partial t^2}$$

$$\text{kettőt összehozva: } \frac{\partial^2 E}{\partial x^2} = \mu_0 \epsilon_0 \frac{\partial^2 E}{\partial t^2}$$

$$\frac{1}{\mu_0 \epsilon_0} \frac{\partial^2 E}{\partial x^2} = \frac{\partial^2 E}{\partial t^2} \quad \rightarrow \quad c^2 = \frac{1}{\mu_0 \epsilon_0} \text{ elektromágneses hullámra} \\ \text{vakuumban}$$

A'kkohullámok

$$\text{Hullámeqyenlet: } c^2 \frac{\partial^2 \psi}{\partial x^2} = \frac{\partial^2 \psi}{\partial t^2}$$

$$\text{haladó hullám megoldás: } \psi(x, t) = A \cdot \cos(\omega t - kx + \varphi)$$

$$\text{állóhullám alakú megoldás: } \psi(x, t) = \psi(x) \cos(\omega t + \varphi) \\ x \text{ függő amplitúdd}$$

Utóbbit behelyettesítve a hullámeqyenletbe:

$$c^2 \frac{d^2 \psi}{dx^2} \cos(\omega t + \varphi) = - \psi(x) \omega^2 \cos(\omega t + \varphi)$$

$$\left(c^2 \frac{d^2 \psi}{dx^2} + \omega^2 \psi \right) \cos(\omega t + \varphi) = 0$$

$$c^2 \frac{d^2 \psi}{dx^2} + \omega^2 \psi = 0$$

$$c^2 \left(\frac{d^2 \psi}{dx^2} + \frac{\omega^2}{c^2} \psi \right) = 0 \quad / : c^2 \quad (\text{mert } c^2 \neq 0)$$

$$\frac{d^2 \psi}{dx^2} + k^2 \psi = 0 \quad \text{harmonikus rezgőmozgás difeqenlete} \\ \hookrightarrow \text{A'lós mo: } \psi(x) = A \cdot \sin(kx + \beta)$$

$$\Rightarrow \text{A'kkohullám általános mo: } \psi(x, t) = A \cdot \sin(kx + \beta) \cos(\omega t + \varphi)$$

A konkret esetekben megráldszuló alakot a peremfeltételekből kaphatjuk.

1. A'kkohullám kifeszített húron

\hookrightarrow transzverzális hullám

$$\text{Két vége rögzített, ott } 0 \text{ a kitérés: } \underbrace{\psi(0) = 0}_{\text{Peremfeltételek}} \text{ és } \underbrace{\psi(L) = 0}_{\text{Peremfeltételek}}$$

$$\text{①-ből } A \cdot \sin(k \cdot 0 + \beta) = 0 \rightarrow \beta = 0$$

$$\text{②-ből } A \cdot \sin(k \cdot L) = 0 \rightarrow k \cdot L = n\pi \quad n \in \mathbb{N}^+ \rightarrow k_n = \frac{n\pi}{L}$$

Azaz a hullámszám csak diszkrét értékeket vehet fel

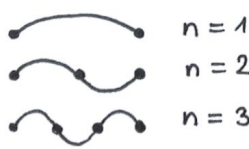


Említi a hullám hossz, körfrekvencia, frekvencia is adott:

$$\lambda_n = \frac{2\pi}{k_n} = \frac{2\pi L}{n\pi} = \frac{1}{n} 2L$$

$$c = \frac{\omega}{k} \rightarrow \omega_n = c \cdot k_n \quad \omega_n = c \cdot \frac{n\pi}{L}$$

$$\nu_n = \frac{\omega_n}{2\pi} = n \cdot \frac{c}{2L} \rightarrow n=1 \text{ eset: legalacsonyabb frekvencia} \equiv \text{alapfrekvencia}$$



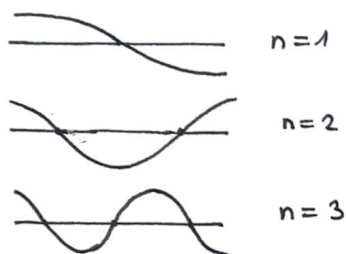
$$\text{Hullámfv: } \Psi_n(x,t) = A_n \cdot \sin(k_n x) \cdot \cos(\omega_n t + \varphi_n)$$

A_n, φ_n : időbeli korzeti feltételek határozzák meg őket

A húron kialakuló hullám a Ψ_n hullámfüggvények szuperpozíciójá:

$$\Psi(x,t) = \sum_{n=1}^{\infty} \Psi_n(x,t)$$

2. Mindkét végén nyitott légszlopban



3. Egyik végén rögzített légszlopban

$$\lambda_1 = 4L \quad \nu_1$$

alaphang párátlan számú többszörösei a frekvenciák

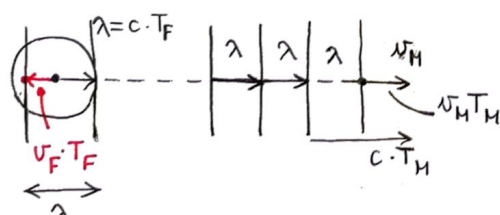
$$\lambda_2 = \frac{4}{3}L \quad 3\nu_1$$

$$\lambda_3 = \frac{4}{5}L \quad 5\nu_1$$

Doppler - effektus

$$\xleftarrow{v_F} F \xrightarrow{v_M} M$$

F: forrás, M: megfigyelő
tárolódás legyen pozitív



$$\lambda = (c + v_F) T_F$$

$$T_F = \frac{1}{\nu_F}$$

$$\lambda + v_M T_M = c \cdot T_M$$

$$\lambda = (c - v_M) T_M$$

$$T_M = \frac{1}{\nu_M}$$

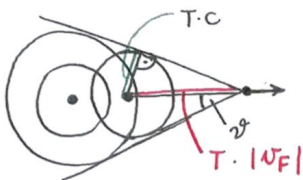
speciális koordinatarendszer:
közeghez rögzített

$$\left. \begin{aligned} (c + v_F) T_F &= (c - v_M) T_M \\ T_M &= \frac{c + v_F}{c - v_M} T_F \\ \nu_M &= \frac{c - v_M}{c + v_F} \nu_F \end{aligned} \right\}$$

Azaz a megfigyelő által érzékelt frekvencia eltér a forrás által kiadottól.

$v_M > c$: nem ér utol a hullám

$-v_F > c$: forrás hamarabb odaér a megfigyelőhöz, mint a hullám
pl.: szupersonikus repülő, lövedék



$$|v_F| > c$$

$$\sin \theta = \frac{T \cdot c}{T \cdot |v_F|}$$

$$\text{hangrobbanás} \rightarrow \text{Mach szám} : M = \frac{|v_F|}{c}$$

$$\left. \begin{array}{l} \text{közelítés: } \frac{|v_M|}{c} \ll 1 \\ \frac{|v_F|}{c} \ll 1 \end{array} \right\} v_M = \frac{c - v_M}{c + v_F} \quad v_F = \frac{1 - \frac{v_M}{c}}{1 + \frac{v_F}{c}} \quad v_F \approx \left(1 - \frac{v_M + v_F}{c}\right) v_F = \left(1 - \frac{v}{c}\right) v_F$$

ahol $v = v_M + v_F$ relativ sebesség

Relativisztikus eset pl. fény (elektromágneses hullám) vákuumban

tetsz. K koordinátarendszer

fény terjedési sebessége: c

T_F, T_M : saját vonatkoztatási rendszerbeli periodusido

T_F^K, T_M^K : K-beli periodusido

$$v_F \xleftarrow{v_F} \xrightarrow{v_M} v_M$$

$$T_F = \frac{1}{v_F}$$

$$T_M^K = \frac{T_F}{\sqrt{1 - \frac{v_F^2}{c^2}}}$$

$$\lambda^K = (c + v_F) T_F^K$$

$$v_M = \frac{c - v_M}{c + v_F} \frac{\sqrt{1 - \frac{v_F^2}{c^2}}}{\sqrt{1 - \frac{v_M^2}{c^2}}} v_F$$

Relativisztikus Doppler-effektus

$$v = \frac{v_M + v_F}{1 + \frac{v_M v_F}{c^2}}$$

$$v_M = \sqrt{\frac{c - v}{c + v}} v_F$$

$v \ll c$: klasszikust kapjuk vissza:

$$v_M = \sqrt{\frac{c - v}{c + v}} v_F = \sqrt{\frac{1 - \frac{v}{c}}{1 + \frac{v}{c}}} v_F \approx \left(1 - \frac{v}{c}\right) v_F$$

Lehet-e fényrobbanás?

Anyagban igen, vákuumban nem.

Anyagban: proton / elektron lehet gyorsabban az adott helyi fénysebességnél → például egy atomreaktorban

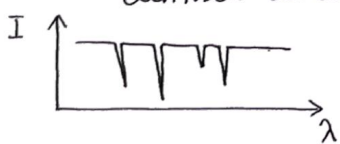
Doppler-effektus használata:

nagy építések sebességének, távolságának mérése

- szögkülönbség

- ismert abszolút fényességű jellegzetes csillag

- fény felbontása: Fourier-analízis: bizonyos frekvenciák értéke alacsony vagy hiányoznak a spektrumból, így beazonosítható, hogy melyik elemhez tartozik a hullámhossz



Távoli, nagy sebességgel távolodó csillag színképe nagy λ (vörös) fele tolódik: vörös eltoldódás

Tapasztalat: minden távolodik, ami messzebb van, az gyorsabban

Hang és fény

$$\Psi(\vec{r}, t) = A \cdot \sin(\omega t - \vec{k} \cdot \vec{r} + \phi) \quad \text{terebeli síkhullám}$$

Ezek szuperpozíciója terjed a téren

$$\nu = \frac{\omega}{2\pi} \quad T = \frac{1}{\nu} \quad [\nu] = \text{Hz} \quad \nu: \text{frekvencia}$$

$$c = \frac{\omega}{|\vec{k}|} \quad c: \text{terjedési sebesség}$$

A: amplitúddó, I: intenzitás (hullám által szállított egységnyi energia)

$$I \sim A^2 \quad [I] = \text{W/m}^2$$

HANG

v: hangmagasság

$$20\text{Hz} \leq \nu \leq 20\text{kHz} \quad \leftarrow \text{hallható hang}$$

alacsonyabb: infrahang

magasabb: ultrahang

érzékelése: logaritmikus skála

hangköz: ν -k aránya

$$\text{oktaur: } \log_2 \frac{\nu}{\nu_0}$$

FÉNY

v: szín

$$\text{hullámhossz: } \lambda = \frac{1}{\nu}$$

$$400 \text{ nm} \leq \lambda \leq 800 \text{ nm} \quad \leftarrow \text{látható fény tartománya}$$

1 oktaur szükebb

I: hangerősség

érzékelése: logaritmikus skála

$$I_0 = 10^{-12} \text{ W/m}^2$$

$$I_{\max} = 10 \text{ W/m}^2$$

13 nagyságrend

decibel skála:

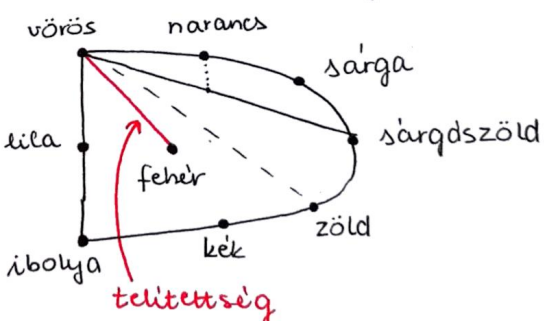
$$\text{decibel} = 10 \cdot \lg \frac{I}{I_0}$$

hangszín:

alapfrekvencia mellett felharmonikusok aránya határozza meg

I: fényerősség

érzékelése: logaritmikus
=> nagy különbségeket is láthatunk



összeadó színeket: monitor RGB

szürke: relatív intenzitás

barna: sárgának a környezethez viszonyított változása